



784-6

1991

საქართველოს მეცნიერებათა აკადემიის მაცნე

ИЗВЕСТИЯ АКАДЕМИИ НАУК ГРУЗИИ
PROCEEDINGS OF THE ACADEMY OF SCIENCES
OF GEORGIA

645
784-8-

ИЗВЕСТИЯ
СЕРИЯ
БИОЛОГИЧЕСКАЯ

1991 N5

თბილისი
ТБИЛИСИ
TBILISI

ტომ
TOM
VOL.

17



ბიოლოგიური ჟურნალი
СЕРИЯ БИОЛОГИЧЕСКАЯ

ტომი 17, № 5
Том

ეცულნამი დაარსებულია 1975 წლის იანვარში
Журнал основан в январе 1975 года
გამოდის შელიტადში 6-გერ
Выходит 6 раз в год

სამიურავო ორგანიზაცია:

მთავარი რედაქტორი გ. ლუკავა

მთავარი რედაქტორის მოაღილე თ. ლიანი
სწავლის მდივანი გ. ბექაძე

ლ. გაბუნია, მ. ზაალიშვილი, გ. თუმანიშვილი, გ. ქანდელაკი, გ. კვესიძე,

გ. ნადარეიშვილი, გ. ნანეშვილი, გ. ნახუცრიშვილი, გ. სანაძე, გ. ყურაშვილი,

თ. ჭავაძე, გ. ჯავახიშვილი, ი. ულიავა

პასუხისმგებელი მღივანი ს. ლაბაძე

РЕДАКЦИОННАЯ КОЛЛЕГИЯ:

Главный редактор В. М. Окуджава

Зам. главного редактора Т. Н. Ониани

Ученый секретарь Г. Л. Бекая

Л. К. Габуния, Н. А. Джавахишвили, М. М. Заалишвили, Г. В. Канделаки,

Г. И. Квеситадзе, Б. Е. Курашвили, К. Ш. Надарейшвили, Б. Р. Нанеишвили,

Г. Ш. Нахуцишвили, Г. А. Санадзе, Г. Д. Туманишвили, Т. Г. Чанишвили,

И. Я. Элиава

Ответственный секретарь С. Р. Лабадзе

EDITORIAL BOARD:

Editor-in-Chief V. Okujava

Associate Editor T. Oniani

Editorial Secretary G. Bekaya

T. Chanishvili, N. Djavakhishvili, L. Gabunia, G. Kandelaki,

G. Kvesitadze, B. Kurashvili, K. Nadareishvili, B. Naneishvili,

G. Nakhtsrishvili, G. Sanadze, G. Tumanishvili,

M. Zaalishvili, I. Eliava

Executive Secretary S. Labadze

© Известия АН Грузии

Серия биологическая, 1991

რედაქციის მისამართი:

380060, Тбилиси-60, კუტუზოვის ქ. 19,

ტეл. 37-86-78

Адрес редакции:

380060, Тбилиси-60, ул. Кутузова, 19,

тел. 37-86-78

СОДЕРЖАНИЕ — გვ. 5 — CONTENTS

К. Г. Кавтиашвили, Д. Д. Кивиладзе, Д. И. Дугладзе, А. В. Ху- чуга. Морфологическое изучение воздействия взвеси аллогенных гепато- цитов, экстракта и гомогената печени при лечении острой печеночной недостаточности	293
ქ. კავთიაშვილი, დ. კივილაძე, დ. დუგლაძე, ა. ხუჭუგური ჰეპატოლიფტების, ლიმილის ექსტრაქტისა და ჰიპონეგენტის სუმოქედების მორფო- ლოგიური შესწავლა ლიმილის მწვევე უკმარისობის მკერჩალობის დროს	
К. Kavtiašvili, D. Kiviladze, D. Dugladze, A. Khuchugua. The morphological study of the influence of allogeneic hepatocytes, liver ext- ract and homogenate during the treatment of the acute liver failure	
Г. П. Шелия, П. Я. Кинтгая. Изучение эмбриотоксического и тератоло- гического действия нитратов в эксперименте	300
გ. შელია, პ. კინტგაია. ნიტრატების ემბრიოლოგიური და ტერატოლოგიური მოქმედების შესწავლა ექსპრიმენტში	
G. Shelia, P. Kintgaya. The study of embryotoxic and teratogenic effects produced by nitrates in experiment	
Э. Г. Курихалия, Н. А. Сартания, Д. Г. Микеладзе. Изменение АТФазной активности в ткани головного мозга при гипоксии и постис- хемическом отеке	303
ე. კურიხალია, ნ. სართანია, დ. მიკელაძე. Changes in brain tissue's activity during hypoxia and ischemic brain edema	
М. С. Бурджарадзе, Т. З. Цицишвили. Действие энтомопатогенов на имаго колорадского жука	307
მ. ბურჯარაძე, თ. ციციშვილი. The action of entomopathogens on the imago of colorado beetle	
К. Г. Мацаберидзе. К фауне рода Gyrodactylus (Monogenea) в Грузии	311
ქ. მაცაბერიძე. გვარი Gyrodactylus (Monogenea) შესწავლისთვის საქართველოში	
K. G. Matsaberidze. A study of the fauna of gyrodactylus (Monogenea) from the freshwater fishes in Georgia	
Б. В. Виноградов, Н. И. Зазанашвили, И. И. Мамукашвили. Перспективы использования аэрокосмической фотонинформации в исследо- ваниях фитоландшафтов Кавказа	320
ბ. ვინოგრაძე, ნ. ზავანაშვილი, ი. მამუკაშვილი. ვიზუალური ფოტოეფურის კვლევის სამუშაოების ეროვნულმდებრი ფორუნგორმაციულ გამოყენების პრაცეტივი	
B. Vinogradov, N. Zazanashvili, I. Mamukashvili. Pros- pects for air - space information used in the research of mountain photo- landscapes of the Caucasus	
Т. Г. Габисония, Л. А. Чиковани, М. Р. Макридзе, Б. А. Шен- деров, Т. Г. Чанишвили. Биологическая характеристика и антибио- тикочувствительность неферментирующих грамотрицательных бактерий, вызывающих информационные заболевания у животных	325
თ. გაბისიანი, ლ. ა. ჭიკოვანი, მ. რ. მაკრიძე, ბ. ა. შენ- დეროვ, თ. გ. ჭანიშვილი. ბიოლოგიური და ანტიბიოტიკური მართვის და გადაფიცირების გამომწვევე არაფერმენტი-	



- T. Gabisonia, L. Chikovani, M. Makaridze, B. Shengilashvili, T. Chanishvili. Biological characteristic and antibiotic-sensitivity of non-enzymic gram-negative bacteria, causing infectious diseases in animals 328
- С. А. Алиев, Э. Я. Нациашвили, В. К. Буджиашвили. Иммунологические аспекты дифференциальной диагностики острой патологии венозной системы нижних конечностей 328
- ს. ალიევი, ე. ნაციაშვილი, ვ. ბუჯიაშვილი. კლინიკური კვედა კდურთა ვენური სისტემის მწვავე პათოლოგიის დიფერენციალური დაგნოსტიკის მეთოდები 328
- S. Aliev, E. Natsiashvili, V. Budzhiaashvili. Immunologic aspects of differential diagnosis of an acute pathology of lower extremities venous system 328
- А. И. Гогелия, Г. Г. Думбадзе, М. М. Дзамашвили, М. А. Фироминишивили, Ц. Г. Гецадзе, М. Ш. Давлашериձե, Н. С. Цомая. Частота ядрышкообразующих районов в лимфоцитах больных хроническим алкоголизмом 335
- ა. გოგელია, გ. გ. დუმბაძე, მ. ძამაშვილი, მ. ფირომინიშვილი, ც. გეცაძე, მ. გ. დავლაშერიძე, ნ. ს. ცომაია. ბირთვულურმომენტული ჩამონაბრძოს სისტემის ქრონიკული ალკოჰოლიზმით დაავალებულთა ლიმფოციტებში
- A. Gogelia, C. Dumbadze, M. Dzamashvili, M. Pirosmiani, Ts. Getzadze, M. Davlasheridze, N. Tsomaya. The frequency of nuclei producing areas in lymphocytes of chronic alcoholics 335
- М. О. Бежитадзе, Т. В. Бурджанадзе. Действие нейтральных солей на термодинамические показатели перехода спираль-клубок в коллагене 338
- მ. ბეჟითაძე, თ. ბურჯანაძე. ნეიტრალური მარილების მოქმედება სპირალურგალის გადასვლის თერმოდინამიკურ მაჩვენებებზე კოლაჟინში
- M. Bezhitadze, T. Burjanadze. The influence of neutral salts on the thermodynamic significance of helix-coil transition in collagen 338
- В. В. Герасимов, М. Д. Махарадзе, И. Ш. Мегрелишивили, Г. Р. Геташвили. Калориметрическое исследование α -химиотрипсина 343
- ვ. გერასიმივი, მ. მახარაძე, ი. შ. მეგრელიშვილი, გ. რ. გეთაშვილი. The colorimetric investigation of α -chymotrypsin
- Н. А. Варазанашвили. Влияние метаболизма разных фракций РНК кардиомицита на синтез белка при L-тиroxиновом токсикозе 347
- ნ. ვარაზანაშვილი. მეტაბოლიზმის განვითარების მიზანით განვითარებული გამოკლებები
- N. Vazazanashvili. The influence of metabolism of different RNA fractions of cardiomyocyte on the protein synthesis in L-thyroxine toxicosis 347
- ЮБИЛЕЙНЫЕ ДАТЫ**
საინაკლინო თარიღები
- JUBILEE DATES**
- Э. П. Кемертелидзе. Академик В. С. Асатиани (к 90-летию со дня рождения) 353
- აკადემიკი ვლადიმერ ასათანი (დაბადებიდან 90 წლისთვისათვის)
- E. Kemerteliidze. Academic Vladimir Asatiani (to the 90-th anniversary of birth)
- ХРОНИКА**
- დოკუმენტები
- CHRONICLE**
- Международное бюро по эпилепсии
ეპილეპსიის საერთաშორისო ბიურო
International bureau for epilepsy 356

1995

УДК 616.36—018.088

ПАТОЛОГИЧЕСКАЯ МОРФОЛОГИЯ

МОРФОЛОГИЧЕСКОЕ ИЗУЧЕНИЕ ВОЗДЕЙСТВИЯ ВЗВЕСИ АЛЛОГЕННЫХ ГЕПАТОЦИТОВ, ЭКСТРАКТА И ГОМОГЕНАТА ПЕЧЕНИ ПРИ ЛЕЧЕНИИ ОСТРОЙ ПЕЧЕНОЧНОЙ НEDОСТАТОЧНОСТИ

К. Г. Кавтиашвили, Д. А. Кивиладзе, Д. И. Дугладзе, А. В. Хуцуа

Институт экспериментальной морфологии им. А. Н. Натишивили АН Грузии, Тбилиси

НИИ экспериментальной и клинической хирургии им. акад. К. Д. Эристави
МЗ Республики Грузия, Тбилиси

Поступила в редакцию 13.07.89

Введение изолированных гепатоцитов, экстракта и гомогената печени при токсическом гепатите ускоряет нормализацию структурных и гистохимических изменений поврежденной печени и повышает пролиферативную активность печеночных и ретикулоэндотелиальных клеток. Результаты лечения токсической острой печеночной недостаточности введением аллогенных гепатоцитов, экстракта и гомогената печени новорожденных доноров, наглядно свидетельствуют о значительном преимуществе гепатоцитов, что выражается увеличением количества выживших животных и восстановлением структуры печени.

Изучение способов стимуляции регенерации, обратимости патологических изменений печени и размножения гепатоцитов, поиск методов управления этими процессами имеет большое практическое значение, поскольку усиление их может быть одним из эффективных путей нормализации структуры и функции органа [1, 6].

Применение изолированных гепатоцитов, гомогената и экстракта печени с целью лечения острой печеноч-

ной недостаточности (ОПН) является одним из новых перспективных хирургических методов, позволяющих существенно корректировать метаболические процессы и улучшать исход лечения [2, 3, 4, 5].

Целью настоящего исследования явилось сравнительное морфологическое изучение эффективности использования аллогенных гепатоцитов, гомогената и экстракта печени для лечения ОПН.

МЕТОДИКА

Токсическая модель ОПН осуществлялась двухкратным с 24-часовым интервалом внутрижелудочным введением масляного раствора 1,0 мл 40%-го ССІ₄ на 100 г массы животного. Донорами служили новорожденные крысы в возрасте от 3 до 6 дней. Весьма гепатоцитов получали ферменто-механической обработкой ткани печени. Жизнеспособность клеток оце-

нивали общепринятой методикой окраски трипановым синим световым микроскопом. Гомогенат и экстракт получали по общепринятой методике.

Эксперименты были проведены на белых беспородных крысах, массой 200—250 г, разделенных на четыре группы (по 25 животных). В I контрольной группе моделировали ОПН и через 30 ч в брюшную полость вво-

дали 600 мг зефирин
0,6% зефирин
808 зефирин

293



дили физиологический раствор; во II группе опытов через 30 ч после моделирования ОПН вводили взвесь гепатоцитов от новорожденных доноров в количестве 10^6 на 100 г массы животного; в III и IV группах в тот же срок вводили соответственно экстракт и гомогенат печени (по равному с вводимыми гепатоцитами количеству общего белка).

Для морфологического исследования крыс забивали декапитацией че-

рез 1, 2, 3, 4, 5 и 10 суток. Кусочки печени фиксировали в растворе Барнса и заливали парафином. Срезы окрашивались гематоксилином и эозином, пикрофуксином по ван Гизону. Гликоген и гликопротеиды выявлялись по Шабадашу, кислые гликозаминогликаны (КГАГ) по методу Хейля, рибонуклеопротеиды — по методу Браше, жиры выявлялись суданом черным.

РЕЗУЛЬТАТЫ ИССЛЕДОВАНИЯ И ИХ ОБСУЖДЕНИЕ

Проведенные исследования показали, что в первой группе опытов двухкратное введение CCl_4 вызывало развитие тяжелой ОПН и гибель 88% животных в течение двух недель. У крыс второй группы имплантация взвеси гепатоцитов вызывала удлинен-

составлял 32% (в контрольной 12%). В III и IV группах введение экстракта и гомогената печени новорожденных доноров также увеличило выживаемость животных (по сравнению с контрольной), однако количество выживших животных было меньше по



Рис. 1. 2-й день эксперимента, обширные некрозы и кровоизлияния в печени; окр. гематоксилином-эозином ($\times 200$)

ние сроков выживаемости, увеличение количества выживаемых животных, что составляло: на 1 сутки — 84% против 53% контрольной группы; через 2 суток — 72% против 44%; на пятые сутки соответственно 48 и 20%; на 15 сутки процент выживаемости

сравнению со 2 группой и на 15 сутки составляло 20 и 16% соответственно. В целом результаты введения гомогената и экстракта у поврежденных CCl_4 животных намного уступают результату, полученному при введении аллогенных гепатоцитов ново-



рожденных (АГН). Полученные данные позволяют утверждать, что хотя гомогенат и экстракт оказывают положительное воздействие на исход ОПН, однако сохранившие свои органо-специфические функции клетки обладают значительно большими возможностями в плане лечения острой печеночной недостаточности и механизм их действия, видимо, не ограничивается набором органелл, ферментов и метаболических веществ [5].

Морфологические исследования показали, что у животных контрольной (I) группы, спустя 24—48 ч после создания модели ОПН, большая часть паренхимы была занята массивным некрозом с интенсивной круглоклеточной инфильтрацией (рис. 1). Цитоплазма оставшихся жизнеспособных гепатоцитов, чаще на периферии дольки, была слабобазофильной. От-

пиляров вакуолизирован, расширенные просветы забиты желчными тельцами. В цитоплазме гепатоцитов гликоген полностью отсутствовал, в слабо поврежденных клетках (на периферии дольки) наблюдалось незначительное его количество в виде мелких капель, зерен или глыбок. Резко уменьшено содержание РНП. КГАГ выявляется в дистрофических участках, в умеренном количестве в цитоплазме вакуолизированных клеток, более сохраненные эндотелиоциты дают слабую реакцию. В некротических участках РНП и КГАГ или исчезали или выявлялись в виде аморфной, пенистостуденистой массы.

В последующие дни (3—5 суток) у животных контрольной группы, изряду с вышеописанными изменениями, привлекли внимание еще большее расширение сосудов, нередко разрыв их

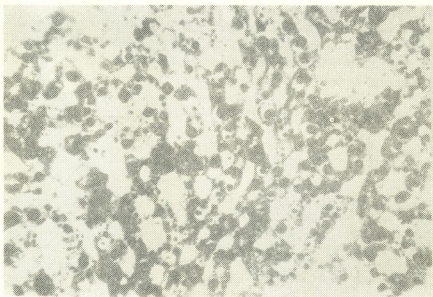


Рис. 2. 5-й день эксперимента, диффузная жировая дистрофия печеночной паренхимы; окр. суданом черным ($\times 250$)

мечалось нарушение структуры печеночных долек с поражением сосудистой системы. Просветы вен были расширены, стенки часто сильно истончены, были видны их разрывы и кровоизлияния. Волокнистые структуры сосудов набухшие, ядра эндотелия пикнотичны. Эпителий желчных ка-

стенок с последующим мелкоочаговым и обширным кровоизлияниями в паренхиме печени, дискомплексация печеночных балок, а в некоторых случаях их атрофия. На фоне низкого содержания гликогена выявлялась выраженная жировая дистрофия гепатоцитов (рис. 2). В цитоплазме ва-

куолизированных и некротизированных клеток реакция Хейля и Браше практически отрицательна.

На 10-е сутки на фоне пораженной печени начинали выявляться крупные гепатоциты со светлой цитоплазмой и мелкими компактными ядрами. Вокруг триад располагались лейкоциты и участки волокон рыхлой соединительной ткани с высоким содержанием клеток, что указывало на начало процесса регенерации. В зоне некроза также разрасталась соединительная ткань с множественными лимфоидными и лейкоцитарными элементами. В цитоплазме гепатоцитов выявлялось низкое содержание КГАГ и гликогена. Повышалось содержание РНП в гепатоцитах.

булярный характер. В периферических и частично в промежуточных зонах преобладали мелкие плотными ядрами, хотя и наблюдалась тенденция к увеличению их размеров, с вакуолизацией цитоплазмы. Гликоген и РКП в гепатоцитах выявлялись в умеренном количестве, КГАГ — в синусоидах, в некротизированных участках. Спустя 48 ч в результате затухания воспалительного процесса некротизированные участки замещались регенерирующими гепатоцитами. Но все же изменения весьма полиморфны и неравномерно распространены в печеночной ткани. Низкое содержание гликогена в гепатоцитах совпадало с значительной

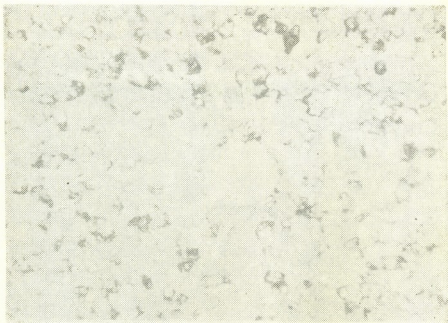


Рис. 3. Печень спустя 48 ч после лечения. На фоне жировой дистрофии выявляются зерна гликогена; окр. по Шабадашу ($\times 250$)

У животных, которым была проведена трансплантация АГН, гомогената и экстракта печени (II, III, IV группы), спустя 24 ч после создания модели, отмечались изменения, аналогичные контрольным (I группа). Следует лишь отметить более выраженную лейкоцитарную инфильтрацию вблизи портального поля. На 2 сутки поля некроза были более ограниченными, имели чаще центроло-

аккумуляцией жировых субстанций в цитоплазме клеток (рис. 3).

На 3—5-й день эксперимента процесс регенерации значительно усиливался. Выявлялись гепатоциты с темной цитоплазмой, с преобладанием мелких компактных ядер. Встречалось небольшое количество двухъядерных клеток (рис. 4).

На эти сроки наблюдения содержание гликогена в гепатоцитах увели-

чено. Диффузная жировая дистрофия у большинства животных исчезала, лишь в некоторых гепатоцитах, и то в центре долек, определялся жир в

виде мелких капель. В целом, количество неповрежденных гепатоцитов мало и видимо не может полностью обеспечить поддержание гомеостаза.

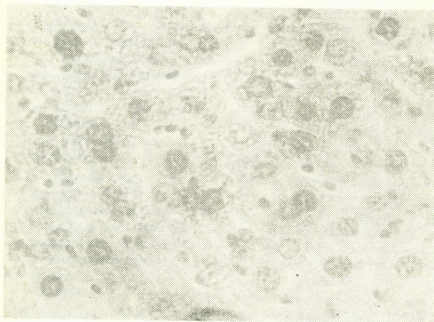


Рис. 4. Печень спустя 5 дней после лечения. Зернистая дистрофия гепатоцитов; окр. гематоксилин-эозином ($\times 400$)

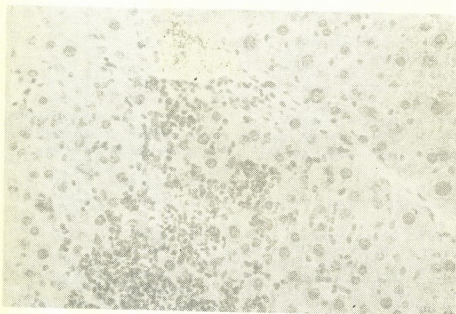


Рис. 5. Печень спустя 10 дней после лечения. Выраженная мелкоклеточная инфильтрация паренхимы печени; окр. гематоксилин-эозином ($\times 250$)

Через 10 дней после создания модели и проведенного лечения у некоторых животных проявлялись признаки хронического гепатита. Но в целом структура печени у животных II группы почти полностью восстанавливалась, имелись лишь небольшие очаги повреждения в различных участках печеночной дольки (рис. 5). Под влиянием АГН, гомогената и экстракта у отравленных CCl_4 крыс в значительной мере нормализовалась морфофункциональная картина печени. Содержание РНП в гепатоцитах высокое. Хотя следует отметить, что применение заместительной терапии и биостимуляторов не препятствовало развитию жировой дистрофии и дефицита гликогена в печеночных клетках, расширению синусоидов, их полнокровию. Гистологическая картина печени значительно отличалась от контрольной. Почти исчезала вакуолизация цитоплазмы, выявлялось значительное число двухъядерных клеток, однако размер клеток варьировал достаточно сильно.

Морфофункциональная картина печени после трансплантации АГН, гомогената и экстракта («на 10-е сутки наблюдения»), характеризовалась признаками хронического гепатита с наличием очагов регенерации и восстановлением нормальной печеночной архитектоники. Этот процесс был более выражен в пораженной печени животных, которым трансплантировались АГН. Нормализация уровня гликогена в клетках в целом способствовала, по-видимому, восстановлению глико-

генообразовательной функции печени. Однако, как показали исследования, в течение «критического» периода максимальной печеночной недостаточности количество неповрежденных печеночных клеток мало и не может обеспечить поддержание гомеостаза организма, что приводит к летальному исходу. Видимо, в это время главная роль принадлежит трансплантированным АГН, гомогенату и экстракту. Они в течение первой недели улучшают общее состояние реципиентов, частично компенсируют утраченные функции пораженного органа и способствуют восстановлению нормальной структуры и функции печени.

Следовательно, внутриперitoneальное введение взвеси изолированных аллогенных гепатоцитов, экстракта и гомогената, на фоне токсического повреждения печени даже при отсутствии каких-либо дополнительных методов лечения проявляют гепатозащитные, ангинекротические свойства, приводят к значительному улучшению состояния животных и позволяют избежать гибели животных или же развития цирроза печени, столь характерного для исхода гепатонекроза. Введение АГН вызывают уменьшение деструктивных изменений и усиление регенераторного компонента в паренхиме печени. Таким образом, применение стимуляторов регенерации может значительно ускорить обратимость патологических изменений и дать хороший эффект при острой печеночной недостаточности.

ЛИТЕРАТУРА

- Бруслук В. Г., Гаспарян С. А., Береловичус В. Ю., Копержинская Н. В., В кн.: Экспериментальные основы лечения печеночной недостаточности (Тр. 2-го мед. ин-та им. Н. Пирогова), М., 1975, 129—133.
- Гальперин Э. М., Карагулян С. Р., Абакумова О. Ф. Хирургия, 4, 82—87, 1985.
- Комаров Б. Д., Шиманко И. И., Островерхов Г. Е. Тер. архив, 9, 12—16, 1982.
- Маргулис М. С., Ерухимов Е. А., Андрейман Л. А. Анестезиология и реаниматология, 3, 29—31, 1985.
- Cupta S., Jonston R., Darby H. J. Pathology, 19, 1, 18—30, 1987.
- Makowka L., Rotstein L. E., Falk R. E. Transplant Proc., 13, I, 855—859, 1981.

ალოგიური ჰიპატოციტების, ღვიძლის ექსტრაქტისა და
მორფოგენატის ზემოქმედების მოწოდებული გენერაცია
ღვიძლის გადავი უკარისობის გაუნალოგიზე დროს

ქ. კავთიაშვილი, დ. კივილაძე, დ. ღვარაძე, ა. ხუჭა

საქართველოს შეცნიერებათა აკადემიის ნოტშეილის სახელობის ექსპერიმენტული
მოწოდებულობის ინსტიტუტი, თბილისი

საქართველოს ჯანდაცვის სამინისტროს კ. ერისთავის სახელობის ექსპერიმენტული და
კლინიკური ქირურგიის ინსტიტუტი, თბილისი

რ ე ზ ი უ მ ე

შესწავლის იქნა იზოლირებული ჰე-
პატოციტების, ღვიძლის ექსტრაქტისა და
პომოვენატის ინტრაპერიტონეალური შე-
ყვანის გავლენა ტოქსიური ჰეპატიტის
მიმღინარეობაზე. დადგინდა, რომ მათი
მოქმედება აჩარებს დაზიანებული ღვიძ-
ლის სტრუქტურისა და ჰისტოგიმიური
ცვლილებების ნორმალიზაციის პროცესს.

ღვიძლის შევავე უკმარისობის შეურ-
ნალობამ გვიჩვენა ახალშობილის ალო-
გენური ჰეპატოციტების მნიშვნელოვანი
უპირატესობა, რაც გმირვლინდება სიკვ-
დილს გადარჩენილი ცხოველთა რაოდე-
ნობის მომატებით და ღვიძლის მოწოდ-
ებულებების ცვლილებების აღდგნით.

THE MORFOLOGICAL STUDY OF THE INFLUENCE OF ALLOGENEIC HEPATOCYTES, LIVER EXTRACT AND HOMOGENATE DURING THE TREATMENT OF THE ACUTE LIVER FAILURE

K. KAVTIASHVILI, D. KIVILADZE, D. DUGLADZE, A. KHUCHUA

A. Natishvili Institute of Experimental Morphology, Georgian Academy of Sciences, Tbilisi

K. Eristavi Institute of Clinical and Experimental Surgery, Georgian Ministry of Health, Tbilisi

Summary

The influence of the intraperitoneal administration of isolated hepatocytes, liver extract and homogenate on toxic hepatitis was studied. It was stated, that their action hastens the normalization of the structure of damaged liver and changes.

The treatment of the acute liver failure showed the considerable preference of allogeneic hepatocytes of a new-born. It is shown by the increased number of survived animals and by the recovery of morphological changes.

უფა 504.75.05:616—053.1

მთაბადი

ნიტრატების ემანიტონის და ტიტატოლოგიური მოქმედების შესახვალა მძაპრიტონტში

ბ. ვალია, პ. პირიაძე

აზალ, გ. ჩახიას სახელობის საქართველოს რესპუბლიკის ფანდაციის სამინისტროს
ბერინატალური მედიცინისა და მეცნიერებელოფის ს/კ ინსტიტუტი, თბილისი

შემოსულია რეაქციაში 07.09.90

შემუშავილი იქნა ნიტრატების ემანიტოლოგიური მოქმედება ქრონიკუ-
ლი ექსპრიტების პირობებში. ცდამ გვიჩვენა, რომ ნიტრატების ხანგრძლივი მოქმედება იწვევს
პოსტრატალური სიცვლილების პროცენტის სტატისტიკურად სარწმუნო გაზრდის კონტროლთან
შედარებით ($P < 0.01$). ამასთან, ეცვეტე დამზადებულია შელებული ქმნიური ნიტოიტების ღრმა შე-
ნაყოფის განვითარების, რამე მნე (როგორც გრევან, ან შენგავის როგორიც შერივ) არ
გამოყენებილა. ალინიშა ფეტო-პლაცენტარული მარცვებულების შემცირება

უკანასკნელი წლების განმავლობაში
აზოტოვინი მინერალური სასუქები ფარ-
თოდ გამოიყენება სოფლის მეურნეობაში,
რაც იწვევს მათ ჭაბბ და გროვებას გარე-
მოში: ნიადაგში, წყალში, ჰაერში, მცე-
ნარეულ და ცხოველურ პროცენტებში.
ყოველივე ეს, თავის მხრივ, განაპირობებს
აღმიანის ორგანიზმებ ნიტრატული და-
ტიტატოლის ზრდას და შესაბამისად უარყო-
ცით მოქმედებას [2, 3, 4, 6].

ასთოდია

გამოკვლევა ჩატარდა უსაზო თეთრ
თავებზე, რომლებიც მთელი ორსულობის
პერიოდში წყალთან ერთად ღებულობ-
დნენ ამნინუმის ნიტრატს (A სერია) და
კარბამიდს (B სერია) ღონებში: 1/100LD₅₀
(I გვუფი), 1/50LD₅₀ (II გვუფი) და
1/10LD₅₀ (III გვუფი). ორსული თავები
იყვნებოდა უშუალოდ მშობარობის წინ
(უანუყოფირებილან შე-19-20 დღეზე).

გამოკვლევის ზედეგია

ჩატარებულმა გამოკვლევამ გვიჩვენა,
რომ ორსული თავების მიერ წყლით ნიტ-
რატების მიღება იწვევს ნაყოფის განვი-

არსებული გამოკვლევების მონაცემები
ნიტრატების მავნე გავლენის შესახებ ორ-
სულობისა და ნაყოფის განვითარებაზე
[5, 8, 9] ხშირად უზრიერთსაწინააღმდე-
გოა და არ იძლევა ერთმნიშვნელოვანი
დასკვნის შესაძლებლობას, ნაშრომის მი-
ზანი იყო შეგვესწავლა მარტივი მინერა-
ლური სასუქების — ამონიუმის სელიტრი-
სა და კარბამიდის — შესაძლო ემბრიო-
რუქსიური და ტიტატოლოგიური ეფექტი
ექსპრიტების.

სდებოდა იმპლანტაციამდე და იმპლანტა-
ციის შემდეგ ემბრიონთა სიკედილანობის
პროცენტული რაცივის გამოვლა [1].
ამასთან ისაზღვრებოდა ცოცხალი ნაყო-
ფის და პლაცენტის მასა, კრანიო-კავდა-
ლური ზომა, ფეტო-პლაცენტარული კოე-
ფიციენტი. ტიტატოლოგიური გამოკვლე-
ვისათვის გამოყენებულ იქნა შესაბამისი
სტანდარტული მეთოდიყა [7].

თარების დარღვევას, რაც გამოიხატება
პოსტიმპლანტაციური ლეტალობის პრო-
ცენტრის სტატისტიკურად სარწმუნო გაზრ-



დაში კონტროლთან შედარებით ($p < 0,01$). საერთო ემბრიონალური სიკვდილიანობა A სერიის ცხოველების I ჯგუფში შეავგენ 18,8% ($p > 0,05$), მეორე ჯგუფში — 22,4% ($p < 0,02$), მესამეში კი — 26,5% ($p < 0,01$).

ამონიუმის სელიტრისა და კარბამიდის შესაძლო ტერატოლოგიური მოქმედების შესწავლამ არ გამოავლინა ნაყოფის გარევაზნი განვითარების მანქის ან შინაგანი ორგანოების რაიმე ანომალიის არსებობა.

საინტერესო შედეგები იქნა მიღებული ფეტო-პლაცენტარული მაჩვენებლების გაანალიზებით. სახელმობრ, ორივე სერიის მეორე და მესამე ჯგუფებში სტატისტიკურ სარწმუნოდ ($p < 0,001$) შემცირდა ნაყოფთა მასა, რამაც გამოიწვია შესაბამისად პლაცენტარული კოეფიციენტის შემცირება: A სერიის მეორე ჯგუფში იგი უდრიდა 0,118 ($p < 0,01$), ხოლო მესამეში კი — 0,092 ($p < 0,001$), რაც შეეხება B სერიას, ფეტო-პლაცენტარული კოეფი-

ციენტი აქ შესაბამისად შეადგენდა 0,124 და 0,10 ($p_1 < 0,01$, $p_2 < 0,001$). ინტენსიურული ცხოველების ჯგუფში კი — უტოლდებოდა 0,202-ს.

ამრიგად, ჩატარებული გამოკვლევის შედეგად დადგინდა, რომ ორსულობის პერიოდში ამონიუმის სელიტრისა და კარბამიდის ქრონიკული მიღება იწვევს საერთო ემბრიონალური სიკვდილიანობის სტატისტიკურად სარწმუნო გაზრდას კონტროლთან შედარებით, ხოლო ფეტო-პლაცენტარული მაჩვენებლების მნიშვნელოვან შემცირებას. ზემოთაღნიშნული ეფექტები განპარობებულია ორგანიზმში ნიტრატების სწრაფი ალდგენით ნიტრიტებამდე, რომლებიც რეაგირებენ რა ჰემოგლობინთან, შესაძლოა წარმოქმნიან მეთქმოგლობინს [6]. განვითარებული ჰემიური და ქსოვილოვანი ჰიპოქსია კი, თავის მხრივ, განსაზღვრავს ნაყოფის განვითარების დარღვევას.

ЛИТЕРАТУРА

1. Дыбан А. П., Баранов В. С. В кн. Методы биологии развития. М., „Наука“, 1974, 299—314.
2. Журавлев В. Ф., Цапков М. М. Гигиена и санитария, 1, 62—64, 1983.
3. Камога В. Н., Яременко З. М. Клиническая медицина, 11, 49—59, 1966.
4. Наиштейн С. Я., Меренюк Г. ИВ., Чегрицец Г. Я. В кн.: Гигиена окружающей среды и применение удобрений, «Штиинца», Кишинев, 106—110, 1987.
5. Новиков Ю. В., Окладников Н. И., Сайфунтдинов М. М., Андреев

И. А. Гигиена и санитария, 8, 58—60, 1985.

6. Цыганенко О. И., Набока М. В., Лапченко В. С., Цыпко М. И. Гигиена и санит., 4, 55—58, 1989.
7. Dowson A. B., Wilson J. G. In: Teratology. Principles and Techniques, London, 1965, 251—277.
8. Nettig K., Schnez K., Scheibe J., Broschinski L., Z. Gesamte Hyg. und Grenzgeb., 35, 12, 741—743, 1989.
9. Sleight S. U., Atallah O. Toxicol., Appl. Pharmacol., 12, 178—179. 1968.

ИЗУЧЕНИЕ ЭМБРИОТОКСИЧЕСКОГО И ТЕРАТОЛОГИЧЕСКОГО ДЕЙСТВИЯ НИТРАТОВ В ЭКСПЕРИМЕНТЕ

Г. П. Шелия, П. Я. Кинтрайа

НИИ перинатальной медицины, акушерства и гинекологии им. акад. К. В. Чачава МЗ Республики Грузия

Резюме

Изучено эмбриотоксическое и тератологическое действие нитратов в условиях хронического эксперимента.

Результаты исследований показали, что прием отмеченных химических веществ с водой в больших концентра-

циях вызывает статистически достоверное повышение процента постнатальной смертности плодов белых мышей ($p < 0,01$), а также их гипотрофию. Тератогенный эффект не был выявлен.

THE STUDY OF EMBRYOTOXIC AND TERATOGENIC EFFECTS PRODUCED BY NITRATES IN THE EXPERIMENT



G. SHELIA, P. KINTRAYA

K. Chachava Institute of Perinatal Medicine, Obstetrics and Gynecology,
Georgian Ministry of Health, Tbilisi

Summary

The embryotoxic and teratogenic effects of nitrates was studied.

The experiments showed that the chronic administration of nitrates to

pregnant mice, cause the embryotoxic effect and hypotrophy of the fetuses. Teratogenicity have not been demonstrated.

УДК 477.159

БИОХИМИЯ

ИЗМЕНЕНИЕ АТФАЗНОЙ АКТИВНОСТИ В ТКАНИ ГОЛОВНОГО МОЗГА ПРИ ГИПОКСИИ И ПОСТИСХЕМИЧЕСКОМ ОТЕКЕ

Э. Г. Курцхалия, Н. А. Сартания, Д. Г. Микеладзе

Институт физиологии им. И. С. Бериташвили, АН Грузии, Тбилиси

Поступила в редакцию 21.10.89

Исследовалось действие гипоксии на активность АТФазы и связь активности Са-транспортирующих систем с Са-связывающими белками: кальмодулином и кальмодулини-зависимой протеинкиназой. Установлено, что гипоксия мозга повышает активность СаМ-зависимой ПК в нуклеоплазме и цитоплазме и снижает ее же активность в экстракте CHAPS. Это говорит о транслокации мембранных кальмодулина в цитоплазму, в результате чего в мембранах понижается активность СаМ-зависимой ПК и Са-АТФазы, а в цитоплазме повышается концентрация Са.

В настоящее время выяснено, что уменьшение снабжения нервных клеток кислородом вызывает в них ряд биохимических сдвигов, приводящих к изменению внутриклеточного метаболизма [12]. Гипоксия и ишемия мозга, в первую очередь, приводят к понижению активности ферментов дыхательной цепи, и соответственно, к подавлению окислительного фосфорилирования, уменьшению синтеза АТФ и увеличению внутриклеточной концентрации ионов Са [4]. Пониженная внутриклеточная концентрация АТФ приводит к торможению биохимических реакций, использующих его в качестве субстрата. Однако наибольее сильно дефицит АТФ проявляется в работе транспортных АТФаз, обеспечивающих электрический потенциал клетки и асимметричное распределение ионов вдоль мембран.

Основным регулятором нейрональных процессов являются ионы Са.

МЕТОДЫ ИССЛЕДОВАНИЯ

Гипоксию крыс проводили в барокамере (высота 6000—8000 м) в течение 15—45 мин.

Синаптические и микросомальные белки, мембранны получали по методу Де Робертис и др. [3]. Кальмоду-

Поддержание внутриклеточной концентрации этих ионов осуществляется двумя транспортными системами плазматических мембран: кальций АТФазой и Na, Ca антипортом, а также митохондриальным ферментом, транспортирующим кальций. Предполагается, что деструкция этих ферментов при гипоксии приводит к усилению входа ионов кальция в клетку и вызывает ряд необратимых процессов, обуславливающих наступление патологического состояния [4].

Целью настоящего исследования явилось выяснение разницы сопряжения активностей Са-транспортирующих систем с основными Са-связывающими белками мозга: кальмодулином и кальмодулини-зависимой протеинкиназой, от которых зависит работа рецепторных белков, окислительное фосфорилирование, синтез нейропередатчиков и многие другие процессы при гипоксии.

лии выделяли из мозга быка с помощью аффинной хроматографии на трифторменазин-сефарозе [7].

Синтез трифторменазин-сефарозы осуществляли путем иммобилизации

საქართველო
06786770
ბიომედიცინა



ТФФ с сефарозой 4В, активированной при помощи эпихлоргидрина [2].

Протеинкиназную активность белков определяли в цитоплазме, нуклеоплазме и в солюбилизированных CHAPS-ом мембранных белках. Инкубационная среда определения активности белков содержала 100 мкМ CaCl₂; 20 мМ MgCl₂; 0,5 М трис-HCl буфера; белок в количестве 5—10 мкг и гистон в количестве 50—60 мкг.

РЕЗУЛЬТАТЫ ИССЛЕДОВАНИЯ И ИХ ОБСУЖДЕНИЕ

Определение активности Mg-, Ca-ATФаз в синаптических и микросомальных мембранах показало, что в результате гипоксии происходит снижение активности транспортного фермента (табл. 1).

Инкубацию смеси проводили 15 мин при 37°C. Реакцию останавливали добавлением альбумина в концентрации 20 мкг на пробу и 50%-ной трихлоруксусной кислоты. Образец насылаивали на фильтры Whatman 3 мМ и промывали 100 мМ раствором солей Na₄P₂O₇; Na₂WO₄ и Na₂HPO₄.

Определение количества белка проводили по методу Лоури [8].

Активность АТФаз (в мк моль Рн/мг белка 1 ч) в субклеточных фракциях

Образец	Mg - АТФаза M±m		Ca - АТФаза M±m	
	Контроль	Опыт	Контроль	Опыт
Микросомы	59,1±1,8 p<0,01	43,3±3,1 p<0,1	31,0±0,85 p<0,05	20,9±1,6 p<0,05
Синаптосомы	176±36,9 p<0,1	75,4±14,6 p<0,1	167,5±6,5 p<0,05	125,0±3,0 p<0,05

Мембранны, выделенные из мозга гипоксированных крыс, имели более низкую удельную Mg-, Ca-АТФазную активность, чем мембранны из мозга контрольных крыс, причем подобная закономерность проявлялась в огиношении обеих субклеточных АТФаз. Такое же снижение активности данных АТФаз при выраженному отеке показано в табл. 2.

Известно, что гипоксия мозга вызывает ряд биохимических изменений в обмене кальция, приводящих к不可逆的 состояниям [8]. Эти изменения затрагивают основные метаболические реакции клетки с участием мультифункционального Ca-связывающего белка кальмодулина. Выяснено, что кальмодулин в клетке может существовать в двух формах: в мембранных связанный и свободной [9], причем в определенных функциональных состояниях происходит перераспределение кальмодулина между субклеточными структурами. Основным же мембранным белком, связывающим

Активность АТФаз коры мозга кроликов (в мк моль Рн/мг белка 1 ч) в контроле и при отеке

Гомогенат коры гемисфер	Mg - АТФаза M±m		Ca - АТФаза M±m	
	Контроль	Опыт	Контроль	Опыт
Отек мозга (30 мин после рециркуляции)	13,5±0,8 p<0,02	9,7±1,2 p<0,01	13,9±1,5 p<0,5	11,9±0,4 p<0,5
Отек мозга (2 ч после рециркуляции)	12,3±0,4 p<0,001	9,4±0,5 p<0,001	12,7±0,6 p<0,01	9,45±0,4 p<0,01

шим кальмодулини и стимулирующимися им, является Са-АТФаза [10]. Поскольку активность Са-АТФазы синаптических мембран была понижена (табл. 1), было сделано предположение о возможности транслокации этого белка в цитоплазму в результате гипоксии. Для подтверждения этого определяли наличие кальмодулина в синаптических мембранах и в растворимой фракции. Было обнаружено, что в цитоплазме клеток гипоксируемых животных количество кальмодулина понижено (табл. 3), что сви-

модулина при гипоксии понижено, полученные данные могут свидетельствовать о возможности взаимодействия его с СаМ-зависимой протеинкиназой II. В последнем случае активность СаМ-зависимой протеинкиназы в цитоплазме и нуклеоплазме должна повышаться, что и было обнаружено в вышеописанных экспериментах. С другой стороны, поскольку CHAPS экстрагирует мембранные белки, в том числе и СаМ-зависимую протеинкиназу [13], понижение активности этого фермента свидетель-

Таблица 3

Активность АТФаз мозга (в мк моль Рн/мг белка 1 ч) при гипоксии в барокамере (Н = 6000 — 8000 м)

Участок мозга	Mg - АТФаза M±m		Ca - АТФаза M±m	
	Контроль	Опыт	Контроль	Опыт
Цельный гомогенат	49±2,5 p<0,01	47±3,6 p<0,01	14,6±1,5 p<0,001	55,7±1,3 p<0,001
Мозжечок	61,1±2,8 p<0,2	71,1±5,3 p<0,2	61,0±3,1 p<0,001	109,6±2,5 p<0,001

детельствовало об образовании комплекса транслокированного кальмодулина с цитоплазматическими белками.

Основным акцептором кальмодулина в цитоплазме, нуклеоплазме и постсинаптических уплотнениях является СаМ-зависимая протеинкиназа II, которая обнаруживается в мозгу в больших количествах [11] и связана либо с цитоскелетным аппаратом клетки, либо находится в свободной форме [9]. Предполагается, что этот фермент опосредует все основные функции кальмодулина, связанные с регуляцией подвижности микротрубочек и функциональными изменениями цитоскелета клетки, включая переориентацию белков ядерного матрикса и, соответственно, генной активности хроматина [12].

В результате проведенной работы было выяснено, что гипоксия мозга повышает активность СаМ-зависимой протеинкиназы в нуклеоплазме и цитоплазме, и снижает ее же активность в экстракте CHAPS (табл. 3). Учитывая, что в растворимой части клетки количество свободного каль-

ций об уменьшении количества кальмодулина в синаптических мембранах (табл. 3).

Таким образом, можно предположить, что при гипоксии мозга происходит транслокация мембранныго кальмодулина в цитоплазму, в результате чего в мембранах понижена активность Са-АТФазы и СаМ- зависимой протеинкиназы, а в цитоплазме повышается концентрация кальция. Транслокированный в цитоплазму кальмодулин взаимодействует со связанный с цитоскелетом формой СаМ-зависимой ПК и активирует ее. В последнем случае происходит изменение ряда биохимических процессов, приводящих к функциональной перестройке нейронов.

Надо отметить, что ионы кальция играют важную роль в жизнедеятельности клетки. Известно, что нарушение гомеостаза ионов кальция, вызванное длительной гипоксией или другими процессами, вызывают деструкцию клеток. Механизм такой деструкции заключается в понижении способности Са-транспортирующих систем удалять эти ионы из внутрикле-

точной жидкости, в результате чего ионы кальция входят в клетку и она погибает [12].

Снижение ферментативной активности изученных АТФаз, в том числе и Са-зависимых, при длительной гип-

оксии и отеке мозга вызвано либо нарушением структурной организации мембран и преобладанием процесса распада АТФ над ее синтезом, либо конформационными изменениями белковой молекулы самих ферментов.

ЛИТЕРАТУРА

1. Микеладзе Д. Г., Дзнеладзе Д. Т. Изв. АН ГССР, сер. биол., 12, 1, 50—56, 1986.
2. Charbonneau H., Cormier M. J. Biochem. Biophys. Res. Commun., 90, 1039—1047, 1979.
3. De Robertis E., Roerigues de Lorer Arnnir G., Plenum Press, New York, 1965, 365—380.
4. Godfraind T. Elsevier Science Publishers B. V., 1984.
5. Jamauchi I., Fujisawa H. Eur. J. Biochem., 132, 15—21, 1983.
6. Hass W. K. Excerpta Medica, Amsterdam, 1982.
7. Levine III H., Sahyoun N. E., Brain Research, 439, 47—55, 1988.
8. Lin Y. M., Lin Y. P., Cheung W. Y., J. Biol. Chem., 249, 4943—4952, 1974.
9. Lowry O. H., Rosebrough N. J., Farr A. L. and Randall R. J. J. Biol. Chem., 193, 265—275, 1951.
10. Madan G. Luthra, Biochem. and Biophys. Acta, 633, 299—304, 1980.
11. Sahuou N., Levine III, Cuadreasas R. Proc. Natl. Acad. Sci. USA, 81, 14, 4311—4315, 1984.
12. Symon L. In: Mechanisms of Secondary Brain Damage, Plenum Press, N-Y, London, 1985.

არც-აზური აქტივობის ცვლილება თავის ტენის ძალის ძალის გადაღებისა და მართვის უზრუნველყოფის უზრუნველყოფის დანობის

ა. კურთაშვილი, ნ. სართანია, დ. მიქელაძე

საქართველოს მეცნიერებათა ეკადემიის ა. ბერიძეშვილის სახელობის ფაზიოლოგიის
ინსტიტუტი, თბილისი

რეზიუმე

გამოკვლეულ იქნა პიპოქსიის და ჟე-
ჟუპების ზემოქმედება ატფ-აზის აქტი-
ობაზე, ასევე Ca-ტრანსპორტული სისტე-
მების კავშირი Ca-დამაკავშირებელ კი-
ლებთან — კალმოდულინთან და კალმო-
დულინ-დამოკიდებულ პროტეინკინების-
თან. დადასტურდა, რომ პიპოქსიის დროს
Ca-დამოკიდებულ პროტეინკინების აქტი-

ობა მატულობს ციტოპლაზმასა და ნუკ-
ლეოპლაზმაში, ხოლო ჩაპსიან ექსტრაქ-
ტში — პირიქით. ეს მეტყველებს მემ-
ბრანული კალმოდულინის ციტოპლაზმაში
ტრანსლოკაციაზე, რის შედეგადაც მემ-
ბრანებში მცირდება კალმოდულინ-დამო-
კიდებული პროტეინკინების აქტიობა.

CHANGES IN BRAIN TISSUE'S ACTIVITY DURING HYPOXIA AND ISCHEMIC BRAIN EDEMA

E. KURTSKHALIA, N. SARTANIA, D. MIKELADZE

I. Beritashvili Institute of Physiology, Georgian Academy of Sciences, Tbilisi

Summary

The influence of hypoxia on Mg, Ca-ATPase activity has been studied. The relation of Ca-transport system to the Ca-bound proteins, calmodulin and calmodulin-dependent protein kinase has also been studied. It has been confirmed that during hypoxia Ca-dependent protein

kinase activity increases in the cytoplasm and nucleoplasm, and in CHAPS-extract vice versa. It points to the translocation of membrane calmodulin in the cytoplasm that is a reason for the calmodulin-dependent protein kinase activity decrease in the membrane.

УДК 632.937

ЭНТОМОЛОГИЯ

ДЕЙСТВИЕ ЭНТОМОПАТОГЕНОВ НА ИМАГО КОЛОРАДСКОГО ЖУКА

М. С. Бурджанадзе, Т. З. Цицишвили

Грузинский научно-исследовательский институт защиты растений
им. Л. А. Канчавели, Тбилиси

Поступила в редакцию 08.01.90

Изучалось воздействие микробиологических препаратов БТБ и турингина-1 (жидкого и сухого) на имаго колорадского картофельного жука *Leptinotarsa decemlineata* Say (Coleoptera: Chrysomelidae). При этом наблюдалось как непосредственное влияние энтомопатогенов, так и эффект последействия, выразившийся в снижении плодовитости зараженных особей и появлениях среди их потомства тератогенных форм. Наиболее эффективным явился препарат БТБ.

Колорадский картофельный жук — *Leptinotarsa decemlineata* Say (Coleoptera: Chrysomelidae) является опасным вредителем пасленовых культур — картофеля, баклажан, томатов и др., которые занимают ведущее место в сельском хозяйстве Грузии.

Комплекс истребительных мероприятий, направленных против колорадского жука в Грузии, включает в себя в основном химические методы борьбы [1, 2]. На ранних сортах картофеля, на баклажанах и томатах резко ограничивается использование химических инсектицидов и рекомендуется применение микробиологических средств защиты растений, которые позволяют уменьшить пестицидную нагрузку на агроценоз и способствуют его экологической чистоте.

Защита пасленовых от колорадского жука микробными препаратами

заслуживает внимания ученых [3, 4, 5, 6, 7, 8, 9, 10, 12].

Из микробиологических средств наиболее значительны бактериальные препараты, приготовленные на основе *Bacillus thuringiensis* и образующие важные энтомопатогенные метаболиты (кристаллический эндотоксин и термостабильный экзотоксин).

Уменьшение численности имаго является важнейшим моментом в борьбе с колорадским жуком. Хотя жуки приносят меньший вред растениям, чем личинки, но в связи с тем, что они обладают потенциальной возможностью размножения вида, их уменьшение играет важную роль в регулировании численности вредителя в последующих поколениях.

Целью нашего исследования являлось установление действия *B. thuringiensis* на имаго колорадского жука.

МАТЕРИАЛ И МЕТОДЫ

Сборы колорадского жука проводили в низменных (Марнеули, Гардабани, Мцхета, Тетрицкаро) и горных районах картофелеводства Восточной Грузии, в очагах распространения вредителя.

Собранных в природе жуков помещали в одинаковые сосуды и выдерживали их перед заражением без корма от 4 до 11 ч. В качестве корма бралась картофельная ботва. Корм смачивали суспензией препарата с по-

мощью пульверизатора, после обработки подсушивали на воздухе и затем раскладывали в сосуды. В каждый сосуд помещалось по 20—30 особей.

Учеты гибели проводили ежедневно в течение 30 дней, а гибель насекомых в опыте вычисляли по формуле Эббота [11].

В опытах были использованы следующие препараты:

битоксибаниллин — микробный инсектицидный препарат на основе спорово-кристаллического комплекса и экзотоксина бактерии *Bacillus thuringiensis* subs. *thuringiensis* (выпускается в виде сухого порошка с титром

45 и 60 млрд жизнеспособных спор/с содержанием 0,6—0,8% экзотоксина; для лабораторных опытов готовили суспензии 0,1, 0,5, 1%-ной концентрации);

турингин-1 (сухой) — микробный инсектицидный препарат на основе спорово-кристаллического комплекса и экзотоксина *Bacillus thuringiensis* subs. *thuringiensis* — смачивающийся порошок (объемная доля экзотоксина 0,4%; для лабораторных опытов готовили суспензии 0,1, 0,5 и 1%-ной концентрации);

турингин-1 (жидкий) — микробный инсектицид на основе *B. thuringiensis*, который содержит 0,15% β-экзотоксина.

РЕЗУЛЬТАТЫ ИССЛЕДОВАНИЯ И ИХ ОБСУЖДЕНИЕ

Колорадский жук зимует в почве в стадии имаго. Выход перезимовавших особей начинается в низменных районах с I—II декады апреля, в горных районах — в начале мая при среднесуточной температуре воздуха 15—17° и температуре почвы 12—14,5°. Следует отметить, что часть жуков ухо-

довитость вредителя, в частности установления эффекта последействия бактериальных препаратов.

Как видно из табл. 1, турингин-1 (сухой) вызывает снижение яйцевой продукции колорадского жука в зависимости от концентрации на 4,1—32,2%, а БТБ — 41,1—62,2%.

Таблица 1

Влияние бактериальных препаратов на плодовитость колорадского жука

Наименование препарата	Концентрация препарата	Яйцевая продукция		Снижение яйцевой продукции в %
		шт.	%	
Турингин-1 (сухой)	1,0	600	67,8	32,2
	0,5	686	77,6	22,4
	0,1	848	95,9	4,1
БТБ		884	100	—
	1,0	267	37,8	62,2
	0,5	367	51,7	48,3
Контроль	0,1	418	58,9	41,1
		709	100	—

дит на зимовку уже оплодотворенными. Такие жуки начинают откладывать яйца без дополнительного питания, что способствует быстрому увеличению численности популяции вредителя и повышает его вредоносность.

Лабораторным опытам были подвергнуты перезимовавшие жуки для выяснения влияния патогенов на пло-

довитость вредителя, в частности установления эффекта последействия бактериальных препаратов.

Как видно из табл. 1, турингин-1 (сухой) вызывает снижение яйцевой продукции колорадского жука в зависимости от концентрации на 4,1—32,2%, а БТБ — 41,1—62,2%.

шиеся от несозревших внешним видом, были неспособны откладывать яйца и через 2–3 дня погибали. В то же время часть самок откладывала яйца наравне с контрольными. Послед-

риоз проявлялся не сразу, а носил характер глубокого и затяжного заболевания. Самая высокая смертность жуков наступала только на 30-й день их заражения (табл. 2).

Таблица 2

Действие бактериальных препаратов на имаго колорадского жука

Препарат	Концентрация в %	Гибель жуков по дням в % (по Абботу)		
		10	20	30
БТБ	1	23,3	45,5	69,3
	0,5	3,3	25,5	52,3
	0,1	5,6	8,1	18,3
Турингин-1 (сухой)	1	—	17,6	62,3
	0,5	—	—	29,4
	0,1	—	—	—
Турингин-1 (жидкий)	5	6,6	26,6	39,2
	3	6,6	16,6	36,6
	1	3,3	10,0	17,1
Контроль	—	—	1	2

нее предположительно можно объяснить двумя причинами: либо эти самки не получили достаточной дозы препарата, либо у них высокая индивидуальная (физиологическая) устойчивость, позволяющая противостоять действию препарата.

Наблюдения были продолжены над личинками, вылупившимися из яиц, отложенных зараженными жуками. Выяснилось, что в случае заражения насекомых турингином-1 вылупление личинок варьировало от 16 до 100%, при этом гибель отмечалась в пределах 17,2–67,9%.

Оставшиеся в живых личинки в дальнейшем оккупливались, после чего из куколок выходили взрослые формы насекомого — имаго. Здесь следует отметить тератогенный эффект воздействия бактериальных препаратов: у некоторых жуков наблюдались искривленные и укороченные надкрылья, деформированные конечности. Иногда жуки не могли освободиться от куколочной кутикулы и погибали в таком положении.

Для установления непосредственного эффекта воздействия бактериальных препаратов на имаго колорадского жука были использованы жуки III-летней генерации. У имаго бакте-

рическими компонентами бактериальных препаратов турингина-1 (сухого) и БТБ являются бактериальный экзотоксин и спиро-кристаллический комплекс; БТБ, кроме того, содержит также эндотоксин, что обеспечивает его широкое комплексное воздействие на физиологическую устойчивость имаго колорадского жука. Это подтверждается сравнительно высоким показателем уровня смертности, вызванной воздействием БТБ — 18,3–69,3%. Что же касается жидкого турингина-1, то он содержит лишь β-экзотоксин и воздействует слабее, следствием чего является наиболее низкий уровень смертности, вызванной этим препаратом — 17,1–39,2%.

Таким образом, при использовании энтомопатогенов, в частности бактериальных препаратов на основе *B. thuringiensis*, кроме их действия на личинки, против которых в основном проводится микробиологическая борьба, следует ожидать от них дополнительного защитного эффекта. Даже незначительное уменьшение числа имаго колорадского жука играет роль в регулировании численности вредителя в последующих поколениях.

ЛИТЕРАТУРА

- სენიშვილი, თრგონიძე გ. ხანდაძემი ფურცელი, 28, 1984.
- სენიშვილი, თრგონიძე გ., გვაგარანი გ. საქართველოს სოფის მუნიციპალიტეტი, 7, 1986.
- Кандыбина Н. В., Чеверда М. Г., Симонова Л. А. и др. Бюлл. ВНИИ с/х микробиологии, 14, 4, 49–51, 1970.
- Сикура А. И., Сикура Л. В. В кн.: Защита растений от вредителей и болезней, Кишинев, 1975, 57–64.
- Сикура А. И., Сикура Л. В. Временные указания по применению битоксицибациллина для борьбы с колорадским жуком, М., 1985.
- Сикура А. И., Сикура Л. В. Инф. бюлл. ВПС МОББ, 18, 20–27, 1985.
- Стусь А. А. Изыскание и разработка бактериального метода борьбы с колорадским жуком *Leptinotarsa decemlineata* Say. Автореф. канд. дисс. Л., 1976.
- Теленга Н. А., Сикура А. И., Тронь Н. М. АН ССР, 169, 5, 1239–1240, 1966.
- Тронь Н. М. Защита растений, 8, 29–30, 1967.
- Фарг Ж., Феррон П. В сб.: VIII международный конгресс по защите растений, М., 1975, 156.
- Abbott W. S. J. Econ. Entomol., 18, 256–267, 1925.
- Lipa I. I. Bull. Acad. Polon. Sci., 25, 9, 505–508.

ენტომოპათოგენების მოქმედება კოლორადოს ხოჭოს იმაგოზე

მ. ბურჯანაძე, თ. ციციშვილი

ლ. ყანიშვილის სახელობის მცდნარეთა დაცვის ს/კ ინსტიტუტი, თბილისი

რეზიუმე

კოლორადოს ხოჭო, *Leptinotarsa decemlineata* Say [Coleoptera: Chrysomelidae] ძალუერტენსებრთა ოჯახში შემავალი სასოფლო-სამეურნეო კულტურების საშიში მავნებელია. მწერის ზრდა-სრული ფორმის — იმავას წინააღმდევ მხოლოდ ქიმიური საშუალებები გამოიყენება.

ჩვენი გამოკვლევებით დადგენილია ენტომოპათოგენური ბაქტერიის *Bacillus thuringiensis* საფუძველზე დამზადებული პრეპარატების (ზიტოქსიბაცილინის, (ზიტოქსიბაცილინის,

ტურინგინ-1-ის (მშრალი და თხევადი) ზემოქმედება, როგორც უშუალოდ კოლორადოს ხოჭოს იმაგობზე, ისე მათ შემდგომ ნაყოფიერებაზე (ცვერცხდების უნარი).

კოლორადოს ხოჭოს იმაგოთა რაოდენობის უმნიშვნელო შემცირებასაც კი გრძელებული როლი ენიჭება მავნებლის შეძლებით თაობათა რიცხობრივობის რეგულირებაში. ამავე ღროს უზრუნველყოფილია გარემოს ეკოლოგიური სისუფთავე.

THE ACTION OF ENTOMOPATHOGENS ON THE IMAGO OF COLORADO BEETLE

M. BURDJANADZE, T. TSITSISHVILI

L. Kanchaveli Scientific Research Institute for Plant Protection, Tbilisi

Summary

The Colorado potato beetle, *Leptinotarsa decemlineata* Say (Coleoptera: Chrysomelidae) is a dangerous pest of agricultural plants from the Solanaceae Family. Against adult form of insect — imago only the chemical means of control have been used.

As a result of our investigations the action of bacterial means BTB, thuringin—I (dry and liquid), prepared on the base of entomopathogenic bacteria

Bacillus thuringiensis as directly on the imago as well on the after-effect on the fertility of imago (the ability of oviposition), have been established.

Even insignificant reduction of the Colorado beetle imago plays the definite role in the regulation of after-generations number of the pest. Resulting ecological purity of the environment also has been provided.

576.895.122.1:595.122.1

PARASITOLOGY

A STUDY OF THE FAUNA OF GYRODACTYLUS (MONOGENEA) FROM THE FRESHWATER FISHES IN GEORGIA

K. G. MATSABERIDZE

Institute of Zoology Georgian Academy, of Sciences, Tbilisi

Accepted in November 29.11.90

During 1987—1990 16 species of monogenes (Gyrodactylidae) from freshwater fishes have been found; 13 species have been mentioned for the first time in Georgia and 3 species have been described as *Gyrodactylus* sp. The data of the measurements and shape of hard parts of opisthaptor are given in cases, when the differences were revealed between the studied specimens and the first description of the species.

For the present time there are fragmental data on the fauna of the freshwater fishes monogenes in Georgia. The first reports of family Gyrodactylidae from Georgia have been published in 1951 [2], the findings of *Gyrodactylus elegans* from *Ciprinus carpio* have been mentioned. During the following parasitological investigations the following species of worms have been found: *G.*

cobitis from *Carassius auratus*, *G. medius* from *Ciprinus carpio*, *G. latus* from *Carassius auratus* [5] and *G. tinea* from *Tinca tinca* [4].

Consequently, monogenes of freshwater fishes from Georgia, especially, genus *Gyrodactylus* have been studied very little. That is why we desided to investigate the fauna of Gyrodactylidae.

MATERIAL AND METHODS

The material was obtained during 1987—1990 from 927 specimens (25 species of 5 families) of freshwater fishes from Georgia [Fig. 1] 16 species of the genus have been found. The material is deposited in the collection of the

Institute of Zoology, Georgian Academy of sciences, Tbilisi.

Preparations, observations and drawings were made using common methods [1]. All measurements are in mm.

RESULTS

1. *Gyrodactylus barbi* Ergens, 1976.
Host: *Barbus lacerta cyri*, *B. capito*,
B. mursa, *Leuciscus cephalus orientalis*.
Location: skin and fins.
Localities: Ginvali reservoir r. Aragvi,
r. Alazani (near Tsnori), r. Iori

(near Sagarejo), r. Kura (near Tbilisi),
r. Khanistskali (near Kutaisi).

Material has been obtained during the whole year. Common localities: the basins of the Black Sea and the Caspian Sea.

The shape of hard parts of opisthaptor

from *Leuciscus cephalus* of *G. barbi* in parts of this species from the first described our material is identical to the same cripition [7], but they differ in sizes. It

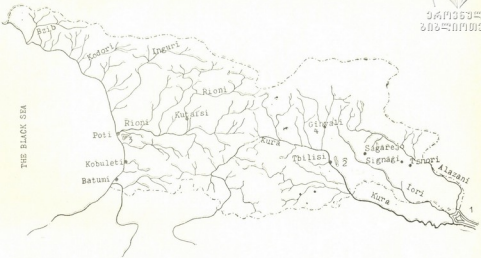


Fig. 1. The scheme of Georgia territory with the points of collections: 1—Mingechauri reservoir;
2—The Tbilisian Sea; 3—Paleostomi lake; 4—Ginechali reservoir

can be explained by the findings of *G. barbi* from the nontypical hosts (*L. cephalus*).

For present this species have been obtained from *Barbus meridionalis petenyi* and *B. lacerta cyri*.

The sizes of *G. barbi* in our materials from *L. cephalus* are: Total length of anchors 0,060—0,067, their shaft measuring 0,043—0,046 point 0,030—0,032, root 0,017—0,021. Ventral bar with 0,015—0,016 long shield is 0,007—0,009 long and 0,027—0,028 wide. Measurements of the dorsal bar are 0,0015—0,0020 x 0,016—0,020. Total length of marginal hooks 0,026—0,031, their hook proper measuring 0,0055—0,0060.

G. barbi has been found for the first time in Georgia.

2. *G. capoetai* Ergens et Ibragimov, 1976.

Host: *Varicorhinus capoeta*

Location: skin, fins and gills.

Localities: r. Kura (near Tbilisi), Ginvali reservoir, r. Iori (near Sagarejo).

Material has been obtained during the whole year.

Common localities: r. Lenkoranka (AzSSR).

For present this species has been found from *V. capoeta gracilis*. Our collection has shown, that *G. capoetai* is highly specific to its host (*V. capoeta*) in Georgia.

G. capoetai has been found for the first time in Georgia.

3. *G. derjavini* Mikailov, 1975.

Host: *Alburnus filippi*, *Chalcalburnus chalcoides*.

Location: fins and oral cavity.

Localities: r. Rioni (near Kutaisi), Ginvali reservoir.

Material has been obtained in March and April.

Common localities: r. Kura basin (AzSSR).

For present *G. derjavini* has been found from *Salmo trutta caspius*, *S. trutta caspius morpha fario*, *S. trutta oxianus*, *Chondrostoma cyri*, *Cyprinus carpio*.

The sizes of hard parts of opisthaptor differ from the redescription of the species [9]. Total length of anchors 0,063—0,066, their shaft measuring 0,043—0,047, point 0,027—0,030, root 0,020—0,021. Ventral bar with 0,012—0,017 long shield is 0,007—0,008 long and 0,027—0,028 wide. Measurements of the dorsal bar are 0,002—0,003 x 0,015—0,017. Total length of marginal hooks 0,031—0,036, their hook proper measuring 0,007—0,008.

G. darjavini has been found for the first time from these fishes and also in Georgia.

4. *G. gobii* Shulmann, 1953.

Host: *V. capoeta*, *B. lacerta cyri*, *B. mursa*, *L. cephalus*, *Gobio persa*, *Carassius auratus*.

Location: skin, gills and nasal cavities.

Localities: r. Kura, r. Khanistskali, r. Alazani (near Tsnori).

Material has been obtained in May and July.

Common localities: the wide-spread species.

Presently *G. gobii* has been found from *G. persa*.

The sizes of hard parts of opisthaptor differ from the sizes of the same parts after redescription the species [6]: Total length of anchors 0,050—0,057, their shaft measuring 0,034—0,040, point 0,025—0,027, root 0,014—0,020. Ventral bar with 0,010—0,012 long shield is 0,006—0,009 long and 0,021—0,025 wide. Measurements of the dorsal bar are 0,002—0,0025 x 0,016—0,020. Total length of marginal hooks 0,025—0,030, their hook proper measuring 0,005—0,006.

The species was found for the first time from the fishes: *V. capoeta*, *B. mursa*, *B. lacerta cyri*, *L. cephalus*, *C. auratus*.

Are these fishes hosts of *G. gobii* or it is only by chance, that we found them on these fishes, we can decide after the study of the additional materials.



The species was found for the first time in Georgia.

5. *G. hemibarbi* Ergens, 1980.

Host: *B. lacerta cyri*.

Location: skin and fins.

Localities: Ginvali reservoir, r. Kura (near Tbilisi).

Material has been obtained in April, May and July.

Common localities: r. Lenkoranka (AzSSR), reservoirs of Czechoslovakia.

For present *G. hemibarbi* has been found from the following fishes: *B. lacerta cyri*, *B. barbus*, *L. cephalus*.

G. hemibarbi was found for the first time in Georgia.

6. *G. ibragimovi* Ergens, 1980.

Host: *V. capoeta*.

Location: skin.

Localities: r. Rioni (near Kutaisi), r. Kura (near Tbilisi).

Material has been obtained in March and April.

Common localities: r. Lencoranca (AzSSR).

The species up till now has been found from *V. capoeta gracilis*. The worms in our material differ from those given in the key [3] and in the first description [8] by sizes of hard parts of opisthaptor: Total length of anchors 0.053—0.064, their shaft measuring 0.038—0.043, point 0.025—0.031, root 0.017—0.021. Ventral bar with 0.015—0.016 long shield is 0.006—0.007 long and 0.022—0.027 wide. Measurements of the dorsal bar are 0.001—0.002 × 0.015—0.018. Total length of marginal hooks 0.027—0.028, their hook proper measuring 0.0055—0.0060.

Our data have shown, that this species is highly specific for *V. capoeta* in Georgia.

G. ibragimovi was found for the first time in Georgia.

7. *G. katharineri* Malmberg, 1964.

Host: *Rutilus rutilus*, *Alburnoides bipunctatus eichwaldi*, *C. carpio*, *B. lacerta cyri*, *B. mursa*, *L. cephalus*, *V. capoeta*, *C. auratus*.

Location: skin, fins and gills. JAM353241

Localities: r. Iori, Ginvali r. Kura, fishes-farm of Batumi, The Tbilisi Sea.

Material has been obtained during the whole year.

Common localities: the wide-spread species.

For present this species has been known from *C. carpio*, *Carassius auratus*, *Alburnus*, *Scardinius*, *G. persa*, *V. capoeta heratensis*, *natio steindachneri* and from the some other ciprinid.

It is known, that untill 1964 [10] *G. katharineri* was identified with *G. elegans*, that is why we decide that the findings of *G. elegans* in Georgia [2] was a mistake.

Finding great number of these worms on other hosts except *Ciprinus carpio* and *Carassius auratus*, shows, that *G. katharineri* is not highly specific species only to the fishes: *C. carpio* and *C. auratus*.

The comparison of sizes of hard parts of opisthaptor from our material and from the key are given in the table.

G. katharineri has been found for the first time in Georgia.

8. *G. laevis* Malmberg, 1957.

Host: *Vimba vimba tenella*, *R. rutilus*.

Location: gills.

Localities: r. Kura, r. Tskaltsitela (near Kutaisi), the Tbilisi Sea.

Material has been obtained in spring.

Common localities: the wide-spread species.

As this species represents the species-group [3] we give sizes of the worms from our material: Total length of anchors 0.040—0.041, their shaft measuring 0.029—0.030, point 0.016—0.017, root 0.015—0.017. Ventral bar with 0.011—0.013 long shield is 0.004 long and 0.014—0.016 wide. Measurements of the dorsal bar are 0.002—0.003 × 0.007—0.008. Total length of marginal hooks 0.019—0.023, their hook proper measuring 0.006.

To solve the problem, whether these specimens belong to the species *G. laevis*, additional material is required.

The species of the *G. laevis* species-group has been found for the first time in Georgia.

9. *G. longoacuminatus* Zit'yan, 1964.

Host: *Carassius auratus*, *C. carassius*.

Location: skin and gills.

Localities: r. Alazani, ponds of Tsnori and Lagodekhi, r. Kura (Tbilisi), r. Tskhenistskali (near Kutaisi).

Material has been obtained during the whole year.

This species is highly specific to *Carpio*.

G. medius has been found for the first time in Georgia.

11. *G. prostae* Ergens, 1963.

Host: *V. vimba tenella*, *R. rutilus*.

Location: skin and fins.

Localities: r. Kura (near Tbilisi), r. Kintrishi (near Kobuleti).

Material has been obtained in April.

Common localities: the wide-spread species.

For present this species has been known from *R. rutilus*, *Blicca bjoerkna*,

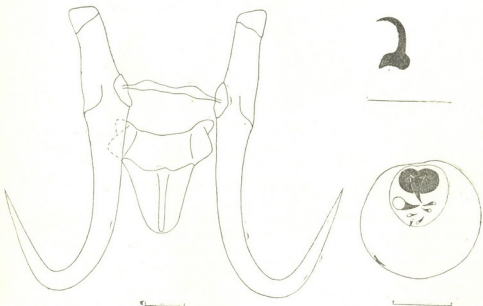


Fig. 2. *Gyrodactylus* sp. 1

Common localities: the wide-spread species.

The species has been found for the first time in Georgia.

10. *G. medius* Kathariner, 1893.

Host: *Ciprinus carpio*.

Location: gills.

Localities: r. Alazani (near Tsnori)

Material has been obtained in July.

Common localities: the wide-spread species.

Leuciscus leuciscus, L. idus

Specimens in our material differ from the data in the key[3] only by the measuring hook proper of marginal hooks, which is 0,005—0,006.

To solve the problem, whether these specimens belong to the species *G. prostae* additional material is required.

This species has been found for the first time from *V. vimba tenella* and also in Georgia.

12. *G. proterorhini* Ergens, 1967.

Host: *Gobio cephalargus constructor*.

Location: skin.

Localities: r. Tskaltsitela (near Kutaishi).

H. molitrix and *V. v. tenella* and also in Georgia.

In our materials appear the specimens, which belong to unknown species, but solve the problem whether they are the

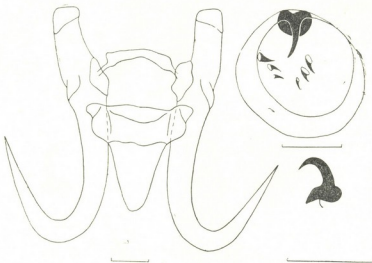


Fig. 3. *Gyrodactylus* sp. 2

Material has been obtained in May.

Common localities: the basin of the Black Sea and the Caspian Sea.

G. proterorhini has been found for the first time in Georgia.

13. *G. sprostonae* Ling, 1962.

Host: *Carassius auratus*, *C. carassius*, *V. capoeta*, *R. rutilus*, *Hipophthalmichthys molitrix*, *Cyprinus carpio*, *V. vimba*, *V. tenella*.

Location: skin and gills.

Localities: r. Chevistskali (near Samtredia), Kumisi lake (near Tbilisi), r. Apeni (near Tsnori), the Tbilisian Sea, r. Kura (near Tbilisi), r. Kintrishi (near Kobuleti).

Material has been obtained during the whole year.

Common localities: the wide-spread species.

This species has been found for the first time from *V. capoeta*, *R. rutilus*,

new species additional materials is required.

1. *Gyrodactylus* sp. 1 (Fig. 2)

Host: *Chalcilburnus chalcooides*.

Location: fins.

Localities: r. Rioni (near Kutaishi).

Material has been obtained in March. Description is given using 2 specimens.

Total length of anchors 0,0726—0,0728, their shaft measuring 0,051, point 0,029—0,030, root 0,023—0,025. Ventral bar with 0,0165 long shield is 0,008—0,009 long and 0,025—0,028, wide. Measurements of the dorsal bar are 0,0015—0,0020 \times 0,0275—0,0280. Total length of marginal hooks are 0,0297, their hook proper measuring 0,0066.

This species most closely resembles in the shape and in measurements of the anchors and bars *G. gracilhamatus*[3], from which it differs in the shape of

hooks of marginal hooks. We regard it as belonging to the *G. gracilis hamatus* species-group.

2. *Gyrodactylus* sp. 2 (Fig. 3)

Host: *C. carpio*.

Location: skin

Localities: Maglaki ponds

Material has been obtained in May.

Description is given using 1 specimen

Total length of anchors 0,062, their shaft measuring 0,044, point 0,0297, root 0,0198. Ventral bar with 0,018 long shield is 0,0099 long and 0,0253 wide. Measurements of the dorsal bar are 0,003×0,024. Total length of marginal

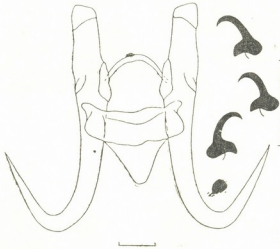


Fig. 4. *Gyrodactylus* sp. 3

Table

Metrical variability of hard parts of opisthaptor of *Gyrodactylus katharineri*, Malmberg, 1964 from the different hosts

Hard parts of opisthaptor	HOSTS			
	<i>Cyprinus carpio</i> *	<i>C. carpio</i> **	<i>Varicorhinus capoeta</i> **	<i>Barbus lacerta cyri</i> **
Total length of marginal hooks	0,038—0,058	0,042—0,043	0,033—0,048	0,047
Length of hook proper	0,008—0,010	0,008	0,0077—0,0088	0,008
anchors	Total length	0,071—0,0112	0,083—0,085	0,100—0,110
	Length of shaft	0,051—0,084	0,057—0,058	0,06—0,08
	Length of point	0,027—0,052	0,037—0,38	0,044—0,049
	Length of root	0,016—0,035	0,028	0,036—0,042
bars	Dorsal bar	0,002—0,005× 0,020—0,048	0,002×0,032	0,0033—0,0044× 0,030—0,038
	Ventral bar	0,008—0,014× 0,033—0,050	0,010×0,038	0,011—0,014× 0,04—0,06
	Length of shield	0,018—0,040	0,025	0,029—0,035
The number of measured specimens	—	28	20	25

Notes: —* Data from the key 9, **— our data

hooks 0,0264, their hook proper measuring 0,0055.

This species most closely resembles in the shape and in measurements of the anchors and bars *G. vimbi* species-group [3], from which it differ in the shape of hooks of marginal hooks.

3. *Gyrodactylus* sp. 3 (Fig. 4)

Host: *L. cephalus orientalis*

Location: fins

Localities: r. Aragvi (Ginvali reservoir).

Material has been obtained in summer.

Description is given using 2 specimens.

Total length of anchors 0,0495, their

shaft measuring 0,0374, joint 0,0198, root 0,0143. Ventral bar width 0,0182 long shield is 0,003 long and 0,0187 wide. Measurements of the dorsal bar are $0,002 \times 0,0176$. Total length of marginal hooks 0,021, their hook proper measuring 0,0055.

This species most closely resembles in the shape of hard parts of opisthaptor *G. hemibarbi*[8] from which it differ in the sizes.

I want to thank Dr. Lom for giving me possibility to work at the Institute of parasitology Czechoslovak. Acad. of sci. and Dr. Ergens for valuable remarks.

REFERENCES

- Гусев А. В. Методика сбора и обработки материалов по моногенам, паразитирующим у рыб, «Наука», Л., 1983.
- Курашвили Б. Е., Родоная Т. Э., Коюва Л. И. Тр. Зоол. ин-та АН ГССР, X, 1951, 111—119.
- Определитель паразитов пресноводных рыб фауны СССР (под. ред. О. Н. Бауера), «Наука», Л., 2, 1985, 296—347.
- Чернова Т. И. Паразитофауна рыб, некоторых водоемов колхидско-анатолийского участка, Автореф. канд. дисс., Л., 1973.
- Чиаберашвили Е. А. Тр. Грузинского зоовет. ин-та, 1968, 447—453.
- Эргенс Р. Паразитология, VII, 6, 497 — 501, 1973.
- Ergens R. Vestnik cceskoslovenke spolecnosti zoologicke, 3 Svazek., Cisl. Str., XL, 161—162, 1976.
- Ergens R. Folia parasitologica (Praha), 27, 303—307, 1980.
- Ergens R. Folia parasitologica (Praha), 30, 15—26, 1983.
- Malmberg G. In: Parasitic worms and aquatic conditions, Prague, 1964, 203—230.

გვარი *GYRODACTYLUS* (MONOGENEA)

შესრულდესათვის საქართველო

5. მაცხოვილი

საქართველოს მცენიერებათა აკადემიის ზოოლოგიის ინსტიტუტი, თბილისი

რეზიუმე

1987—1990 წ.წ. საქართველოს მტკნარი წყლის 927 ეგზ. თევზიდან (25 სახეობა) რეგისტრირებულია 16 სახეობის პარაზიტი გიროდეტილუსების გვარიდან. მათგან 13 სახეობა ახალია საქართველოს ფაუნისათვის, ხოლო 3 აღწერილია როგორც *Gyrodactylus* sp. ნაშრომში მო-

ყვანილია განსხვავებები, რომლებიც შეინიშნება ჩვენს მასალასა და მოცემული სახეობების პირველად აღწერებს შორის. აგრეთვე ზოგიერთი გიროდეტილუსის პარაზიტობის შემთხვევები მათვის არასპეციფიურ მასპინძლებზე.

К ФАУНЕ РОДА *GYRODACTYLUS* (MONOGENEA) В ГРУЗИИ

К. Г. Мацаберидзе

Институт зоологии АН Грузии, Тбилиси

Р е з ю м е

В 1987—1990 годах на 927 экз. 25 видов рыб собрано 16 видов рода *Gyrodactylus*. 13 из них регистрируется впервые для фауны Грузии, а 3 вида описывается как *Gyrodactylus* sp. Кроме того, указывается нахождение некоторых гиродактилид на не типич-

ных хозяевах. В тех случаях, когда обнаружены различия между первоописанием какого-либо вида и экземплярами этого же вида в исследованном материале, приводятся данные по размерам и форме хитиноидных частей прикрепительного диска.

УДК 581.5 : 528.7 (910+528.94)

ЭКОЛОГИЯ

ПЕРСПЕКТИВЫ ИСПОЛЬЗОВАНИЯ АЭРОКОСМИЧЕСКОЙ ФОТОИНФОРМАЦИИ В ИССЛЕДОВАНИЯХ ФИТОЛАНДШАФТОВ КАВКАЗА

Б. В. Виноградов, Н. И. Зазанашвили, И. И. Мамукашвили

Институт эволюционной морфологии и экологии животных им. А. Н. Северцова
АН₄ СССР, Москва

Институт ботаники им. Н. Н. Кециховели АН Грузии, Тбилиси

Поступила в редакцию 28.11.89

Освещаются вопросы и методы дешифрирования аэрокосмической фотонформации применительно к исследованиям горных фитоландшафтов Кавказа. Рассматриваются: спектральная отражательная способность объектов дешифрирования, достоверность их распознавания; методы использования аэрокосмической информации в целях картографирования растительности, установления степени нарушенности растительного покрова; вопросы аэрокосмического мониторинга долговременной динамики фитоландшафтов и др.

В настоящее время при изучении фитоландшафтов Кавказа аэрокосмическая фотонинформация практически не применяется, отсутствуют соответствующие методические разработки, что тормозит развитие регионального картографирования растительности, препятствует воссозданию адекватной картины современного эколого-хозяйственного состояния растительности отдельных районов Кавказа или региона в целом. Все это не способствует успешной выработке рекомендаций по рациональному использованию, воспроизводству и охране растительности Кавказа. С другой стороны, дешифрирование аэрокосмических снимков горных стран гумидных областей сопряжено с объективными трудностями, ведь горные районы Кавказа характеризуются огромной пестротой растительных сообществ на небольших пространствах (к тому же, как правило, на фоне высокой сомкнутости покрова). Тем не менее уже накоплен определенный опыт по дешифрированию горных широколиственных и смешанных лесов (и контактирующих с ними сельскохозяйственных земель), в частности Дальнего Востока и Западной Украины.

Известно, что космическая фотонформация передается языком яркостей и цветовых характеристик, в значительной степени обусловленных отражательными свойствами самих объектов дешифрирования. Спектральная отражательная способность исследуемых природных комплексов определяется составом и структурой деятельной отражательной поверхности лесных (форма и густота крон) и травяных сообществ. Оптические свойства растений зависят от состава и концентрации пигментов в листьях растений, от структуры фитоценоза, от астрономических и погодных условий, рельефа территории и др. [1]. Они изменяются в зависимости от географического и высотного положения фитоландшафтов. С осложнением структуры объекта распознавания понижается его отражательная способность, например у листа березы (основного созидаеля фитоландшафта субальпийских лесов Большого Кавказа и запада Малого Кавказа) она в оранжево-красной части спектра составляет около 0,18, ветви — 0,16, дерева — 0,12, насаждения — 0,08 мкм [1]. Наконец, велико влияние крутизны и экспозиции склонов и высоты



солнца на варьирование оптических свойств растительности, которое в горных условиях может достигать 100%. Необходимо отметить и то, что оптические свойства древесных растений в течение вегетационного периода претерпевают значительные изменения как в видимой, так и в инфракрасной областях спектра [1], что отражается в сезонной динамике спектральной яркости лесных фитоценозов. Для изучения оптических свойств растительности необходимо спектрофотометрирование пробных площадей основных растительных формаций с разных высот в разное время, сочетающиеся с оптическими измерениями на аэро- и космических снимках [3].

Однозональные оптические измерения, как правило, не дают надежных и специфических признаков для распознавания растительности. Поэтому для описания и картографирования состояния растительности используются различного рода многозональные индексы, как простое отношение $\rho_{\text{ин}}/\rho_k$, так и сложное $(\rho_{\text{ин}} - \rho_k) / (\rho_{\text{ин}} + \rho_k)$ (где $\rho_{\text{ин}}$ — коэффициент отражения в ближней инфракрасной зоне спектра 0,8—1,1 мкм, а ρ_k — в оранжево-красной 0,6—0,7 мкм). Такие индексы более чувствительны к изменениям состояний и фитоценометрических характеристик растительности и менее зависимы от варьирования природных и технических условий съемки [6].

Основным ограничивающим фактором, определяющим возможности использования аэрокосмических снимков для изучения растительности является достоверность распознавания ее состава. Лучше всего она дешифрируется по цветным инфракрасным спектрональным снимкам. Так, на цветных отпечатках с этих снимков разные формации дают разные исходные цвета: хвойные (сосна, ель, пихта) дают оттенки сине-зеленого, зеленого цвета, мелколистственные (береза, осина) — оттенки желто-оранжевого, красно-оранжевого цвета. Разнообразны признаки широколистенных пород: дуб — красно-бурый, бук — оранжево-коричневый, клен — пурпурный [2]. Кроме тоновых и цветовых признаков, используются геометрические признаки. Совокупность

признаков дешифрирования позволяет распознавать состав насаждений с погрешностью до 15%. Для дешифрирования района исследований необходимо разработать локальные дешифровочные признаки для всех формаций и классов ассоциаций по крупномасштабным аэрофотоснимкам.

Для изучения лесных, лесо-луговых и лесо-сельскохозяйственных фитоландшафтов на разных пространственных уровнях используются аэрокосмические снимки разного масштаба. Для изучения популяционной структуры растительных ассоциаций используются сверхкрупномасштабные аэрофотоснимки, м. 1:1000—1:2000 и крупнее. Для исследования и картографирования участков фитоценозов и групп ассоциаций применяются крупномасштабные аэрофотоснимки, м. 1:10 000 (1:6000—1:15 000). По этим снимкам для составления детальных геоботанических карт масштаба 1:10 000—1:25 000 дешифрируется растительность до групп и классов ассоциаций и видов комплексов фрагментов растительных ассоциаций. Для изучения пространственно интегрированных фитоландшафтных единиц — простых комбинаций классов ассоциаций как лесных, так и нелесных фитоценозов и агроценозов используются среднемасштабные аэрофотоснимки, м. около 1:30 000 (1:16 000—1:50 000). По ним производится картографирование растительности в съемочных масштабах 1:50 000—1:100 000. Затем, для изучения сильнее интегрированных единиц на уровне сложных комбинаций растительных формаций используются мелкомасштабные аэрофотоснимки и крупномасштабные космические снимки, м. около 1:100 000 (1:60 000—1:150 000) для картографирования в масштабах 1:100 000—1:300 000. Наиболее мелкомасштабный уровень, имеющий интерес для регионального исследования растительности, изучения вертикальной поясности и т. п. обеспечивается среднемасштабными космическими фотоснимками 1:1000 000 с ПОС «Салют» и «Мир» и сканерными снимками с разрешением 40 м с ИСЗ «Космос». Такие снимки могут быть использованы для геоботанического районирования и мелкомасштабного картографирования (м.: 600 000—1:1000000). Для



разработки такой многомасштабной концепции в исследуемом районе необходимы снимки отдельных ключевых участков и районов в разных масштабах от 1:3000 до 1:300 000.

Картографирование горной растительности Кавказа, так же как и растительности любого другого района, основано на исполнении пяти основных этапов работы с аэрокосмическими снимками — предварительное дешифрование, наземное эталонирование, полевая экстраполяция, полевой контроль, картосоставление [4]. Предварительное дешифрирование производится по методам и признакам, выработанным в аналогичных ландшафтах с близким составом растительного покрова. В результате этого составляется схема предварительного дешифрирования, контуры которой с однородными фотографическими изображениями служат основой полевых исследований.

Наземное эталонирование основано на всестороннем изучении ключевых участков. В равнинных условиях в съемочных масштабах относительная площадь ключевых участков около 6—12%, а форма квадратная, в горных условиях их относительная площадь увеличивается, а форма как квадратная, так и трансектная. Последняя в горах приобретает особую важность, причем целесообразно закладывать трансекты (соответственно масштабам исследований) по крайней мере, двух порядков: макро- и мезотрансекты. Макротрансектами охватываются все высотные пояса региона распознавания¹, мезотрансекты же закладываются по профилю отдельных поясов. После изучения ключевых участков следующим блоком картографической процедуры является аэрофотографическая экстраполяция — по признакам дешифрирования и аэрофотографическим эталонам, выработанным на ключевых участках, распознается состав растительности по аэрофотоснимкам всей исследуемой территории. Основным условием экстраполяции является рас-

пространение признаков по системе ландшафтов-аналогов.

Очень важным блоком картографической процедуры является полевой контроль результатов дешифрирования. Он осуществляется путем полевого описания достаточной статистической совокупности контуров, отдешифрированных по аэрокосмическим снимкам методом экстраполяции. Обычно считается, что если погрешность дешифрирования состава растительности на уровне групп и классов ассоциаций при локальной экстраполяции не превышает 10—15%, то результаты дешифрирования удовлетворительные. Заключительной процедурой является картосоставление, которое производится в соответствии с требованиями в зависимости от масштаба карты.

В настоящее время очень актуально дешифрирование нарушенных растительного покрова и их картографирование. При повреждении растительности индустриальным дымом, насекомыми и болезнями изменяются ее оптические характеристики. По оптическим критериям различается 3—5 стадий повреждения, дешифровочные признаки которых специфичны для разных растительных формаций [8, 9]. При слабом повреждении лиственных лесов, когда они носят еще временный характер, коэффициент отражения в видимой области спектра меняется мало и достоверно не различается. Однако в ближней инфракрасной области спектра уже заметно существенное снижение коэффициента отражения. Поэтому съемка на спектрозональной цветной инфракрасной пленке или сканерная многоспектральная съемка перспективны для обнаружения и слежения за распространением повреждений уже на начальной стадии повреждений. На умеренной стадии повреждения растительности коэффициент отражения значительно увеличивается в видимой области спектра, что позволяет визуально идентифицировать повреждения растительности. При среднем повреждении растительности коэффициент отражения в видимой области спектра сдвигается «вправо» из зеленой зоны спектра в желтую. При сильном повреждении растительности возрастает коэффициент отражения в оранжево-красной

¹ Количество закладываемых ключей-трансект зависит от разнообразия высотно-поясных типов. В частности на Кавказе различаются: Колхидская, Северо-восточно-кавказская, Джавахетско-Армянская, Юго-восточно-кавказская и другие типы поясности.



зоне спектра, исчезает максимум поглощения света в красной зоне спектра, коэффициент отражения в ближней инфракрасной области спектра падает до своих наименьших значений. При полном отмирании растительности исчезают селективные спектральные характеристики лиственных формаций [2].

Наиболее перспективным направлением является аэрокосмический мониторинг долговременной динамики растительного покрова. Частота аэрокосмических съемок зависит от скорости изменений растительного покрова. При изучении первичных голодинамических сукцессий съемки производятся редко — раз в 10—12 лет, а для вторичных экзодинамических сукцессий чаще, раз в 7—8 лет. В таких устойчивых слабодинамических экосистемах регистрируются различного рода восстановительные и разрушительные сукцесии. При изучении антропогенных катастрофических смен съемки производятся еще чаще. При изменениях около 1% площади в год — раз в 3—5 лет, а при изменении выше 3% в год — раз в 2 года или ежегодно. Выбор интервалов съемки очень важен, так как при слишком высокой частоте возникает опасность получения избыточной информации [5].

Измерение и картографирование долговременной динамики растительности по повторным аэро- и (или) космическим снимкам начинается с подбора снимков разных лет, исходя из требований скорости изменения экосистем. Для этого снимки разных лет сначала приводятся к одному масштабу, одному контрасту, одной проекции. Затем вся последовательность снимков дешифрируется по одной легенде. После этого все схемы дешифрирования отдельных сроков съемки накладываются друг на друга. На заключительной стадии измеряются все площади неизмененных за период между съемками контуров ра-

стительности и все площади переходов одного класса легенды. При сравнении между собой карт двух сроков съемки составляется квадратная матрица переходов, на которой по диагонали показана площадь всех сохранившихся контуров [7], а в значимых ячейках — площади переходов. При сравнении между собой карт трех и более сроков нелинейные тренды изменения площади показываются системой алгебраических уравнений. Используя математические модели динамики [6, 7], построенные для достаточно протяженных и генетически однородных территорий, можно переходить к нормативному экологическому прогнозированию. При работе с квадратными матрицами переходов, построенными по двум срокам съемки, прогноз на будущее вычисляется с помощью операций над матрицами на один интервал времени вперед, а затем на второй, третий и т. д. При работе с системами алгебраических уравнений динамики, построенными по трем и более срокам съемки, прогнозные тренды вычисляются для каждого класса систем непрерывно.

Помимо того, представляет большой интерес составление карт динамики растительного покрова. На первом этапе по повторным снимкам двух сроков съемки составляются карты динамики, легендами к которым служат квадратные матрицы переходов. В ячейках таких квадратных матричных легенд показаны вероятности сохранения или наоборот изменения растительности за интервал времени между повторными съемками. На втором этапе по повторным снимкам трех и более сроков съемки в легендах карт динамики показываются параметры алгебраических уравнений, описывающие изменения площади всех классов легенды за весь период между первой и последней съемками.



1. Алексеев В. А. Световой режим леса, «Наука», Л., 1975.
2. Березин А. М., Харин Н. Г. Методические пособия по использованию спектрональных аэроснимков для дешифрирования лесов, Гослесбумиздат, М.—Л., 1960.
3. Васильев Е. А., Галицина Г. А., Ефименко И. Д., Некрасов В. П., Новиков В. С. Космическая география. Полигонные исследования, 1988, 59—61.
4. Виноградов Б. В. Космические методы изучения аридной среды, «Мысль», М., 1976.
5. Виноградов Б. В. Преобразованная земля — аэрокосмические методы, «Мысль», М., 1981.
6. Виноградов Б. В. Аэрокосмический мониторинг экосистем, «Наука», М., 1984.
7. Виноградов Б. В. Наука и человечество, 1988, 81—101, 1988.
8. Сухих В. И., Синицын С. Г., Апостолов Ю. С., Данюлис Е. П., Жирик В. М., Мороз П. И., Рукосуев Г. Н., Эльман Р. И. Аэрокосмические методы в охране природы и в лесном хозяйстве, «Лесная промышленность», М., 1979.
9. Сухих В. И., Гусев Н. Н., Данюлис Е. П. Арометоды в лесоустройстве, «Лесная промышленность», М., 1977.

კავკასიის მთის ფოტოლანდშაფტის კალების სამუშაოები
აროპოლოგიური ფოტოინფორმაციის გამოყენების პირსპექტივი

8. ვინოგრადოვი, 6. ზაჟანაშვილი, ი. მამუკაშვილი

სსრ მეცნიერებათა აკადემიის ა. 6. სევერულის სახელმწის ქანონებით ეკოლოგიური
მოწყოლოვანისა და ეკოლოგიის ინსტიტუტი, მოსკოვი
საქართველოს მეცნიერებათა აკადემიის 6. კეცხოველის სახელმწის ბორცანიერის
ინსტიტუტი, თბილისი

რეზიუმე

საქართველოს მცენარეული საფარის
კლევაში აეროკოსმოსური ფოტოინფორმაციის დეშიფრირების მთოდების და-
ნერგვის დაწყებასთან დაკავშირებით გან-
ხილული ამ დარგში საბჭოო მცენარეების მიერ დღემდე დაგროვილი გამოყდი-
ლება; კერძოდ, განხილება ისეთი საკი-
თხები, როგორიცაა: მცენარეული ობი-

ექტების სპექტრული არეალების უნარი,
მცენარეულობის კარტოგრაფიზების, მცე-
ნარეული საფარის დარღვევის ხარისხის
დადგენის მიზნთ აეროკოსმოსური ფო-
ტოინფორმაციის გამოყენების მეთოდები,
ფიტოლანდშაფტების გრძელებიანი და-
ნიმიჯის მონიტორინგის საკითხები და სხვა.

PROSPECTS FOR AIR-SPACE INFORMATION USED IN THE RESEARCH OF MOUNTAIN PHOTO-LANDSCAPES OF THE CAUCASUS

B. VINOGRADOV, N. ZAZANASHVILI, I. MAMUKASHVILI

N. Severtsov Institute of Evolutionary Morphology and the Ecology of Animals,
The USSR Academy of Sciences, Moscow

N. Ketskhoveli Institute of Botany Georgian Academy of Sciences, Tbilisi

S u m m a r y

The experience of the Soviet Union in the deciphering of air-space information for the research of vegetation is described. Some methods that might be

useful for the deciphering of air-space photoinformation relating to the mountain vegetation of the Caucasus developed in Georgia are described.

УДК 619 :

МИКРОБИОЛОГИЯ

**БИОЛОГИЧЕСКАЯ ХАРАКТЕРИСТИКА И АНТИБИОТИКО-
ЧУВСТВИТЕЛЬНОСТЬ НЕФЕРМЕНТИРУЮЩИХ
ГРАМОТРИЦАТЕЛЬНЫХ БАКТЕРИЙ, ВЫЗЫВАЮЩИХ
ИНФЕКЦИОННЫЕ ЗАБОЛЕВАНИЯ У ЖИВОТНЫХ**

Т. Г. Габисония, Л. А. Чиковани, М. Р. Макаридзе, Б. А. Шендеров,
Т. Г. Чанишвили

НПО «Бактериофаг» им. Г. Г. Элиава, Тбилиси

Научно-исследовательский институт эпидемиологии и микробиологии
им. Г. Габричевского, Москва

Поступила в редакцию 29.11.90

Традиционными методами изучены биохимические свойства *Mogaxella bovis* и *Mogaxella lacunata*. Использование тест-системы позволило идентифицировать до вида 9 штаммов *M. bovis* и 7 штаммов *M. lacunata*.

Установлено, что штаммы *Mogaxella* оказали устойчивость к наиболее часто используемым антибиотикам.

Бактериальные инфекции продолжают оставаться одной из важных проблем ветеринарии. Проблема кишечных инфекций в целом относится к числу зоогигиенических и может быть решена посредством проведения соответствующих мероприятий. Однако спектр микроорганизмов, вызывающих заболевание животных, постоянно изменяется, и в их числе появляются виды, ранее не считавшиеся клинически значимыми и потому не определявшиеся в ходе рутинных бактериологических исследований. В частности, большое клиническое значение в последние годы приобрела группа аэробных неферментирующих грамотрицательных бактерий [1, 2, 5, 6, 7]. Чрезвычайно важным является тот факт, что в настоящее время указанные микроорганизмы выступают в качестве этиологического фактора кишечных расстройств у сельскохозяйственных животных, а также гнойно-воспалительных процессов (маститов, эндометритов, абсцессов, флегмон, кератоконъюнктивитов). К этим микроорганизмам относятся гетерогенная группа неспорообразующих коротких палочек или коккобацилл, относящихся к различным семействам —

Pseudomonas (в это семейство объединены роды *Pseudomonas* и *Xanthomonas*) и *Neisseriaceae* (роды *Mogaxella* и *Acinetobacter*).

Эти аэробные неферментирующие грамотрицательные бактерии широко распространены в окружающей среде. Однако штаммы *Pseudomonas* наиболее хорошо изучены, а культуры *Mogaxella* выделяются менее часто или их не удается идентифицировать, так как для дифференциации штаммов *Mogaxella* нужно испробовать множество тестов. На современном этапе нет более совершенных схем идентификации *Mogaxella*, а также специфических сывороток для диагностики.

По данным литературы штаммы *Mogaxella*, выделенные от животных, характеризуются резистентностью к антибиотикам и сульфаниламидам. *Mogaxella* мало изучена и представляет несомненный практический интерес.

Целью данной работы явилось изучение биохимических свойств штаммов, выделенных от животных, а также их антибиотикочувствительности.

Для сравнения служили музейные культуры *M. bovis* (штамм 5619) и *M. lacunata* (штамм 5758), полученные из коллекции ГИСК им. Л. А. Тарасевича, а также штаммы, выделенные от больных животных (крупный рогатый скот) из различных локализаций: *M. bovis* — 9 культур, выделенных с конъюнктивы глаз, *M. lacunata* — 7 штаммов, выделенных из носоглотки крупного рогатого скота. С помощью традиционных методов [3, 4] определяли наличие цитохромом-

ксидазы, каталазы, индола, ферментации глюкозы на среде Хью-Лейфсона, разжижали желатин, продуцировали уреазу, фенилаланиндеаминазу, утилизировали цитрат (на среде Симмонса) и ацетат натрия. Сахаролитическую активность изучали на среде Хью-Лейфсона с добавлением 1% углеводов и 5% сыворотки крупного рогатого скота.

Чувствительность к антибиотикам изучали методом бумажных дисков.

РЕЗУЛЬТАТЫ ИССЛЕДОВАНИЯ И ИХ ОБСУЖДЕНИЕ

Комплексное изучение биохимических свойств *Moraxella bovis* и *Moraxella lacunata* с использованием традиционных методов показало, что все штаммы имели каталазную активность, не окисляли углеводы. *Moraxella bovis* и *Moraxella lacunata* разжижали желатин через 4–8 ч. *M. lacunata* редуцировал нитраты в нитриты (в 100 % случаев при использовании традиционного метода в присутствии 5%-ной сыворотки крупного рогатого скота).

Использование тест-системы позволило идентифицировать до вида *M. bovis* — 9 штаммов и *M. lacunata* — 7 штаммов (табл. 1).

Таблица 1

Видовая идентификация *Moraxella* по минимальному набору признаков

Изучаемый признак	<i>M. bovis</i>	<i>M. lacunata</i>
Цитохромоксидаза	+	+
Каталаза	+	+
Ферментация и окисление глюкозы на среде Хью-Лейфсона	—	—
Нитратредуктаза	—	+
Уреаза	—	—
Желатиназа	+	+
Утилизация ацетата	—	—
Рост на агаре Мак-Конки	—	—
Подвижность	—	—

Примечание: + положительная реакция;
— отрицательная реакция

Кроме дифференциации штаммов *Moraxella*, нами была изучена чувствительность их к 15 антибиотикам.

Была выявлена множественная лекарственная устойчивость к таким активным препаратам, как гентамицин, полимиксин, карбенициллин (табл. 2).

Таблица 2
Устойчивость штаммов *Moraxella* к антибиотикам

Антибиотик	<i>Moraxella bovis</i> , %	<i>Moraxella lacunata</i> , %
Метициллин	100	100
Оксациллин	100	100
Ампициллин	100	100
Карбенициллин	100	100
Эритромицин	100	100
Олеандомицин	100	100
Линкомицин	100	100
Тетрациклин	100	100
Рондомицин	88	88
Гентамицин	66	88
Полимиксин	100	100
Неомицин	100	100
Хлорамфеникол	100	100
Ристомицин	100	100
Канамицин	100	100
Число штаммов	9	7

Исходя из вышеизложенного, оказалось, что традиционные тесты остаются ведущими при выборе схемы идентификации бактерий рода *Moraxella*, которая при быстрой идентификации бактерий рода *Moraxella* может быть представлена минимальным набором диагностических признаков. Показано также и то, что штаммы *Moraxella*, выделенные из крупного рогатого скота, отличаются высокой резистентностью к множеству антибиотиков, которые наиболее часто применяются для лечения животных.

ЛИТЕРАТУРА



1. Зубков М. Н. Лаб. дело, 3, 15—18, 1988.
2. Калина Г. П. ЖМЭИ, 9, 33—40, 1988.
3. Калина Г. П., Трухина Г. М. ЖМЭИ, 10, 99—107, 1986.
4. Калина Г. П., Трухина Г. М. ЖМЭИ, 1, 80—88, 1988.
5. Broo K. Q. Drugs, 31, suppl., 3, 97—102; 1986.
6. Martin R. R., Riley P. S. Hoblis D. G. J. Clin. Microbiol., 14, 39—47, 1981.
7. Rubin S. J., Granato P. A., Wasilakuska B. L. Man. Clin. of Microb., Washington, 301, 263—287, 1980.

ცხოვილთა ინფექციური დაავადიგების გამომჯვევი
არაგავირებელი გრამულარაციითი მიკრობრების გენეტიკური დაავადის გამომჯვევი

ტ. გაბისონია, ლ. ჩიქოვანი, მ. მაკარიძე, ბ. შენდეროვი, თ. ჭავჭავაძე

გ. ელიავას სახელობის სსგ „ბაქტერიოფაგი“, თბილისი
გ. გამრიჩევსკის სახელობის ეპიდემიოლოგიის და მიკრობიოლოგიის ინსტიტუტი, მასკოვი

რეზიუმე

ტრადიციული მეთოდების გამოყენებით შესწავლილი *Moraxella bovis* და *Moraxella lacunata*-ს ბიოლოგიური თვისებები, ტრადიციული ტესტ-სისტემებით მოვალინერთ *M. bovis* 9 და *M. lacunata*-ს

7 შტამის იდენტიფიცირება სახეობებამდე.

დადგენილა, რომ *Moraxella*-ს შტამები მდგრადები არიან ხშირად გამოყენებული ანტიბიოტიკების მიმართ.

BIOLOGICAL CHARACTERISTIC AND ANTIBIOTIC-SENSITIVITY OF NON-ENZYMIC GRAM-NEGATIVE BACTERIA, CAUSING INFECTIOUS DISEASES IN ANIMAIS

T. GABISONIA, L.CHIKOVANI, M. MAKARIDZE, B. SHENDEROV,
T. CHANISHVILI

G. EliavaSIA „Bacteriophage“, Tbilisi

G. Gabrichevski Scientific Research Institute of Epidemiology
and Microbiology, Moscow, USSR

Summary

Biochemical properties of *Moraxella bovis* and *Moraxella lacunata* were studied by means of traditional methods. The use of test-system allowed to iden-

tify 9 strains for *M. bovis* and 7 strains for *M. lacunata*. It was established that *Moraxella* strains showed resistance to the most used antibiotics.

УДК: 576.8.077.3 : 616.14 : 617.58

ИММУНОЛОГИЯ

ИММУНОЛОГИЧЕСКИЕ АСПЕКТЫ ДИФФЕРЕНЦИАЛЬНОЙ ДИАГНОСТИКИ ОСТРОЙ ПАТОЛОГИИ ВЕНОЗНОЙ СИСТЕМЫ НИЖНИХ КОНЕЧНОСТЕЙ

С. А. Алиев, Э. Я. Нациашвили, В. К. Буджиашвили

Институт хирургии им. К. Д. Эристави, Министерства здравоохранения и соцобеспечения Республики Грузия, Тбилиси

Поступила в редакцию 05.12.89

Анализ некоторых показателей гуморального иммунитета у больных с острой патологией вен нижних конечностей позволил выявить изменения, характерные для тромбофлебита и флеботромбоза. Полученные данные могут служить основанием для своевременной дифференциальной диагностики и адекватной этиопатогенетической терапии.

Проблема острой патологии венозной системы нижних конечностей продолжает привлекать внимание хирургов всего мира. Это связано со значительной распространенностью острых заболеваний вен, частотой развития тяжелых осложнений и неудовлетворительными результатами лечения [3, 5, 7, 8].

Острая патология венозной системы нижних конечностей объединяет две нозологические формы — тромбофлебит и флеботромбоз, различающиеся по этиологии, патогенезу и клиническим проявлениям [2, 5, 8]. Поэтому только точная и своевременная диагностика может служить основанием для адекватной этиологии и патогенеза терапии. Однако использование классических методов клини-

ческих, функциональных и лабораторных исследований не всегда дает возможность дифференцировать острый тромбофлебит от острого флеботромбоза, особенно при поражении глубоких вен. Отсюда ираствующая недовольственность проводимой терапией.

Учитывая вышеизложенное, представляется целесообразным поиск нетрадиционных объективных методов диагностики, информативных в плане этиопатогенетической характеристики патологического процесса при заболеваниях вен нижних конечностей. С нашей точки зрения указанным требованиям отвечают иммunoлогические методы исследования, отличающиеся высокой специфичностью.

МАТЕРИАЛ И МЕТОДЫ ИССЛЕДОВАНИЯ

Под наблюдением находилось 107 больных с острой патологией вен нижних конечностей в возрасте 17—70 лет, в том числе 82 женщины и 25 мужчин. Больных с острым тромбофлебитом было 73 (поверхностным — 51, глубоким — 22), с острым флеботромбозом — 34 (поверхностным — 11, глубоким — 23). Диагноз устанавливали с помощью традиционных клинико-лабораторных и инструментальных методов исследования. Первичный диагноз в последующем был подтвержден ex juvantibus. Контрольную группу составили 100 практически здоровых доноров, находящихся на



учете в Республиканской станции переливания крови.

У больных и доноров определяли концентрацию иммуноглобулинов, уровень третьего и четвертого компонентов комплемента, титр антибактериальных и антитоксических антител в сыворотке. При этом ставили реакции радиальной иммунодиффузии [10], связывания комплемента [1, 9] и нейтрализации токсина [4]. В реакции радиальной иммунодиффузии использовались моноспецифические антисыворотки (НИИ эпидемиологии и микробиологии им. Н. Ф. Гамалеи, Москва) к иммуноглобулинам классов M, G, A и набор моноспецифических антисывороток фирмы Behringwerke (ФРГ) к третьему и четвертому компонентам комплемента. В реакции связывания комплемента антигеном служила убитая культура стафилокок-

ка, стрептококка, возбудителя менингита и эшерихий; в реакции нейтрализации — стафилолизин и стрептолизин О (НИИ эпидемиологии и микробиологии им. Н. Ф. Гамалеи).

Для удобства счета титры антибактериальных антител и количество антитоксических единиц (AE/ml) приведены в виде логарифмов. С учетом большого числа перекрестных реакций диагностическими считали следующие титры: для антибактериальных антител — Ig титра ≥ 4 ; для антистафилолизина — Ig титра ≥ 3 ; для антисрептолизина — Ig титра ≥ 5 .

Больных обследовали при поступлении и на 7—10-й день лечения, доноров — однократно.

Полученный цифровой материал обработан методами вариационной статистики [6].

РЕЗУЛЬТАТЫ ИССЛЕДОВАНИЯ И ИХ ОБСУЖДЕНИЕ

Таблица 1

Концентрация иммуноглобулинов в сыворотке больных с острым патологией вен нижних конечностей

Нозология, локализация процесса, число наблюдений	Концентрация, г/л		
	Ig G	Ig A	Ig M
Тромбофлебит			
поверхностный, $n=51$	12.64 ± 0.62	2.15 ± 0.15	1.14 ± 0.07
глубокий, $n=22$	12.98 ± 0.81	$2.61 \pm 0.21^*$	1.14 ± 0.11
Флеботромбоз			
поверхностный, $n=11$	12.38 ± 0.59	1.62 ± 0.19	1.11 ± 0.17
глубокий, $n=23$	12.65 ± 0.37	1.81 ± 0.11	$1.47 \pm 0.14^*$
Здоровые доноры, $n=100$	12.0 ± 0.13	2.2 ± 0.06	1.1 ± 0.02

Примечание: * — достоверность различий показателей у больных и здоровых доноров < 0.05

Как видно из табл. 1, концентрация иммуноглобулинов классов M, G, A в сыворотке больных поверхностным тромбофлебитом практически соответствовала норме. В то же время анализ индивидуальных данных показал, что концентрация IgA была завышена у 27 больных ($52.9 \pm 10.0\%$), IgG — у 12 больных ($23.5 \pm 10.0\%$), а уровень IgM был снижен у 6 больных ($11.7 \pm 5.0\%$).

Концентрация иммуноглобулинов изменялась более четко в сыворотке

больных глубоким тромбофлебитом. В основном это касалось IgA, средний уровень которого составлял 2.61 ± 0.21 г/л, что достоверно выше нормы. Однако разность концентрации IgA в сыворотке больных глубоким и поверхностным тромбофлебитом носила несущественный характер. Концентрация IgG у больных глубоким тромбофлебитом проявляла тенденцию к повышению, IgM — к снижению. Учет индивидуальных показателей позволил выявить существен-

ное повышение уровня IgA у 16 из 22 больных глубоким тромбофлебитом, т. е. в $72,7 \pm 10,0\%$ случаев. Менее характерно для них было повышение уровня IgG ($40,9 \pm 10,0\%$) и снижение уровня IgM ($18,1 \pm 10,0\%$).

У больных острым тромбофлебитом среднее значение титра антител к *Staph. aureus* (\lg титра = $4,98 \pm 0,31$) был достоверно выше нормы, причем максимальных значений титр антител достигал у больных тромбофлебитом глубоких вен (табл. 2). Титр анти-

пес. Так, диагностически значимые реакции со стафилококковым антигеном выявились у 23 больных ($75,0 \pm 10,0\%$) с признаками поверхностного тромбофлебита и у 9 пациентов ($40,8 \pm 10,0\%$), страдающих глубоким тромбофлебитом нижних конечностей. Диагностически значимые реакции со стрептококковым антигеном имели место в 13 случаях ($25,4 \pm 10,0\%$) при поверхностном и в 4 случаях ($18,1 \pm 5,0\%$) при глубоком тромбофлебите. В реакциях со *Str. pneumoniae*

Таблица 2

Уровень антибактериальных и антитоксических антител в сыворотке больных с острой патологией вен нижних конечностей

Нозология, локализация процесса, число наблюдений	Антитела (\lg титра) к					
	антибактериальные			антитоксические		
	<i>Staph. aureus</i>	<i>Str. pyogenes</i>	<i>Str. pneumoniae</i>	<i>Esch. coli</i>	α -стапилолизину	стрептолизину 0
Тромбофлебит поверхностный, $n=51$	$4,46 \pm 0,26^*$	$3,68 \pm 0,21$	$2,48 \pm 0,36$	$1,88 \pm 0,42$	$3,24 \pm 0,24^*$	$6,07 \pm 0,39^*$
глубокий, $n=22$	$5,4 \pm 0,37^*$	$4,34 \pm 0,31^*$	$3,11 \pm 0,42$	$2,34 \pm 0,26$	$3,90 \pm 0,34^*$	$6,46 \pm 0,22$
Флеботромбоз поверхностный, $n=11$	$2,7 \pm 0,27$	$2,73 \pm 0,23$	$2,16 \pm 0,42$	$1,97 \pm 0,15$	$1,62 \pm 0,26$	$4,21 \pm 0,29$
глубокий, $n=23$	$2,55 \pm 0,18$	$2,99 \pm 0,15$	$2,31 \pm 0,13$	$1,81 \pm 0,11$	$1,86 \pm 0,12$	$4,62 \pm 0,13$

Примечание: * — достоверность различий межгрупповых показателей (тромбофлебит — флеботромбоз поверхностный; тромбофлебит — флеботромбоз глубокий) $< 0,05$.

бактериальных антител к *Str. pyogenes* проявлял тенденцию к повышению у больных поверхностным тромбофлебитом и был достоверно выше нормы у больных с глубоким тромбофлебитом. Среднее значение титра антибактериальных антител к *Str. pneumoniae* и *Esch. coli* практически не изменялось, а разность показателей при поверхностной и глубокой локализации процесса носила несущественный характер ($p > 0,05$).

Повышение уровня антибактериальных антител в сыворотке отмечалось у большинства больных острым тромбофлебитом. Диагностически значимые титры антител значительно чаще регистрировались в реакциях со *Staph. aureus*, затем — со *Str. pyogenes*

и *Esch. coli* диагностические титры регистрировались значительно реже.

Сочетания антител к 2—4 из тестируемых бактериальных антигенов в диагностическом титре не были обнаружены ни в одном случае. Диагностический титр специфических антител к какому-либо из тестируемых бактериальных антигенов был зарегистрирован у 40 больных ($78,4 \pm 10,0\%$) поверхностным и у 18 больных ($81,8 \pm 10,0\%$) глубоким тромбофлебитом.

У 11 больных ($21,6 \pm 10,0\%$) поверхностным тромбофлебитом и 4 больных ($18,2 \pm 10,0\%$) тромбофлебитом глубоких вен реакции с тестируемыми антигенами были отрицательны, что, однако, еще не может свидетель-



ствовать в пользу асептического характера патологического процесса или его связи с каким-либо другим не тестируемым нами возбудителем. Не исключено, что причинная связь патологического процесса с одним из тестируемых микроорганизмов у указанных больных не привела к формированию именно комплементфиксацирующих антител. Поэтому для уточнения возможностей этиологической роли наиболее часто встречающихся бактерий в сыворотке больных определяли и антитела к токсинам патогенного стафилококка и гемолитического стрептококка.

У больных острым тромбофлебитом нижних конечностей средний уровень антител к α -стафилолизину (Ig титра = $3,57 \pm 0,29$) и к стрептолизину 0 (Ig титра = $6,25 \pm 0,5$) был выше нормы, что особенно четко проявлялось среди больных с патологией глубоких вен (табл. 2). Число случаев с диагностически значимым титром антител к α -стафилолизину при поверхностном тромбофлебите составляло 18 ($35,2 \pm$

Как видно из табл. 3, обследование больных нашего контингента на уровень антител к токсинам патогенного стафилококка и гемолитического стрептококка дало нам возможность уточнить этиопатогенез патологического процесса еще у 6 больных ($11,9 \pm 5,0\%$) тромбофлебитом поверхностным и у 3 больных ($13,5 \pm 5,0\%$) тромбофлебитом глубоких вен.

Сравнение результатов исследования, представленных в табл. 2 и 3, показывает, что у больных с поверхностной локализацией процесса диагностически значимые реакции со стафилококковыми антигенами имели место в $50,9 \pm 10,0\%$ случаев, у больных с глубокой локализацией процесса в $45,4 \pm 10,0\%$ случаев; диагностически значимые реакции со стрептококковыми антигенами регистрировались в $31,5 \pm 10,0\%$ и $27,2 \pm 10,0\%$ случаев соответственно. Далее, из этих же таблиц следует, что у 46 больных поверхностным тромбофлебитом, что составляет $90,2 \pm 10,0\%$ случаев, и у 21 больного глубоким тромбофлебитом, т. е. в $95,4 \pm 10,0\%$ случаев, регистрировались диагностически значимые реакции хотя бы с одним

Таблица 3

Уровень антибактериальных и антитоксических антител в сыворотке больных с острым тромбофлебитом

Нозология, локализация процесса, число наблюдений	Число случаев с диагностическим титром антител (%) к					
	<i>Staph. aureus</i> и α -стафилолизину	<i>Staph. aureus</i>	α -стафилолизину	<i>Strept. pyogenes</i> и стрептолизину 0	<i>Strept. pyogenes</i>	стрептолизину 0
Тромбофлебит поверхностный, $n=51$	29,5	15,6	5,8	19,7	5,9	5,9
Всего		50,9			31,5	
глубокий, $n=22$	27,2	13,6	4,5	18,1	—	9,0
Всего		45,4			27,2	

10,0%), при глубоком тромбофлебите — 7 ($31,7 \pm 10,0\%$). Число случаев с диагностическим титром антител к стрептолизину 0—13 ($25,4 \pm 10,0\%$) и 6 ($27,1 \pm 10,0\%$) соответственно. Ни в одном случае не были выявлены антитела в диагностическом титре одновременно к α -стафилолизину и стрептолизину 0.

из тестируемых антигенов, бактериальным или токсическим.

Таким образом, параллельное определение антибактериальных и антитоксических антител к одному и тому же возбудителю, например стафилококку или стрептококку, значительно повысило возможность выявления соответствующих антигенов у боль-



ных острым тромбофлебитом. Выявление бактериальных антигенов достигло максимума при определении антител к ряду этиологически значимых инфекционных агентов (стафилококк, стрептококк, эшерихия). При этом отрицательные реакции с большей долей вероятности можно считать показателем истинно асептических процессов. В наших случаях отрицательные реакции имели место у 5 больных поверхностным ($9,8 \pm 5,0\%$) и у 1 больного ($4,6 \pm 1,0\%$) глубоким тромбофлебитом.

рушений IgA, по существу отмечено не было.

Для больных острым флегботромбозом нижних конечностей в отличие от больных острым тромбофлебитом накопление антибактериальных антител в сыворотке не было закономерным (табл. 2). Диагностический титр комплементфиксирующих антител к тестируемым бактериям регистрировался лишь в единичных случаях при этом средний титр антител был значительно ниже в сравнении с титром

Таблица 4

Концентрация компонентов комплемента в сыворотке больных с острой патологией вен нижних конечностей

Нозология, локализация процесса, число наблюдений	Концентрация компонентов комплемента, г/л			
	третьего	число случаев со снижением, %	четвертого	число случаев со снижением, %
Тромбофлебит				
поверхностный, n=51	$0,92 \pm 0,11$	$7,8 \pm 1,0$	$0,29 \pm 0,04$	$5,9 \pm 1,0$
глубокий, n=22	$0,72 \pm 0,13$	$9,1 \pm 1,0$	$0,39 \pm 0,07$	$4,5 \pm 1,0$
Флегботромбоз				
поверхностный, n=11	$0,44 \pm 0,07^*$	$63,6 \pm 10,0$	$0,25 \pm 0,04^*$	$36,4 \pm 5,0$
глубокий, n=23	$0,31 \pm 0,04^*$	$82,6 \pm 5,0$	$0,17 \pm 0,02^*$	$69,5 \pm 5,0$
Здоровые доноры				
n=100	$0,85 \pm 0,03$	—	$0,35 \pm 0,02$	—

Примечание: * — достоверность различий показателей у больных и здоровых доноров $< 0,05$.

У больных острым тромбофлебитом концентрация третьего и четвертого компонентов комплемента практически соответствовала норме (табл. 4).

У больных поверхностным флегботромбозом (табл. 1) средний уровень иммуноглобулинов классов G, A, M соответствовал аналогичным показателям у здоровых доноров; у больных глубоким флегботромбозом имело место существенное повышение уровня IgM. Анализ индивидуальных данных показал, что концентрация IgM в сыворотке была повышена в $45,5 \pm 10,0\%$ случаев среди больных поверхностным флегботромбозом и в $73,9 \pm 10,0\%$ случаев на фоне поражения глубоких вен. Уровень IgG был повышен у $27,2 \pm 10,0\%$ и $30,4 \pm 10,0\%$ больных соответственно, а количественных на-

на тот же антиген у больных острым тромбофлебитом. Накопление в сыворотке больных острым флегботромбозом антибактериальных антител, особенно к стрептококкам, обычно наблюдалось на фоне хронических воспалительных процессов, например хронической пневмонии, вялотекущего ревматоидита, тонзиллита. Сказанное подтверждалось и данными изучения титра антитоксических антител (табл. 3). Так, диагностические титры антител к α -стапилолизину и стрептолизину O имели место у тех же больных, у которых выявлялись и антибактериальные антитела. И в этих случаях титр диагностически значимых реакций был ниже такового у больных тромбофлебитом.



На фоне острого флегботромбоза отмечалось достоверное снижение средней концентрации третьего и четвертого компонентов комплемента в сыворотке в сравнении с нормой; число лиц со снижением концентрации (табл. 4) компонентов увеличилось.

Подводя итог проделанной работы, следует отметить, что для острого тромбофлебита нижних конечностей характерно повышение уровня IgA и накопление антител к наиболее распространенным микроорганизмам или их токсинам (стафилококк, стрептококк) в сыворотке, что, надо полагать, свидетельствует в пользу инфекционно-воспалительной природы патологического процесса. У больных же флегботромбозом имело место существенное повышение концентрации IgM и снижение уровня третьего и четвертого компонентов комплемента в сыворотке. Сказанное может служить основанием для предположения о развитии в этих случаях иммунопатологического процесса, что подчеркивается и его асептическим характером.

ЛИТЕРАТУРА

1. Авербах М. М. Методические рекомендации по проведению иммунологических исследований при туберкулезе и других заболеваниях легких, М., 1984.
2. Аскерханов Р. П. Вест. хирургии, 12, 55–60, 1966.
3. Аскерханов Р. П. Хирургия периферических вен, «Медицина», М., 1973.
4. Выгодчиков Г. В. Страфилококковые инфекции, «Медицина», М., 1963.
5. Гришин И. Н., Савченко А. Н. Клиническая ангиология и ангиохирургия, «Наука», Минск, 1981.
6. Гублер Е. В. Вычислительные методы анализа и патологических процессов, «Медицина», М., 1978.
7. Маматавришили Д. Г. Болезни магистральных вен, «Мир», М., 1964.
8. Савельев В. С., Думпе Э. П., Яблочков Е. Г. Болезни магистральных вен, «Мир», М., 1972.
9. Фримель Я. Иммунологические методы, «Мир», М., 1979.
10. Mansini G., Carbonara Q., Hargmans I. Proc. of the 11-th Calloq. Immunochimistry, 2, 1965, 235.

କ୍ଷେତ୍ର ପିଣ୍ଡଶର୍ତ୍ତା ଓ ବେଳୁଳି ଦେଖିଥିଲି ଏହାରେ କାମାନ୍ତରିକାଳିତ୍ତିରେ
ବୀରବୀରମେବୋଲ୍ଲାଙ୍କର ଦୀର୍ଘବୈଷ୍ଣବିତ୍ତିରେ ଉପରେମ୍ଭାନ୍ଧବିଲ୍ଲାଙ୍କର
ଅବସରିତିରେ

୧. ଆଲିବ୍ରା, ୨. ବାବିଜାବିଲ୍ଲା, ୩. ପାଞ୍ଚିଦାଶବିଲ୍ଲା

ଶ୍ରୀକର୍ଣ୍ଣାରୂପ ପାନିକଟ୍ଟାଳୀଙ୍କର ଦୀର୍ଘବୈଷ୍ଣବିତ୍ତିରେ
ବୀରବୀରମେବୋଲ୍ଲାଙ୍କର ଦୀର୍ଘବୈଷ୍ଣବିତ୍ତିରେ ଉପରେମ୍ଭାନ୍ଧବିଲ୍ଲାଙ୍କର
ଅବସରିତିରେ

ହେଠି ଉପରେ

କ୍ଷେତ୍ର ପିଣ୍ଡଶର୍ତ୍ତା ଓ ବେଳୁଳି ଦେଖିଥିଲି ଏହାରେ କାମାନ୍ତରିକାଳିତ୍ତିରେ
ବୀରବୀରମେବୋଲ୍ଲାଙ୍କର ଦୀର୍ଘବୈଷ୍ଣବିତ୍ତିରେ ଉପରେମ୍ଭାନ୍ଧବିଲ୍ଲାଙ୍କର
ଅବସରିତିରେ

Использование в комплексе с традиционными клинико-лабораторными исследованиями и методов иммунологического анализа позволило подтвердить роль иммунных механизмов в развитии острой патологии вен нижних конечностей. Оценка иммунного статуса у больных в каждом конкретном случае обеспечила своевременную дифференциальную диагностику и адекватную этиопатогенезу терапии. Надо полагать, что иммунологический мониторинг даст возможность судить и об эффективности лечения и, следовательно, прогнозе патологического процесса. Использованные иммунологические методы применимы ко всем больным, независимо от их возраста и клинического состояния, так как требуют небольшого объема сыворотки. Достоинства метода проявляются независимо от локализации патологического процесса, и особенно наглядны при поражении глубоких вен, т. е. в случаях, когда традиционная диагностика недостаточно эффективна.

IMMUNOLOGIC ASPECTS OF DIFFERENTIAL DIAGNOSIS OF AN
ACUTE PATHOLOGY OF LOWER EXTREMITIES' VENOUS SYSTEM



S. ALIEV, E. NATSIASHVILI, V. BUDZHIASHVILI

K. Eristavi Institute of Experimental and Clinical Surgery,
Georgian Ministry of Health and Social Maintenance, Tbilisi

S u m m a r y

Analysis of humoral immunity in the patients with acute pathology of lower extremities' veins allowed to detect changes that were typical for the acute thrombophlebitis and phlebothrombosis. The obtained data can serve as a base of timely differential diagnosis and adequate pathogenic therapy.

რამ 616.155.32:616.89—008.441.13

გვ. 600

ბირთვაკაზარმომარშელი რაიონის სიცხირი პროცესული
ალკოჰოლიზმით დაავადებულთა ლიმფოციტები

ა. გოგიძია, გ. დებჩაძი, გ. ქავაშვილი, გ. უილიამოვი, გ. გოგიძია, გ. დავითაშვილი, გ. ცოხაძა

თბილისის სახელმწიფო სამეცნიერო ინსტიტუტი

შემოსულია რედაქციაში 12.01.90

აროკენტრული ქრომოსომების ბირთვაკაზარმომარშელი რაიონის სიცხირე შეისწავლის შედეგებით ქრონიკული ალკოჰოლიზმით დაავადებული 17 ვებულების პერიოდში სისხლის ლიმფოციტების კულტურაში, დაავადების მუდმივი პერიოდში საკონტროლო მონაცემები მიღებულ იქნა პრატიკულად ფარისხთვის დონორების გამოყენებით.

მიღებულია შედეგებმა გამოვლინა, რომ ქრონიკული ალკოჰოლიზმით დაავადებულებმა დაჭვითობულია DD ტანის აკროკენტრული ქრომისომების სისტემითა სისხლი. ასოციაცითა რცხუში უზრუნველყოფილ ალბატრება საკონტროლო მონაცემებს და შეადგენს 1,344.

ასოციაციის ფენომენი არის ბირთვაკაზარმომარშის სტრუქტურის მაღალსპეციფიური ინდიკატორი, რომელიც მნიშვნელოვან როლს ასრულებს ინტერფაზის წინამორბედ პერიოდში. იგი არ არის მუდმივი სიდიდე და იცვლება სხვადასხვა ფაქტორის მოქმედებით, როგორიცაა ასაკი [1, 2, 3], სქესი [7], ქრომოსომული ანომალიები [11], სამკურნალო პრეპარატების ზემოქმედება [4] და ა. შ.

შრომები ქრომოსომების ასოციაციების, როგორც ნივთიერების მუტაციების შემცირების ტესტ-ობიექტის შესახებ, 60-იან წლებში განხდა [5]. 1966 წელს მერჩმა და თანავატ. [9] აღმოჩინა აკროკენტრული ქრომოსომების ასოციაციის სისხლის დაჭვითოება თიროქსინის დიდი კონცენტრაციით მოქმედებისას და პირივათ, იგი მომატებული აღმოჩნდა ქალებში, რომელიც ხანგრძლივად დებულობდნენ ორალურ კონტრაცეპტივებს [10]. 1975 წელს მ. ცანხევამ ეს ფენომენი გამოიყენა

რიგი ფსიქოტროპული პრეპარატის მუტაციების ხარისხის დასადგენად.

კლინიკური მასალა წარმოდგენილია ალკოჰოლიზმით დაავადებული 17 ვებულებით, რომელთაც გადატანილი პერიოდათ თეთრი ცხელება და მკურნალობის მიზნით მოთავსებული იქნენ რეპსბლიკურ ფსიქიატრულ საავადმყოფოში. მათი სისხლი გაანალიზდა მკურნალობის დაწყებამდე, კონტროლად აღებული იყო პრატიკულობად განმრთელი 8 დონორის პერიოდული სისხლის ლიმფოციტური კულტურების მონაცემები (ცხრილი).

ლიმფოციტების კულტივირება ხდებოდა მუტხედის მიერ შემუშავებული მეთოდის მიხედვით [8].

აკროკენტრული ქრომოსომების DD, DG და GG ასოციაციების ტიპების დასაღენად გამოყენებულ იქნა თანამდებობითი ასოციაციების მათემატიკური მოდელი [6].

გვარიკულების ადამ- მეობულის რაოდე- ნისა	გაანალიზებული შეტაყიშების რაოდენობა	ექიცეპტოლით ქრომისომების სილიციუმის სიხშირე			თანამდებზერთა ასლიალიტის სიხშირე	
		D D	D G	G G		
17	750	0,0046	0,0112	0,007	1,297	
საკონტროლო მონაცემები	8	729	0,0070	0,0109	0,006	1,344

မိများပြုလေ့ရှိခဲ့သူများ၏ အကြောင်းအရာများ

ମିଲେବୁଲମ୍ବ ଗାମିତୁଲ୍ଲେବଦ୍ମା ଗାମାଵଲିନ୍, ରୁମ ଅଲ୍ପକ୍ଷଲୋଳିଶିତ ଡାଙ୍ଗାରୁବୁଲ୍ଲେବଦ୍ମି ମେଲାଲାଦ DD ରୁଦିଲ୍ ଅଲ୍ପରୁବୁଲ୍ଲେବଦ୍ମା, ଲୋଚ ଖମିଶିଶିରାରାଦ ଡାଙ୍ଗାରୁବୁଲ୍ଲେବଦ୍ମା, DG ରୁ

GG ტიპის ასოციაციათა სიხშირე კი არ აღმატება საკონტროლო მონაცემებს. რაც შეეხება ასოციაციათა სიხშირეს უზრულებელყოფა, იგი დავადალებულებში (1,297) კონტროლთან შედარებით უმნიშვნელოდაა დაკვეთებული (1,344).

ЛИТЕРАТУРА

- Гиндилис В. М. Павульсонае С. А. Цитология, 9, 9, 853—856, 1967.
 - Жданова Н. С. Цитология, 13, 1, 42—50, 1971.
 - Прокофьева-Бельговская А. А. В кн.: Основы цитологии человека, 1966, 91—92.
 - Цанчева М. С. Эксп. мед. и морф., София, 15, 181—166, 1976.
 - Вайнштейн К., Могиеси V., Мохес K. Acta pediat. Acad. Sci. Hung., 21, 2—3, 133—143, 1980.
 - Лежава Т. А., Читашвили R. Ya., Кхмаладзе E. V. Use of the mathematical "satellite model" for determining the frobucency of associations of acrocentric chromosomes depending of human age, Bio-Medical computing. 3, 181—199 1972.
 - Matevi M. S., Salzano F. M. Humanogenetik, 27, 1, 1—8, 1975.
 - Moorehead P. S. Waeell P. G., Mellmann W. S., Battipis D. M., Exp. Cell Res., 20, 3, 613—616, 1960.
 - Merz T., Premperek T., Miegel B. Nature, 209, 5029, 1198—2200, 1966.
 - Quarrie H. G. Scott C. D., Ellsworth N. S., Harris J. W., Stone R. O. Am. J. Obst. Gynecol., 108, 4, 659—765, 1970.
 - Ургба M., Adamek R. Plzen. Lek. sp., 5, 31, 169—174, 1973.

ЧАСТОТА ЯДРЫШКООБРАЗУЮЩИХ РАЙОНОВ В ЛИМФОЦИАХ БОЛЬНЫХ ХРОНИЧЕСКИМ АЛКОГОЛИЗМОМ

А. Н. Гогелия, Г. Г. Думбадзе, М. М. Дзамашвили,
М. А. Фирсманишвили, Ц. Г. Гецадзе, М. Ш. Давлашеридзе,
Н. С. Чомая

Pensione

Частота ядрышкообразующих районов акроцентрических хромосом изучена в культурах лимфоцитов периферической крови 17 больных хроническим алкоголизмом в остром периоде заболевания. Контрольные данные получены от практически здоровых доноров.

Полученные результаты выявили, что у больных хроническим алкоголизмом понижена частота ассоциаций акроцентрических хромосом типов ДД. Число ассоциаций на клетку незначительно превышает контрольный уровень, составляя 1,344.

THE FREQUENCY OF NUCLEI PRODUCING AREAS IN LYMPHOCYTES OF CHRONIC ALCOHOLICS

A. GOGELIA, G. DUMBADZE, M. DZAMASHVILI, M. PIROSMANISHVILI,
Z. GETSADZE, M. DAVLASHERIDZE, N. TSOMAIA

Tbilisi State Medical Institute

Summary

The frequency of nuclei producing areas of acrocentric chromosomes were examined in the peripheral blood lymphocyte culture of 17 chronic alcoholics in the acute periods of the disease. Comparative data were obtained from the healthy donors.

Results of the study revealed that chronic alcoholics have reduced frequency of acrocentric chromosome association of the DD type. The number of associations per cell insignificantly exceeds those of the control level (It makes 1,344.).

УДК 547.962.577.156

БИОФИЗИКА

ДЕЙСТВИЕ НЕЙТРАЛЬНЫХ СОЛЕЙ НА ТЕРМОДИНАМИЧЕСКИЕ ПОКАЗАТЕЛИ ПЕРЕХОДА СПИРАЛЬ- КЛУБОК В КОЛЛАГЕНЕ

М. О. Бежитадзе, Т. В. Бурджанадзе

Институт экспериментальной морфологии им. А. И. Натшвили АН Грузии, Тбилиси

Поступила в редакцию 20.12.89

Калориметрическим и поляриметрическим методами изучены действия нейтральных солей NaCl и CaCl_2 на переход спираль-клубок в коллагене. Температура денатурации понижается нелинейно и характер изменения близок к экспоненциальной зависимости.

С увеличением концентрации соли понижение термостабильности сопровождается уменьшением энталпии и соответствующим уменьшением энтропии.

В присутствии солей возникает внутримолекулярная гетерогенность, которая проявляется в сложном характере калориметрического пика.

В присутствии нейтральных солей даже не при очень высоких концентрациях в прогреваемом растворе коллагена имеет место самопроизвольное образование фибрilla, что создает немалые трудности для изучения закономерностей действия нейтральных солей на переход спираль-клубок в разбавленных растворах [3]. По данным работы [1] имеется лишь узкая область pH и ионной силы раствора, внутри которой можно изучать механизм развертывания тройной спирали. Однако, как было показано в последнее время, в концентрированных растворах уксусной кислоты несколько можно расширить интервал изменения концентрации соли [4]. Большинство нейтральных солей дестабилизируют упорядоченную структуру белков [11], понижая температурную стабильность в той или иной степени. Однако, из-за от-

сутствия термодинамических данных, полученных непосредственными калориметрическими измерениями, природа действия нейтральных солей остается нераскрытой. То небольшое количество работ, которое имеется для образцов в конденсированном состоянии, дает лишь приблизительную картину относительно механизма действия нейтральных солей и неприводно в качестве истинных значений термодинамических величин, так как количество сорбируемой влаги и межмолекулярные взаимодействия вносят существенные корректизы в величины ΔH_d , ΔS_d и T_d [6, 9, 10].

В настоящей работе приведены результаты калориметрических измерений разбавленных растворов коллагена в области $\text{pH} 2,0-3,4$ при изменении концентрации соли от 0 до 0,6 М.

МАТЕРИАЛ И МЕТОДЫ

Коллаген экстрагировали из кожи белых крыс 0,5 М уксусной кислотой по ранее описанной методике [7]. Калориметрические измерения были выполнены на сканирующем калори-

метре ДАСМ-4 с рабочим объемом камер 0,474 cm^3 . Концентрацию белка определяли по известному значению удельной оптической активности [2], используя автоматический поля-

риметр «POLAMAT» (Карл Цеис Гейн) с угловым разрешением 0,005° при 546 нм. Во избежание дополнительных погрешностей в определении энталпии денатурации эксперименты с солевыми растворами коллагена проводили следующим образом: к бессолевому раствору добавляли нуж-

ное количество чистой соли и перемешивали в течение нескольких часов на холода, а затем снимали калориметрическую кривую. Следует отметить, что характер кривых теплопоглощения не изменялся и при добавлении растворов NaCl.

РЕЗУЛЬТАТЫ ИССЛЕДОВАНИЯ

На рис. 1 представлены зависимости парциальной теплоемкости коллагена кожи крысы от температуры при различных концентрациях NaCl. Из рисунка видно, что с увеличением

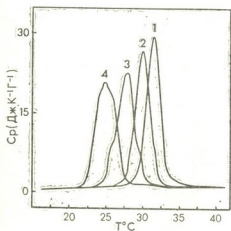
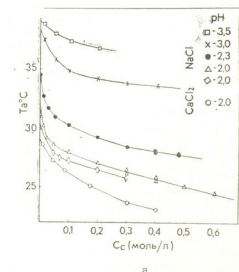


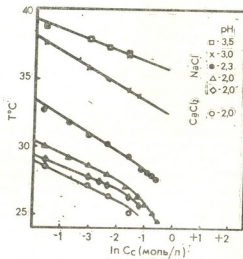
Рис. 1. Зависимость парциальной теплоемкости коллагена кожи крысы от температуры в 4 М CH_3COOH pH 2.0 при различных концентрациях: 1 — в отсутствии соли; 2 — 0,1 М; 3 — 0,3 М; 4 — 0,5 М; скорость прогрева — 1°/4 мин

концентрации соли происходит изменение характера пика теплопоглощения; температура денатурации в 0,5 М NaCl падает с 32°C до 25°C, степень кооперативности перехода спираль-клубок уменьшается, о чем свидетельствует уширение пика теплопоглощения. Особого внимания заслуживает факт возникновения гетерогенного перехода, что наиболее наглядно видно при 0,3 молярной концентрации соли. С обеих сторон основного пика теплопоглощения возникают два сателитных пика. Возможно, кривая теплопоглощения имеет еще более сложный характер, но три явных, независимых кооперативных перехода не вызывают сомнения. Кроме перечисленных переходов, наблюдается

еще заметный пик со стороны высокотемпературной части кривой, наличие которого не вызывает сомнения,



а



б

Рис. 2. Зависимость температуры денатурации коллагена кожи крысы от молярной концентрации NaCl и CaCl_2 (а) и от логарифма молярной концентрации (б) при различных значениях pH уксусной кислоты



если увеличить концентрацию коллагена, что было ранее нами уже детально описано [4].

На рис. 2 (а, б) приведены зависимости температуры денатурации, определенной по максимуму пика теплопоглощения от молярности и от логарифма молярности добавляемой соли, как одновалентной NaCl , так и двухвалентной CaCl_2 . Из рисунков видно, что в действиях солей грубо можно выделить две различные по характеру фазы — резкое падение температуры денатурации и монотонное его уменьшение при последующем добавлении. Падение температуры денатурации от добавляемой соли происходит по зависимости, близкой к экспоненциальной, особенно в интервале pH от 2,3 до 3,0, но никак не

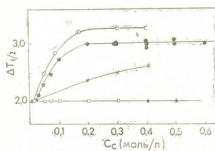


Рис. 3. Зависимость полуширины перехода спираль-клубок коллагена кожи крысы от молярной концентрации соли при различных концентрациях pH: (●)—3,5; (×)—3,0; (●)—2,0 (NaCl), (□)—3,5; (○)—2,0 (CaCl_2)

по линейной, как это было обнаружено ранее при действии на коллаген кожи теленка [12]. Хотя более последние результаты, полученные на проколлагене, также показали нелинейную зависимость [8].

На рис. 3 приведена зависимость ширины температурного перехода спираль-клубок от молярности добавляемой соли. Из рисунка видно, что с уменьшением pH от 3,5 до 2,0 и с увеличением концентрации соли ширина температурного перехода быстро увеличивается и достигает своего максимального значения при 0,2 М NaCl , если pH раствора равна 2,0, но при pH 3,0 она возрастает медленно, не достигая предельного значения в исследуемом интервале концентрации соли. При pH 3,5 ширина перехода не изменяется в зависимости от при-

роды соли; в присутствии NaCl и CaCl_2 она остается постоянной.

Заметное влияние соли оказывают на удельную теплоту плавления коллагена. Результаты измерений, полученные при различных pH, объединены в одну общую зависимость (рис. 4), исходя из того, что влияние pH на теплоту денатурации намного меньше, чем соли, что хорошо видно на примере экспериментов при pH 2,0. Вопрос об уменьшении энталпии денатурации коллагена с добавлением соли не вызывает сомнения. Если отбросить крайние нижние значения энталпии денатурации (рис.

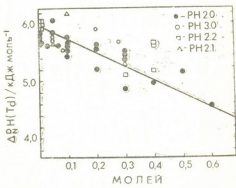


Рис. 4. Зависимость энталпии денатурации коллагена кожи крысы от молярной концентрации соли при различных значениях pH

4), то даже при этом уменьшение ΔH_d составляет 15% от исходной величины, в то время как изменение удельной оптической активности не превышает 5%.

Полученные результаты вместе с ранее обнаруженными фактами [4, 5] свидетельствуют о том, что энталпия денатурации оказывается зависимой от двух параметров: а) содержания оксипролина и концентрации соли — в значительной степени; б) pH и уксусной кислоты — в меньшей. Но если характеризовать действие каждого из этих компонентов краткой измененией ΔH_d от температуры денатурации, т. е. по производной $\frac{d\Delta H_d}{dT_d}$, то их следует расположить в следующем порядке. Наиболее сильное влияние оказывают нейтральные соли, затем



содержание оксипролина, концентрация водородных ионов и уксусная кислота.

Понижение энタルпии денатурации с увеличением концентрации соли сопровождается соответствующим уменьшением энтропии денатурации, вычисленной из известного термодинамического соотношения, связывающего температуру денатурации с энタルпийей и энтропией денатурации

ОБСУЖДЕНИЕ РЕЗУЛЬТАТОВ

Все ранее сделанные выводы, касающиеся влияния нейтральных солей на механизм дестабилизации структуры коллагенового типа, главным образом основывались на результатах влияния солей на ренатурированный коллаген (желатин), что, очевидно, не дает полного представления относительно действия соли на структуру коллагена [11]. Такой подход базировался на том факте, что принципиального различия в полученных результатах для коллагена и желатины не имеется, а количественное различие в константе К, характеризующей степень влияния солей [11], обусловлено более сильным кооперативным действием соли на переход спираль-клубок в случае коллагена, чем желатины, т. е. эффект аналогичен действию температуры на кооперативность перехода коллагена и желатины. Однако дело обстоит иначе. В случае коллагена увеличение концентрации соли позволяет выявить некоторые тонкие эффекты изменения механизма кооперативного превращения спираль-клубок, не обнаруживаемые ни для конденсированного состояния, ни для желатины [4]. Под действием таких солей, как NaCl и CaCl₂ температура денатурации понижается нелинейно и характер изменения близок к экспоненциальной зависимости (рис. 2), в отличие от линейной, наблюдавшейся для желатины.

Преимущество калориметрического метода над поляриметрическим [11] для исследуемого вопроса совершен-

$T_d = \Delta H_d / \Delta S_d$. Следовательно, действие нейтральных солей на тройную спираль коллагена имеет энтропийную природу и, поскольку конформационное изменение тройной спирали по показаниям удельной оптической активности по порядку величины меньше, чем изменение энталпии, то надо полагать, что изменение энтропии связано с изменением структуры растворителя, в данном случае воды.

но очевидно. Во-первых стало ясным, что понижение термостабильности сопровождается уменьшением энталпии и соответствующим уменьшением энтропии, что может быть обусловлено изменением состояния растворителя (вода), во-вторых зависимость теплосъемки от температуры прогреваемого раствора коллагена свидетельствует о том, что в отсутствии соли возникает внутримолекулярная гетерогенность, причем, как мы видим, это зависит от поверхностного заряда макромолекулы, так как при различных значениях pH раствора меняется характер поведения T_d от молярности добавляемой соли (рис. 3). Исходя из этих фактов мы должны сделать вывод, что действие солей идет от поверхности и с увеличением концентрации все больше затрагивает внутренние области тройной спирали.

Таким образом, результаты настоящей работы, как и предыдущей [4], в совершенно ином аспекте представляют действие нейтральных солей на механизм развертывания тройной спирали. Если в отсутствии соли в процессе денатурации мы не можем обнаружить промежуточную стабильную форму, то в ее присутствии денатурация может происходить от менее термостабильных участков к более термостабильным, что нами будет доказано в опытах по обратимой денатурации коллагена в присутствии солей в следующей работе.

ЛИТЕРАТУРА

1. Аяндроникашвили Э. Л., Монаселидзе Д. Р., Бакрадзе Н. Г., Чанчалашвили З. И., Мгеладзе

- Г. М., Микадзе Э. Л. В сб.: Конформационные изменения биополимеров в растворах, «Наука», М., 1973, 171—176.



2. Бурджанадзе Т. В. Труды ТГУ, 139, 17—23, 1971.
3. Бурджанадзе Т. В., Бежитадзе М. О., Гиоргадзе А. Г., Бабакишвили Г. М. Изв. АН ГССР, сер. биол., 15, 3, 209—214, 1989.
4. Бурджанадзе Т. В., Ломая М. А., Бежитадзе М. О. Биофизика, 34, 3, 377—383, 1989.
5. Бурджанадзе Т. В., Тиктюло Е. И., Привалов П. Л. ДАН СССР, 293, 720—724, 1987.
6. Burjanadze T. V. Biopolymers, 21, 8, 1587—1595, 1982.
7. Glimcher M. J., Francois C. J., Richards L., Krane S. M. BBA, 93, 2, 585—602, 1964.
8. Hayashi T., Curran-Palmer S., Proskop D. J. Biochemistry, 18, 19, 187—4187, 1979.
9. Lim J. J., Biopolymers, 15, 12, 2371—2383, 1976.
10. Luescher-Mattli M., Ruegg M., Schindler P. Biopolymers, 13, 12, 2489—2503, 1974.
11. Von Hippel P. H., Schleich T. In Structure and Stability of Biological Macromolecules, ed. Timasheff S., Fasman G. D., N. Y., 2, 1969, 418—574.
12. Von Hippel P. H., Wong K.—Y. Biochemistry, 2, 6, 1387—1398, 1963.

მიმოხილური გარიდების მოძმვება ციტოლ-გორგალის
გადაცვლის თიორიულიამიგრაცია განვითარებული კოლაგენში

ა. ბეზითაძე, თ. ბურჯანაძე

საქართველოს მეცნიერებათა აკადემიის ა. ნაიოშეილის სახელობის ექსპერიმენტული
მორფოლოგიის ინსტიტუტი, თბილისი

ჩ ე ზ ი უ მ ე

კალორიმეტრული და პოლარიმეტრული მეთოდებით შესწავლილია ნეიტრალური გარილების (NaCl და CaCl_2) მოქმედება სპირალ-გორგალის გადაცვლაზე კოლაგენის მოლეკულში. დენატურაციის ტემპერატურა არაწროვად ეცემ და მისი ცვლილების ხასიათი უახლოვდება ექსპონენციალურ დამოკიდებულებას.

მარილის კონცენტრაციის გაზრდასთან ერთად თერმოსტაბილობის დაცვას თან სდევს ენტალპიის და შესაბამისად ენტროპიის შემცირება.

მარილების თანაობისას აღვილი აქვს შეგამოლეკულურ ჰეტეროგენურობას, რაც თავს იჩენს კალორიმეტრული პიკის რთულ ხასიათში.

THE INFLUENCE OF NEUTRAL SALTS ON THE THERMODYNAMIC SIGNIFICANCE OF HELIX-COIL TRANSITION IN COLLAGEN

M. BEZHITADZE, T. BURJANADZE

A. N. Natishvili Institute of Experimental Morphology,
Georgian Academy of Sciences, Tbilisi

S u m m a r y

The action of neutral salts (NaCl and CaCl_2) on the helix-coil transition in the collagen molecule was studied by calorimetric and polarimetric methods. The denaturation temperature decreases non-linearly and the character of change is near to the exponential dependence.

As the salt concentration enhances the decrease of the thermostability it is accompanied by the enthalpy and by the correspondent entropy decrease.

In the presence of salts the intramolecular heterogeneity arises, which is observed in the complex character of the calorimetric peak.

УДК 577.32

БИОФИЗИКА

КАЛОРИМЕТРИЧЕСКОЕ ИССЛЕДОВАНИЕ α -ХИМОТРИПСИНА

В. В. Герасимов, М. Д. Махарадзе, И. Ш. Мегрелишвили,
Г. Р. Геташвили

Институт молекулярной биологии и биологической физики АН Грузии, Тбилиси

Поступила в редакцию 08.12.89

Изучено влияние температуры предварительного нагрева на тепловую денатурацию α -химотрипсина калориметрическим методом. Показано, что температура предварительного нагрева начинает оказывать свое действие при температурах, близких к характеристической температуре денатурации α -химотрипсина. Проводится анализ механизма тепловой денатурации белка.

Ядерный магнитный резонанс, дифракция рентгеновских лучей, расчет молекулярной динамики и компьютерное построение изображений позволяют дополнить статические структуры белков описанием их внутренней подвижности при различных физико-химических воздействиях. Такая подвижность обусловлена тем, что конформация белков образуется вследствие слабых, нековалентных взаимодействий между различными атомами полипептидной цепи и между полипептидом и окружающей средой [2]. В отличие от твердых тел, в которых атомы ковалентно соединены с соседями во всех направлениях, вполне возможно, что группы слабых

взаимодействий в белках могут одновременно разрушаться и восстанавливаться, что обеспечивает возможность тепловых движений участков белка [3]. Количество таких локальных изменений конформации белка с повышением температуры должно увеличиваться и более всего эти изменения должны проявляться в температурном интервале, соответствующем тепловой денатурации данного белка. В связи с этим нами было проведено калориметрическое исследование тепловой денатурации α -химотрипсина, подвергнутого предварительному температурному воздействию.

МАТЕРИАЛ И МЕТОДЫ

Раствор белка предварительно прогревался в 0,04 М глициновом буфере pH 3 до температуры, входящей в температурную область тепловой денатурации белка. Затем раствор охлаждался и снималась кривая, характеризующая изменение относительной теплоемкости белка в области его тепловой денатурации.

Эксперименты проводились на дифференциальном адиабатическом микрокалориметре ДАСМ-4. Чувствитель-

ность прибора составляет $5 \cdot 10^{-5}$ Дж/К, скорость прогрева — 0,25 К/мин, скорость охлаждения — 1 К/мин; α -химотрипсин крупного рогатого скота коммерческого производства Fluka Chemie EC 3.4.21.1. Концентрация белка измерялась по поглощению $E_{280\text{nm}}^{0,1\%} = 2,000$ на спектрофотометре Specord UV - Vis, Carl Zeiss Iena.

Известно, что в большинстве случаев обратимость денатурации белка является частичной [1]. Это часто обусловлено в какой-то степени тем, что в процессе прогревания одновременно осуществляются две реакции, одна из которых ведет к равновесию, в то время как другая необратима, т. е. реакция проходит по схеме: нативное состояние \rightleftharpoons обратимая денатурация \rightarrow необратимая денатурация. Рассматривая эту схему, надо отметить, что первая часть этой реакции (когда реакция денатурации обратима) не зависит от механизма денатурации. Этим механизмом может быть принцип «все или ничего» или же эта реакция может быть многостадийной, т. е. проходящей через ряд промежуточных состояний. Важно, что в процессе такого перехода мы имеем в конечном случае либо денатурированное состояние, либо нативное, в зависи-

мости от различных денатурирующих факторов и, с другой, — от самого механизма денатурации белка. Поэтому, варьируя денатурирующие агенты, можно исследовать механизм этой реакции.

Как указывалось выше, группы слабых взаимодействий в белках могут одновременно разрушаться и восстанавливаться вновь, что обеспечивает возможность тепловых движений участков белка. При этом возможно, что в одних случаях может произойти взаимодействие таких участков в пределах одной молекулы и это, естественно, должно отразиться в изменении энергетики тепловой денатурации. В другом случае может произойти взаимодействие этих же участков, принадлежащих разным молекулам, т. е. будут образовываться агрегаты, что также приведет к изменению энергетики тепловой денатурации белка. Однако в первом случае вполне можно предположить, что сдвиг характеристической температуры тепловой денатурации, при повторном действии температуры, должен быть незначительным. Незначительным должно быть и изменение энталпии тепловой денатурации. Во втором случае, когда образуются агрегаты, процесс тепловой денатурации усложняется, так как в этом случае должно произойти взаимодействие отдельных участков молекулы белка с другими (другой) молекулами. Естественно, что в этом случае в начале должно произойти разрушение слабых связей какого-либо участка или же всей молекулы, и процесс будет идти с теплоглощением, а затем должно произойти межмолекулярное взаимодействие, причем этот процесс уже должен идти с тепловыделением. Оба этих процесса, т. е. разрушение и взаимодействие, должны быть растянуты во времени, так как межмолекулярное взаимодействие в этом случае будет вероятностным процессом. Следует также заметить, что в этом случае калориметрическая энталпия тепловой денатурации будет являться разностью между теплоглощением при разрушении внутримолекулярной структуры и тепловыделением при образовании межмолекулярных образований.

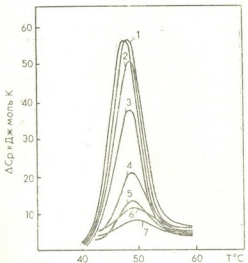


Рис. 1. Изменение относительной теплоемкости α -химотрипсина при тепловой денатурации и различных температурах предварительного нагрева: 1—38°C; 2—44°C; 46°C; 4—48°C; 5—50°C; 6—52°C; 7—54°C

симости от денатурирующего фактора. В случае действия температуры между этими двумя крайними состояниями будет находиться область, в которой будет осуществляться собственно переход между этими двумя состояниями. Вторая часть схемы будет естественно зависеть, с одной сто-



На рис. 1 представлены кривые изменения относительной теплоемкости α -химотрипсина при тепловой денатурации, соответствующие различным температурам предварительного нагрева (отжига). Как видно из рисунка, при отжиге наблюдается уменьшение максимальной относительной теплоемкости белка, сужение интервала тепловой денатурации, в то же время смещение характеристической температуры не превышает одного градуса, что может служить косвенным подтверждением идентичности структурных элементов, входящих в конформацию макромолекулы. С другой стороны, если предположить, что процесс тепловой денатурации α -химотрипсина происходит в рамках модели «все или ничего», т. е. в процессе денатурации изменяется соотношение между денатурированными и нативными макромолекулами, то зависимость кривой теплопоглощения от температуры предварительного нагрева будет иметь вид, представленный на рис. 2 (пунктирная кривая). Как видно, имеется существенное расхождение между предполагаемой кривой и кривой, полученной экспериментально. Рассматривая эту зависимость, можно отметить, что увеличение температуры отжига в области тепловой денатурации приводит к изменению механизма денатурации перехода α -химотрипсина, т. е. при прогреве до температур вблизи температуры перехода наблюдается значительная обратимость процесса, а затем начинают превалировать процессы, ведущие к необратимости перехода α -химотрипсина. Судя по представленным кривым, такое поведение системы связано с изменением типа кооперативности процесса, который частично может быть связан с ассоциацией молекул белка. Однако, так как пик теплопоглощения, как указывалось выше, представляет алгебраическую сумму всех тепловых эффектов, которые могут сопровождать процесс денатурации белка, можно предположить, что по крайней мере до области характеристической температуры процессы ассоциации не происходят. То, что характеристическая температура в пределах погрешности эксперимента остается постоянной, а также не происходит усложнения формы кривой, может служить кос-

венным подтверждением идентичности основной структуры белка.

Известно, что α -химотрипсин состоит из двух доменов, основой которых является β -структура и в нем имеется 143 вандерваальсовых контакта, 8 водородных связей и один солевой мостик. Следует также отметить, что структурные домены можно определить как единицы свертывания цепи [4]. Строение α -химотрипсина в известной мере подтверждает такое определение. Этот белок содержит 13 молекул воды между двумя доменами внутри молекулы. Это указывает на то, что домены свертываются отдельно и молекулы воды задержива-

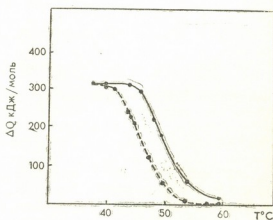
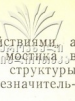


Рис. 2. Зависимость теплопоглощения от температуры предварительного нагрева: пунктирная линия — теоретическая кривая в рамках модели «все или ничего»; сплошная — экспериментальная кривая

ются в процессе последующей ассоциации доменов [5, 6]. Кроме того, можно предположить, что если корреляция между соседними по цепи остатками в этих доменах отличается, то домен с сильной корреляцией должен свертываться первым, а затем использоваться в качестве своеобразной матрицы, способствующей свертыванию другого домена.

Тогда вполне вероятно, что процесс тепловой денатурации в области начальных температур предварительного прогрева обусловлен в основном нарушениями в первом низкотемпературном домене, а затем, когда начинается плавление второго домена,



общий процесс тепловой денатурации становится необратимым. Вероятно, определенное значение в этом случае имеет то, что структура α -химотрипсина поддерживается в основном ван-

дерваальсовыми взаимодействиями¹⁾, а наличие одного солевого мостика²⁾ в стабилизации третичной структуры макромолекулы играет незначительную роль.

ЛИТЕРАТУРА

1. Жоли М. Физическая химия денатурации белков, «Мир», М., 1968.
2. Туза Дж., Прентис С. Перспективы биохимических исследований, «Мир», М., 1987.
3. Allerhand A., Doddrell D., Gluchho V., Cochran D. W., Wemkert E., Lawson P. J., Gurd F. R. IV. J. Am. Chem. Soc., 93, 544—546, 1971.
4. Birktoft J. J., Biow D. M. J. Mol. Biol., 68, 187, 1972.
5. Goldberg W. E. J. Mol. Biol., 46, 441, 1969.
3. Kirschner K., Bisswanger H. Ann. Rev. Biochem., 45, 143, 1976.

ა-ქიმოტრიპსინის კალორიმეტრიული გამოკვლევა

ვ. გერაშემოვი, მ. მახარაძე, ი. მეგრელიშვილი, გ. გეთაშვილი

საქართველოს მეცნიერებათა აკადემიის მოლეკულური ბიოლოგიისა და ბიოლოგიური ფიზიკის ანსტატური, თბილისი

რეზიუმე

კალორიმეტრიული მეთოდით შესწავლით იქნა წინასწარი გახურების გავლენა α -ქიმოტრიპსინის სითბურ დენატურაციაზე. ნაჩვენებია, რომ წინასწარი გახურები

ბის ტემპერატურა ცილის დენატურაციაზე ახდენს გავლენას მაშინ, როდესაც იგი უახლოვდება α -ქიმოტრიპსინის ლობის ტემპერატურას.

THE CALORIMETRIC INVESTIGATION OF α -CHYMOTRYPSIN

V. GERASIMOV, M. MAKHARADZE, I. MEGRELIASHVILI,
G. GETASHVILI

Institute of Molecular Biology and Biological Physics,
Georgian Academy of Sciences, Tbilisi

Summary

The effect of preheating on the α -chymotrypsin thermal denaturation was studied by scanning calorimetry. It has been shown, that preheating effects are

much more expressed at temperatures near the melting temperature of α -chymotrypsin. Analysis of the mechanism of protein heat denaturation has been carried out.

577.23:612.015/127:616—099

მოლიკულური პიოლოგია

658-ის სხვადასხვა ცრაკვითის მეტაბოლიზის გავლინა
ძარღილობითი ცილის სინთეზის L-თიროკანფილი
ტორმის დროს

6. ვარაზანაზოლი

საქართველოს ფანმრთელობის დაცვის და სოცებულებულოფის სამინისტროს
რესპუბლიკური სამეცნიერო-კულტურული სამედიცინო ბიოფიზიკის ცენტრი, თბილისი

შემოსულია რედაქციაში 07.09.90

ჩადიოთისოროპური მეთოდებით შესწავლის იქნა რიბონუკლეინის მეცნიერების (რნბ) სხვადასხვა ფრაქციების გავლენა ცილის სინთეზში პილერთოლულ ზედ-ზე, რომელიც გამოწვევული იყო L-თიროკანფილით.

ღმონისნიდა, რომ L-თიროკანფილი ტრიქსინის დროს სხვადასხვა ფრაქციების ანჯარებული სინთეზი თავის მხრივ იწვევდა ცილის სინთეზის გაძერვებას, რაც გმოსატული იყო კარტომილურის ცილების სხვადასხვა ფრაქციებში [5]. მეთონინის მაღალი ჩართვით, რომელთავან ალსანიშვანი ცილები მოლუკულური მასთ: 139, 119, 101, 98, 95, 68, 65, 58, 50, 45 კილო დალტონი (კლ).

თიროკანდული ჰიტრონების სიკერძე იწვევს პილერთორეონს, რომლის დროს ადგილი აქვთ მეტაბოლური პროცესები დაწარებება, იქნება დამატებითი დაწყირთვა გალაზე, კითარდება პილერთოფია.

გულის პილერთოფიის დროს სტრუქტურული ცვლილებები ხორციელდება ხანგრძლივი დაპლაციის საერთო მექანიზმის საფუძველზე — კერძოდ ნეკლეინის მუცევების და ცილების ბიოსინთეზის გზით. ის შეიცვალებული მექანიზმები, რომლებიც იწვევენ პათოლოგიურ ცვლილებებს, ნაკლებადაა შესწავლილი. ლიტერატურაში ძირითადად გვხვდება მონაცემები, რომლებიც ითვალისწინებენ მაკრომოლეკულების სინთეზის პროცესებს, მაშინ როდესაც ამ პროცესებში მნიშვნელოვანია როლი მიუმღვის აგრეთვე დაშლის რეაქციებს.

თიროკესინის შეყვანით გამოწვეული მიოკარდიუმის პილერთოფია არის კარგი მოდელი ამ პროცესის გამომწვევი მიზეზების შესასწავლად. ადრე ნაჩვენები იყო,

რომ თიროკესინით გამოწვეული პილერთოფიის მიზეზი დამოკიდებულია ცილების სინთეზის როგორც ფრაქციები, ისე აბსოლუტური სიჩქარეების მომატებაზე [6]. ჰიტრონით ინდუცირებული მიოკარდიუმის პასერთოროფიის დროს ცილის დეგრაციის სიჩქარე იცვლება, მაგრამ ყველა შემთხვევაში პილერთოფიის მიზეზი არის ის, რომ ახლად სინთეზირებული ცილის მომატებული სიჩქარე აღემატება დეგრადაციის სიჩქარეს [6].

ნაშრომში შესწავლილია ჰიტრონით ინდუცირებული მიოკარდიუმის პილერთოფიის დროს დაბალმოლეკულური და რიბოსომალური რნმ-ის (რ-რნბ) სინთეზის და დაშლის სიჩქარეების გავლენა კარდიომიოკიტის ცილების ფრაქციულ შემადგენლობაზე.



ცდები ჩატარდა თეთრ მამრ ვირას-გვებზე. ცხოველების თავდაპირველი პარტია დაიყო ორ გვუფად. პირველ გვუფს შეუდგენდა ინტაქტური ცხოველები (ნორმა), ხოლო მეორე გვუფის ცხოველებს უკანა კიდურის კუნთში უკეთდებოდა 150 მკg L-თიროქსინი („რეანალი“, უნგრეთი) ცხოველის სხეულის მასის 100 გ-ზე, ყოველდღიურად 7—30 დღის განმავლობაში.

შველა ცხოველს ეძლეოდა ერთი და იგივე საკვები და იმყოფებოდა ვიგარიუმის ერთი და იგივე პირობებში.

რნმ-ის სხვადასხვა ფრაქციის მეტაბოლიზმს ვასაზღვრავდით [5—³H] ნატრიუმის ოროტატის შეუყვანით in vivo ორივე წგუფის ცხოველებში ერთდროულად. რნმ-ის ნახევარდაშლის სიჩქარეს და ცვლის დროს ვასაზღვრავდით ჩეებს მიერ აღრე აღნიშნული მეთოდით [3].

გულის კუნთის ცილებს ვნიშნავდით კვლევის უაღებები და გათო განხილვა

L-თიროქსინის შეუყვანა 10—30 დღის განმავლობაში იწვევდა გულის კუნთის ჰიპერტონიას, რაც გამოიხატებოდა ცხოველის გულის მასის მომატებით, ნუკლეინის მეტაბოლის შემცველობის გასრდით, როგორც მთელ გულში, ისე გულის ერთეულ მასაზე (ცხრ. 1).

in vivo [³⁵S] მეთონინით (ტრიკლუმინუმი ტიოვობით 27,0 პენტაბენზერელი/მოლტე, „ინოტოპი“ სრუ), რომელიც შეგვყავდა ცხოველებში დაკვლამდე 3 საათით ადრე. ცილების ფრაქციონირებას ვახდენდით გალ-ელექტროფორეზის მეთოდით დოდეცილსულფატის თანაბისას ლემლის მიხედვით [9] და ვლებავდით კუმასი ლურჯით R-250. ცილების სინთეზის ინტენსივობის შესახებ ვმსჯელობდით ფრაქციების რადიოაცტივობის მიხედვით, რომელთაც ვასაზღვრავდით გალ-ელექტროფორეგრამების რადიოაცტოგრაფიირებით. რადიოაცტოგრაფირებას და გალ-ელექტროფორეგრამების სკანირებას ვახდენდით დენსიტომეტრზე („Joyce Loebt“, ინგლისი), რადიოაცტივობას ვითვლიდით სინცილატურ მრიცეველზე „დელტა-300“ („Tracer Europa“, ნიდერლანდები). მონაცემებს ვკითხვავებდით სტატისტიკურად [5].

რნმ-ის სხვადასხვა ტიპების მეტაბოლიზმის შესწოვლის შედეგები მოცემულია 2 ცხრილში, საიდანც სჩანს, რომ L-თიროქსინული ტოქსიკოზის დროს გამური რნმ-ის ნახევარდაშლის სიჩქარე 3-ჯერ მცირდება ნორმისთვის შედარებით, რაც შეეხება რ-რნმის (28S და 18S) მეტაბო-

ცხრილი 1

ცხოველთა ფიზიოლოგიური მაჩენებელები და ნუკლეინის მეტაბოლის
შემცველობა ნორმისა და L-თიროქსინული ტოქსიკოზის დროს

მაჩენებელები	ნორმა n=23	L-თიროქსინულ ტოქსიკოზი n=20	
მასა	სხეულის, გ გულის, გ	222,0±7,0 767±26	194,4±69** 898±31**
მგ/გ	ჭონითი კოეფიციენტი	3,47±0,06	4,67±0,15**
რნმ	გულში, გ ნეფლ. ქსოვ., მგ/გ	1,00—0,06 1,29±0,34	1,28±0,06** 1,43±0,07*
ლნმ	გულში, გ ნეფლ. ქსოვ., მგ/გ	0,61±0,02 0,89±0,03	0,78±0,01** 0,88±0,03***

P — მნიშვნელობები ნორმისთვის შედარებისას

*P<0,05, **P<0,001, ***P<0,01

ლიზმს, ისიც იცვლება იგივე მიმართულებით, როგორც ჯამური რნბ. დაბალმოლეუკლური რნბ-ის ნახევარდამლის სიქმარე და ცვლის დრო L-თიროქსინული ტრქსიკოზის დროს მნიშვნელოვნად მცირეა ნორმასთან შედარებით (ცხრ. 2). შესაბა-

ცილის სინთეზი ისრდება 19%-ით ნორმასთან შედარებით (ცხრ. 3). გვამისამართებელი გლევტროფორეგრამების და რაციონალურად აღმოჩნდა, რომ ცილის სინთეზის გაძლიერება ძირითადად წარმოიქმნას კორ-

ცხრილი 2

ცარცოლაზმური რნბ-ის მუტაბოლიზმი ჰიპერტონიაზე; ბულ მოვარდულში
L-თიროქსინული ტრქსიკოზის დროს

მარკენებელი	ზრდა/ატი	ნორმა n=12	L-თიროქსინული ტრქსიკოზი n=12
ნახევარდამლის სიქმარე (დღ)	ჯამური რნბ ნეცლეობრედები 45S 18S 28S t 1/2 4S/t 1/2 18S t 1/2 4S/t 1/2 28S	731±0,2 4,1±0,0 9,4±0,3 8,6±0,3 7,7±0,2 1,09 1,22	2,2±0,*** 3,6±0,1 5,6±0,2* 3,1±0,1** 4,2±0,2* 1,80 1,29
ცვლის სიქმარე (დღ)	ჯამური რნბ ნეცლეობრედები 4S 18S 28S	10,3±0,2 6,2±0,2 13,5±0,4 12,4±0,3 11,1±0,2	3,2±0,2*** 5,2±0,1 8,1±0,2* 5,4±0,1** 5,9±0,2*
ნიშანდოლილი ატომების ყრაველური ურანიკორები % დანაკარგვები	ჯამური რნბ ნეცლეობრედები 4S 18S 28S	9,7 16,2 7,4 8,0 9,0	31,2*** 19,4 12,3* 18,5** 16,6*

P — მნიშვნელობები ნორმასთან შედარებისას

*P<0,001, **P<0,01, ***P<0,02

მისად იცვლება ცვლის დრო და ყოველდღიური პროცენტული დანაკარგი რნბ-ის სხვადასხვა ფრაქციისათვის (იგივე ცხრილი).

ჰიბრიდიზაციის მეთოდის გამოყენებით აღდრე ჩვენს მიერ [2] ნაჩვენები იყო, რომ L-თიროქსინული ტრქსიკოზის დროს ხდებოდა რნბ-ის სხვადასხვა ფრაქციების სინთეზის მომატება.

იმისათვის, რომ გამოგვევლია თირეოდის სიკოზის დროს რნბ-ის ფრაქციული შემადგენლობის ცვლილება იწვევდა თუ არა კარლიომიოკიტის გარევეული ცოლების სინთეზის ცვლილებას, ჩვენს მიერ შესწავლი იქნა მიოკარდიომის ცილების ფრაქციული შემადგენლობა და სინთეზი (ცხრ. 3).

აღმართნდა, რომ გულის კუნთის ჰიპერტონიის განვითარებისას, რომელიც გამოწვეული იყო L-თიროქსინის ინჟექციით,

დინირებულად; იმატებს უმეტესი ცილების სინთეზი, რომელთაგანაც გამოიჩინევა 10 ფრაქცია, ესენია ცილები მოლეკულური მასით 139, 119, 101, 98, 95, 68, 65, 58, 50, 45 კდ.

უკრედში ცილის სინთეზზე თირეოდღული ჰიპომონების გავლენა პირველად დემონსტრირებული იყო ტატა-ს მიერ [12, 13], რომელმაც აჩვენა, რომ ცილის სინთეზის მომატებას მიკროსომებში წინ უსწრებდა რნბ-პოლიმერაზული აქტიობის გაძლიერება ლიპიდის ბირთვებში [13].

თირეოდღული ჰიპომონებისათვის მცრავ ლატენტური პერიოდი (6 სთ) აღინიშნებოდა სწრაფულადი ბირთვული ი-რნბ-ისათვის [14].

დაღიოიზოტოპური მეთოდით დადგინდა, რომ ნიშანდებული რნბ-ის ძირითად მასას შეადგენდა რ-რნბ. ცხოველებს, რომელთაც ამოკვეთილი ჰქონდათ ფარი-

ნიშანდებული მეთოლინის [TS] სირთვა გულის კუნთის ცილებში რადიოავტორანგაფენტ რიცხვები
დემისტრებრივის მონაცემების შეხედით

ფრაქცია, ცილის მოლექ. მასა (კი- ლო დალტონი)	რადიოავტორანგაფის სიმკერივე		ფრაქცია, ცილის მოლექ. მასა (კი- ლო ტონის ინტენსივური)	რადიოავტორანგაფის სიმკერივე	
	ნორმა	L-თიროზინუ- ლი ტონის ინტენსივური		ნორმა	L-თიროზინუ- ლი ტონის ინტენსივური
ჭამერი ცილი 200	12999, ±401	15469±872*	79	52,0±14,3	47,4±14,5
197	97,3±13,7	97,2± 9,8	76	59,7±15,1	40,4±12,6
187	40,5± 4,5	40,7± 4,5	73	25,3±10,2	29,0± 7,4
183	32,8± 8,3	25,9± 6,3	71	9,9± 4,4	12,8± 4,3
177	30,0± 7,2	30,6± 9,7	68	10,3± 3,0	27,8± 10,1*
171	20,2± 6,9	31,0±10,2	65	30,8± 5,2	15,5± 3,8*
165	19,5±12,9	17,1± 5,2	63	30,5± 6,1	44,6±10,8
159	19,8± 6,3	16,2± 6,3	60	31,4± 7,9	48,2±10,2
152	17,4± 9,5	9,3± 3,5	58	19,8± 6,2	40,3± 5,9*
152	4,7± 3,1	4,6± 1,9	56	31,6± 6,4	41,2± 6,3
139	4,9± 2,8	12,2± 4,2*	50	20,5± 9,1	44,7± 6,4*
136	10,9± 2,4	13,5± 4,4	48	18,2± 3,3	19,8± 7,3
129	26,7± 9,3	16,2± 4,6	46	13,2± 3,2	24,0± 4,8
125	19,4± 5,7	18,9± 4,6	45	2,7± 2,5	27,0± 2,6*
122	13,3± 6,9	16,9± 9,7	43	74,8±13,2	93,9±1192
119	18,5± 7,7	32,2± 9,7*	41	27,9±14,6	38,6±11,3
115	36,5± 6,8	27,1± 6,3	39	47,8± 8,6	49,4± 7,3
112	26,3± 7,2	25,8±697	37	24,1± 6,5	27,5± 6,4
109	17,8± 5,8	23,0± 5,2	36	18,6± 4,4	25,7± 4,7
106	20,3± 4,6	13,6± 6,0	34	9,2± 3,5	10,3± 5,6
104	35,1±14,3	31,7± 9,5	32	29,4± 5,6	34,8± 4,9
101	54,2±24,6	26,4± 6,7*	30	27,0± 8,2	29,7± 7,1
98	24,8±10,1	65,4±34,1*	28	27,6± 9,1	31,3± 4,5
95	18,3± 6,9	31,7± 4,5*	27	10,1± 5,8	18,4± 4,2
89	14,1± 4,9	19,0± 4,8	25	115± 1,4	3,5± 1,8
88	13,6± 5,8	20,2± 4,3			
85	15,0± 3,2	19,2± 4,8			
82	11,3± 3,4	24,8±11,9			

* P<0,02 პირველობა ნორმასთან შედარებისას

სებური ჭირვალი, თიროქსინის შევყანიდან 10—12 საათის შემდეგ აღნიშნებოდათ რ-რნ-ის სინთეზის მომატება, რომელიც თავის მაქსიმუმს ღლშევდა 6 საათის შემდეგ, ამ პროცესს თან ახლდა იმ რნ-ცოლიმერაზას გააქტივება, რომელიც პასუხისმგებელია რ-რნ-ის სინთეზე (Mg²⁺-თ აქტივირებული) [14].

ასებობს ექსპრიმენტული მონაცემები, რომლებიც მიუთითებენ ტრანსპორტული რნ-ის სინთეზის გააქტივებაზე თიროქსინით ინექციის შემდეგ ლვიძლის ფურეობში [15]. აღმოჩნდა, რომ ამ დროს ორგანიზმი მნიშვნელოვნად იცვლებოდა ტრანსპორტული რნ-ის იზოაქცეპტორული შემაღებულობა [15].

ჩვენს მიერ დღე [4] ნაჩვენები იყო, რომ თირეოიდული პათოლოგიის დროს ქრომატინის მატრიცული აქტიობა ეგზო-

თერმული-რნ-ცოლიმერაზა III-ის მიმართ მნიშვნელოვნად იცვლებოდა, ხოლო რნ-ცოლიმერაზა I-ის მიმართ, რომელიც უცილებელია რ-რნ-ის სინთეზისათვის, ამ იცვლებოდა [4]. საინტერესოა თვით ის ფაქტიც, რომ პიპოთირეოზის დროსაც კი დაბალმოლებულური რნ-ი აჩქარებულად იცვლება ნორმასთან შედარებით [3]. დაბალმოლებულური რნ-ის აჩქარებული ცვლა ორგანიზმში თირეოიდული ცორმონების დარღვევისას დამტეტრულად განსხვავებულია პათოლოგიის დროს დაცილის სინთეზის ცვლილება, როგორც წევნ ვფიქრობთ, ასახავს ორგანიზმის რეაქციის ფუნდამენტურ მექანიზმს ჰომეოსტაზის დარღვევისას და მოითხოვს მის შემდგომ შესწავლას.

ამრიგად, ტრანსკრინფიციის გააქტივრებას თირეოტონქსიკოზის დროს ნაწი-

лоподрив з місця ваги та тільки суперінформація про розміщення ваги відповідає даним датчиками.

Таким чином, залежність між функцією та фізичними параметрами ваги відповідає даним датчиками. Але вимірювання ваги та фізичні параметри ваги залежать від функції та фізичних параметрів ваги. Тому залежність між функцією та фізичними параметрами ваги відповідає даним датчиками.

Скоріше всього, залежність між функцією та фізичними параметрами ваги відповідає даним датчиками. Але вимірювання ваги та фізичні параметри ваги залежать від функції та фізичних параметрів ваги. Тому залежність між функцією та фізичними параметрами ваги відповідає даним датчиками.

Скоріше всього, залежність між функцією та фізичними параметрами ваги відповідає даним датчиками. Але вимірювання ваги та фізичні параметри ваги залежать від функції та фізичних параметрів ваги. Тому залежність між функцією та фізичними параметрами ваги відповідає даним датчиками.

Скоріше всього, залежність між функцією та фізичними параметрами ваги відповідає даним датчиками.

Скоріше всього, залежність між функцією та фізичними параметрами ваги відповідає даним датчиками.

Скоріше всього, залежність між функцією та фізичними параметрами ваги відповідає даним датчиками.

Скоріше всього, залежність між функцією та фізичними параметрами ваги відповідає даним датчиками.

Скоріше всього, залежність між функцією та фізичними параметрами ваги відповідає даним датчиками.

Скоріше всього, залежність між функцією та фізичними параметрами ваги відповідає даним датчиками.

Скоріше всього, залежність між функцією та фізичними параметрами ваги відповідає даним датчиками.

Скоріше всього, залежність між функцією та фізичними параметрами ваги відповідає даним датчиками.

Скоріше всього, залежність між функцією та фізичними параметрами ваги відповідає даним датчиками.

Скоріше всього, залежність між функцією та фізичними параметрами ваги відповідає даним датчиками.

Скоріше всього, залежність між функцією та фізичними параметрами ваги відповідає даним датчиками.

Скоріше всього, залежність між функцією та фізичними параметрами ваги відповідає даним датчиками.

Скоріше всього, залежність між функцією та фізичними параметрами ваги відповідає даним датчиками.

Скоріше всього, залежність між функцією та фізичними параметрами ваги відповідає даним датчиками.

Скоріше всього, залежність між функцією та фізичними параметрами ваги відповідає даним датчиками.

Скоріше всього, залежність між функцією та фізичними параметрами ваги відповідає даним датчиками.

Скоріше всього, залежність між функцією та фізичними параметрами ваги відповідає даним датчиками.

Скоріше всього, залежність між функцією та фізичними параметрами ваги відповідає даним датчиками.

Скоріше всього, залежність між функцією та фізичними параметрами ваги відповідає даним датчиками.

Скоріше всього, залежність між функцією та фізичними параметрами ваги відповідає даним датчиками.

Скоріше всього, залежність між функцією та фізичними параметрами ваги відповідає даним датчиками.

Скоріше всього, залежність між функцією та фізичними параметрами ваги відповідає даним датчиками.

Скоріше всього, залежність між функцією та фізичними параметрами ваги відповідає даним датчиками.

Скоріше всього, залежність між функцією та фізичними параметрами ваги відповідає даним датчиками.

Скоріше всього, залежність між функцією та фізичними параметрами ваги відповідає даним датчиками.

ЛИТЕРАТУРА

- Бекман Э. М., Денисенко М. Ф., Григорьев М. Ю., Арион В. Я. Мол. биол., 20, 527—535, 1986.
- Варазанашвили Н. А., Джагаров Д. Э. В сб.: Современные вопросы кардиологии, Тбилиси, 1986.
- Карсанов Н. В., Варазанашвили Н. А., Джагаров Д. Э. Изв. АН ГССР, сер. биол., 15, 3, 350—356, 1989.
- Карсанов Н. В., Смоленская Л. И., Джагаров Д. Э., Варазанашвили Н. А. Укр. биохим. ж., 58, 8—15, 1986.
- Рокицкий П. Ф. Биологическая статистика, „Высшая школа“, Минск, 1973.
- Coleman S. P., Rattner S. M., Lesch M. C., Samarel M. A. J. Mol. Cell. Cardiol., 21, 911—925, 1989.
- Dahlberg A. E. Cell, 57, 525—529, 1989.
- Kawata Y., Fuhwara H., Ishikawa H. Comp. Biochem. Physiol., 91B, 149 — 153, 1988.
- Laemli U. F. Nature, 227, 680 — 685, 1970.
- Nayer De P. Hormone Res., 26, 48 — 57, 1987.
- Oppenheimer J. H. Science, 203, 971— 979, 1979.
- Tata J. P., Ernsten L., Ingbärg O. Biochem. J., 86, 408—412, 1963.
- Tata J. P., Ernsten L., Syranyi E. Biochim. Biophys. Acta, 60, 480 — 491, 1963.
- Tata J. P., Widnell C. C. Biochem. J., 98, 604—620, 1966.
- Yang S. S. J. Biol. Chem., 244, 1081 — 1086, 1969.

ВЛИЯНИЕ МЕТАБОЛИЗМА РАЗНЫХ ФРАКЦИЙ РНК КАРДИОМИОЦИТА НА СИНТЕЗ БЕЛКА ПРИ L-ТИРОКСИНОВОМ ТОКСИКОЗЕ



Н. А. Варазанашвили

Республиканский научно-исследовательский центр медицинской биофизики Министерства здравоохранения и соцобеспечения Республики Грузия, Тбилиси

Резюме

Исследован синтез разных фракций белка в сердце крысы с тироксиновым токсикозом, который вызывался внутримышечными инъекциями L-тиroxина (150 мкг/100 г) на протяжении 10—30 дней. Белки сердечной мышцы метили *in vivo* [³⁵S]-метионином.

Изучено также влияние метаболизма разных фракций РНК на синтез белка.

Показано, что при L-тирохиновом токсикозе повышение скорости метаболизма

разных фракций РНК способствует активации синтеза белка, что выражается в повышении включения [³⁵S]-метионина в разные фракции белка кардиомиоцита, из которых можно отметить белки с молекулярной массой 139, 119, 101, 98, 95, 68, 65, 58, 50, 45 кД.

Полученные данные могут способствовать выяснению причин возникновения гипертрофии, индуцированной гормоном.

THE INFLUENCE OF METABOLISM OF DIFFERENT RNA FRACTIONS OF CARDIOMYOCYTE ON THE PROTEIN SYNTHESIS IN L-THYROXINE TOXICOSIS

N. VARAZANASHVILI

Republican Research Centre of Medical Biophysics Georgian Ministry
of Health and Social Maintenance, Tbilisi

Summary

The synthesis of different protein fractions in hypertrophied rat heart induced by intravenous injections of L-thyroxine (150 g/100g a day) for 10—30 days was studied. Heart muscle proteins were labelled *in vivo* by [³⁵S]-methionine. The influence of metabolism of different RNA fractions on protein synthesis was also investigated.

It has been found that in L-thyroxine toxicosis the metabolic rate increase

in different RNA fractions promotes protein synthesis activation that is expressed by high inclusion of [³⁵S]-methionine in different protein fractions of cardiomyocyte from which the proteins with molecular weight of 139, 119, 101, 98, 94, 65, 58, 50 and 45 KD could be pointed out.

The obtained data can be used in revealing the reasons of hormone-induced heart hyperthropy.

საიურადო თარიღები



არაფიქტური ცლადის ასათიანი

(დაბადებიდან 90 წლისთავისათვის)

გამოჩენილმა ქართველმა მეცნიერმა, მსოფლიოში სახელგანთქმულმა ბიო-კიმიოსმა, საქართველოს მეცნიერებათა აკადემიის აკადემიკოსმა, მეცნიერებას დამსახურებულმა მოღვაწემ პროფესორმ ვლადიმერ ასათიანმა ფასდაუდებელი წელილი შეიტანა ჩეცნს რესპუბლიკში ბიოლოგიისა და ორგანული ქიმიის მთელი რიგი დაწესების ჩამოყალიბებასა და განვითარებაში.

ბატონი ვლადიმერ სამხონის ძე ასათიანი დაბადი 1901 წელს ქ. ფერგანაში (მაშინდელ სკობელევი) ცნობილი სამხედრო ინჟინრის ოჯახში. 1918 წ. წარმატებით დამთავრი თბილისის ვაკთა გიმნაზია, ხოლო 1923 წელს ქ. პეტრუჭის (იტალია) სამეცნ უმაღლესი ექსპერიმენტული აგრძელის ინსტიტუტი. 1923-25 წლებში სპეციალიზაციის გადიოდა ბიოქიმიასა და ორგანულ ქიმიაში პარიზის, სტრაბურგის, შარლოტენბურგის უნივერსიტეტებში.

უცხოეთში ყოფნის პერიოდში ვ. ასათიანი კითხულობდა ლექციებს პარიზის და ბერლინის უნივერსიტეტებში. ქერქ კიდევ სრულიად ახალგაზრდა მეცნიერი საფრანგეთის ბიოქიმიკოსთა საზოგადოების წევრად აირჩიეს. 1924 წელს პეტრე მელიქიშვილის წარდგინებით ვ. ასათიანი დაუსწრებლად თბილისის სახელმწიფო უნივერსიტეტის ორგანული და ფიზიოლოგიური ქიმიის კათედრის ასისტენტად იქნა ოჩეული. 1925 წელს იგი სამშობლოში დაბრუნდა და თავისი მოვალეობის შესრულებას შეუდგა. სამედიცინო ინსტიტუტის ჩამოყალიბებისთანავე ბატონი ვლადიმერი ორგანული და ბიოლოგიური ქიმიის კათედრების პროფესორი, ხოლო შემდეგ სიცოცხლის უკანასკნელ დღემდე ორგანული და სასამართლო ქიმიის კათედრის გამგე ბრძანდებოდა.

მრავალმხრივი იყო ვ. სათიანის მეცნიერული მოღვაწეობა. პილარიშვილი მისი როლი საქართველოში ჩაის მრეწველობის დაფუძნების საქმეში. კატეტელი ვლადიმერი ანსაულის ჩაისა და სუბტროპიკული კულტურების სამეცნიერო კულტების ინსტიტუტის დაარსების ერთ-ერთი თრგანიზაციის და დირექტორის მოადგილე ბრძანდებოდა. 1937—1939 წლებში ტუბერკულოზის ინსტიტუტის ხელმძღვანელობდა.

ვ. სათიანი არმოცა წლის მანძილზე მეტად ნაყოფიერად მოღვაწეობდა საქართველოს მეცნიერებათა აკადემიის ი. ქუთათლაძის სახელობის ფარმაკოგიმიის ინსტიტუტში, ჯერ იყო დირექტორის მოადგილე სამეცნიერო დარგში, ხოლო 1964 წლიდან გარდაცვალებამდე ინსტიტუტის დირექტორი.

ვ. სათიანის ღრმა ცოდნაში, შეუდარებელმა მეცნიერულმა ალომ განაპარობა მთელი რიგი მეცნიერული მიმართულების შექმნა და უმნიშვნელოვანესი შედეგების მოპოვება.

ვ. სათიანი ბიოქიმიური ფარმაკოლოგის და სამედიცინო ფერმენტოლოგის ფუქსემდებელია საქართველოში. იგი ითვლება მთის კლიმატის ბიოქიმიის და ტუბერკულოზის პათოგიმიის დამაარსებლად. მს დარგში შესრულებულ შესანიშნავ შრომებს უდიდესი მნიშვნელობა ენიჭება მთის პირობებში ჯანმრთელი ან ავადმყოფი ორგანიზმის ფუნქციონირების და პორტტშენების წერთნისა და რაციონალური კვების რეკომენდაციაში.

უმნიშვნელოვანესი მეცნიერული კვლევები ჩაატარა ვ. სათიანმა პორტტშენებისა და ფერმენტების როლს დასადგენდ მთის კლიმატის პირობებში ფიზიკური დატვირთვისა და სხვადასხვა პათოლოგიის დროს ნახშარწყლების, ცხიმების, ცილების, მინერალური მარილების ცვლის თავისებურების შესასწავლად. ვ. სათიანის შრომებმა ბიოქიმიურ ფარმაკოლოგიაში შესაძლებელი გახდა და რიგი საქართველოს სამუალებების მოქმედების ნატიფი მექანიზმის ასწანა.

დიდია ვ. სათიანის დამსახურება შედარებითი ბიოქიმიის სფერიში. მისი მონოგრაფია „ადამიანისა და მაიმუნის შედარებითი ბიოქიმია“ 1961 წელს მიერიყის შეერთებულ შტატებში გამოიცა.

ვ. სათიანის მოღვაწეობის ერთ-ერთი ძირითად მიმართულებას ანალიზური ბიოქიმია წარმოადგენდა. ამ საქმეს მიუძღვნა მან მრავალრიცხოვნი მონოგრაფია და სახელმძღვანელო, რამც მეცნიერს ფართო აღიარება მოუტანა როგორც ჩვენში, ისე უცხოეთში. ვ. სათიანის შრომები „ბიოქიმიური ანალიზი“, „ბიოქიმიური ფოტომეტრია“, „ბიოქიმიური ფოტომეტრიის ახალი მეთოდები“ სამაგიდო წიგნებისა ცვერობის ქვეყნების ბიოქიმიკოსებისათვის. მონოგრაფია „ბიოლოგიური მასალის ფერმენტული ანალიზი“ რუმინეთში გამოიცა. 1969 წელს გამოქვეყნებული წიგნისათვის „ანალიზის ფერმენტული მეთოდები“ ვ. სათიანის პ. მელიქიშვილის სახელობის პრემია მიენიჭა.

ლენინსტილი მეცნიერის ვ. სათიანის კალამს კუთვნის 185 მეცნიერული შრომა, მათ შორის 35 მონოგრაფია, 20 სამეცნიერო პოპულარული წიგნი უაბროშურა. ვ. სათიანი მეცნიერების უბრწყინვალესი პროპაგანდისტი და პოპულარიზატორი, უბადლო პედაგოგი და ახალგაზრდა მეცნიერთა საუცხოო ილ-შტრდელი ბრძანდებოდა. მის შთამბეჭდვა ლექციებშე, მრავალრიცხოვნა მონოგრაფიებშე და სახელმძღვანელოებშე ექმითა, პროექტორთა, ქიმიკოსთა, ბიოლოგთა მრავალი თაობა აღიზარდა. ვ. სათიანის ხელმძღვანელობით მომზადდა 80 მეცნიერებათა დოკტორი და კანდიდატი.

ვ. სათიანი იყო საქართველოს ბიოქიმიკოსა საზოგადოების ერთ-ერთი დამაარსებელი და თავმჯდომარე. საქართველოს ჯანმრთელობის დაცვის სამინისტროს ფარმაკოლოგიური კომისიის თავმჯდომარე, ქართული ენციკლოპედიის და დიდი სამედიცინო ენციკლოპედიის მთავარი სარედაქტო კოლეგიის წევრი.



ბატონი ვლადიმერი — თვალსაჩინო მეცნიერი და საზოგადო მოღვაწე, საქართველოს მგზნებარე პატრიოტი, ენციკლოპედიური განათლების, უდიდესობრივი ერუდიციისა და დაუშრეტელი ენერგიის მქონე პიროვნება, არაჩეულებრივი მეცნიერებისა და დიდებული უბრალოებით ხასიათდებოდა. უსაზღვრო იყო მისი სულისა და გონების სიუხვე.

აკადემიკოსი ვლადიმერ ასათაძი 1971 წლის 9 მარტს გარდაიცვალა.

სასიქადულო მამულიშვილმა, დიდმა მეცნიერმა, მოქალაქემ, აღმზრდელმა, მოაზროვნემ, განუმეორებელმა ქართველმა ინტელიგენტმა უდიდესი ავტორი-ტერი და სიყვარული მოიპოვა მოწაფეების, კოლეგების, ფართო საზოგადოებას შორის და ჭეშმარიტად ღირსეული კვალი დატოვა თავისი ერთს ისტორიაში.

საქართველოს მეცნიერებათა
აკადემიის წევრ-კორესპონდენტი

ი. გეგერტიელიძე

ეპილეფსიის სამრთაშორისო ბიურო
(0 ს ბ)

ე ს ბ-ს ყველა ფილიალს
ჰემსტედი, 31 მაისი, 1990

ძვირფასო მეგობრებო,

1985 წელს ეპილეფსიის საერთაშორისო ბიუროსთან შეიქმნა პირველი შრომის მოწყობის კომისია, კომისიის ერთ-ერთი ამოცანა იყო „მეწარმეთათვის საქმის სწორი წარმართვის პრინციპების“ შემუშავება. ეს „პრინციპები“ ოფიციალურად იქნა მიღებული როგორც ეპილეფსიის საერთაშორისო ბიუროს (ქსბ), ისე ეპილეფსიის ჭინაღმდევ საერთაშორისო ლეგის (ILAE) მიერ. მსოფლიოს ჯანმრთელობის დაცვის ორგანიზაციამ (WHO), შრომისა საერთაშორისო ორგანიზაციამ (ILO) და საერთაშორისო რეაბილიტაციის დადგენიად შეაფასა ეს ნაშრომი. ამ უკანასკნელმა მისი ოფიციალური დამტკიცების საკითხი თვის ბოლოსათვის გადადო. ნაშრომი გამოვლენდა „International Epilepsy News“-ში (ქსბ-ს ოფიციალურ საინფორმაციო ბიულეტენში) და „Epilepsia“ (ILAE-ს ოფიციალურ ჟურნალში).

ესბ-ს მიერ ახლად შექმნილ შრომის მოწყობის II კომისიის სურს, კიდევ უფრო ფართოდ დანერგოს „საფუძვლები“ და ამიტომ მოგიწოდებთ, გადათარგმნოთ იგი თქვენს შშობლიურ ენაში და გამოაქვეყნოთ თქვენს ეროვნულ ჟურნალში. კიდევ უფრო მოხარული ვიქნებით, თუ გამოვგიგზავნით თქვენი უურნალის ერთ ევგენიკურ თარგმანითურთ ჰყებსტედში, ემს-ს დაწესებულებაში.

ვასული წლის პრილს, ირლანდიის დედაქალაქ დუბლინში, II კომისიის პირ-

ველ შეკრებაზე დაისახა მომავალი წლის სამოქმედო გეგმა (კომისიის მოქმედების ვადა). სიაში დიდი უპირატესობა მიანიჭეს ისეთ პიროვნებას, რომელიც ცნობილი იყო შრომის მოწყობისა და ეპილეფსიის სფეროში საკუთარ ქვეყანაში, ესბ-ს ფილიალში და სხვა ქვეყნებში, სადაც ხალხი დაინტერესებულია ამ საკითხით.

ჩვენი თხოვნა იქნება, გვაცნობოთ ასეთი პიროვნების ვინაობა თქვენს ქვეყანაში. მისი დახმარებით შევეცდებით დავამყაროთ საქმიანი ურთიერთობა რაც შეიძლება მეტ ფილიალთან.

ვიმედონებთ აგრეთვე, უახლოეს მომავალში, ყველა ამ საკონტაქტო პიროვნების მონაწილეობით მოვაწყოთ სასწავლო სემინარი.

თუ გაინტერესებთ შრომის მოწყობის 1 კომისიის საქმიანობა, შეგიძლიათ იხილოთ IE News № 98. ცნობები ჩვენი მომავალი საქმიანობის შესახებ გამოვლენდება Newsletter-ის შემდეგ ნორჩებში. თუ გსურთ რაიმე განსაკუთრებული ინფორმაციის მიღება, შეგიძლიათ პირადად დამიკავშირდეთ ესბ-ს დაწესებულებაში.

იმედია, გამოვლენაში და მოგვწერთ საკუთარ მოსაზრებებს იმ ორ წინადაღებაზე, ჩვენ რომ შემოვთავაზეთ.

წერილები შეგიძლიათ გამოგზავნოთ შემდეგი მისამართით:

Hanneke de Baer
IBE, P. O. Box 21
2100 AA Heemstede, the
Netherlands

პატივისცემით,
პანეპ დე ბიერი,
შრომის მოწყობის კომისიის მდივანი.

ეპილეფსიის საერთაშორისო ბიუროს
(ესბ) შრომითი მოწყობის კომისია

ეპილეფსიის დავადებულ სამუშაო
ასაკის პირთა უმეტესობას მთელ მსოფ-
ლიოში მატერიალური უზრუნველყოფა-
სათვის რამე სპეციალური დახმარება არ
ესაჭიროებათ, თუმცა ზოგჯერ ეპილეფ-
სით დაავადებული დიდ სიძნელეებს
აწყდებიან სამუშაოს შორისა და შენარ-
ჩენების საქმეში. ამ სტატიის მიზანია
შრომის მოწყობის სფეროში უმთავრესი
და მრავალნაცადი პრინციპების დანერგვა,
და ამდენად, ეპილეფსიით დაავადებულთა
შრომითი მოწყობის გააღვილება. ნების-
მიერი საერთაშორისო პრინციპი თანაბ-
რად მისალები უნდა იყოს იმ ქვეყნების-
თვისაც, სადაც საყოველთაო სამედიცინო
და სოცილური მომსახურება ხელმისაწ-
ვდომია, და იმათთვისაც, სადაც მსგავსი
სამსახურები ნაკლებადაა განვითარებული,
ან სადაც ისინი ჯერჯერობით საერთოდ
არ არსებობს.

ଓম ৩ৰিন্দ্ৰিয়েৰৰ শ্ৰেষ্ঠত্বাঙ্গী দণ্ডি
ৰূপলো তাৰামুৰ্তি গুৰু-ৰ শ্ৰেষ্ঠত্বাঙ্গী মুকুটৰূপৰ দণ্ডি
ৰূপলো তাৰামুৰ্তি গুৰু-ৰ শ্ৰেষ্ঠত্বাঙ্গী ১৯৮৬ শ্ৰেষ্ঠত্বাঙ্গী
১৯৮৬ শ্ৰেষ্ঠত্বাঙ্গী ১৯৮৬

ამოსავალი ადგიოგები

შრომის მოწყობის პრინციპების ჩამოყალიბებისას შრომის მოწყობის კომისია თვალისწინებს ამდენიმე ქსიომას, რომელიც ეხება შრომისუნარმოკლებელ პირთა უფლებების დაცვას, ეპილეფსიასა და მის ყოველმხრივ კონტროლს. ეს ქსიომებია:

1. ეპილეფსია არის თავის ტენინის ფიზიკური მდგრადრება, როდესაც დავადებულ ინდივიდს აქვთ მიღრებილება განმეორებადი კრუნჩხევებისადმი, რაც შეიძლება გამომეუავნებეს სხვდასხვა ფორმით, მნიშვნელოვნად განსხვავებული სისტერით და სიძლიერით.
 2. უმეტეს შემთხვევაში, კრუნჩხევები მთლიანად რეგულირებადია სათანადო ორგანიზმის გამოყენებით, რასაც შეიძლება დასჭირდეს ანტიკილებური ნივთიერებებით მკურნალობა და კრისილისტმი.

და ჰილანდის სიმპაზიუმშე ინგლისის
ქალაქ იორკში. კომისიის წევრები არიან:
პანკე დე ბოერი, ნიდერლანდები (თავ-
მჯდომარე); რობერტ ფრაიზერი, აშშ; ჭო-
ლიონ რქსლი, შეერთებული სამეფო.
ბირთ ჰედვიგენი, დანია; კიის პეტერი, ნი-
დერლანდები; რუპრეხტ თორბეკი, გრ-
ძინია.

კომისიის შემდგომი სხდომები შედგა სიერლა და ვაშინგტონში, აშშ (1986 წ. ნოემბერი); ჰერმსტედში, ნიდერლანდები (1987 წ. მაისი); იერუსალიმში, ისრაელი (1987 წ. სექტემბერი); რომში, იტალია (1988 წ. აპრილი) და ნიდერლანდებში (1988 წ. სექტემბერი).

იორქში გადაწყვდა შრომის მოწყობის თაობაზე სემინარის მოწევევა ეპილეფსის მე-17 სერთაშორისო კონგრესის დროს იურუსალიმში (ისრაელი), 1987 წლის სექტემბერში. ამ სემინარის („ეპილეფსია და შრომის მოწყობა“) მასალები, გამოცემული ჰანდეკ დე ბოერისა და ჭოლიონ აუსლის რედაქციით, შეგიძლიათ შეიძინოთ 5 ამერიკულ დოლარად ეპილეფსის საერთაშორისო ბიოროს თახმარიბით.

3. ეპილეფსიის დაგანონბება ან კრუნჩხევების არსებობაზ არ უნდა გამოიწვიოს პიროვნების სამსახურიდან დათხოვნა.

4. თუ იშვიათად, ზოგიერთი ტპის საქმიანობა მოითხოვს გარევაულ შეზღუდვებს, მაშინ გადაწყვეტილება უნდა ეყიარებოდეს რაგორც შეჩერებული სამუშაოს მოხხოვნების სამრათლიან ინდივიდუალურ აალიზს, ისე იმ პიროვნების შესწავლას, რომელიც ეპილეფსით არის დაავადებული. წინააღმდეგ შემთხვევაში ასეთი შეხელდები დისკრიმინაციად ჩაითვლება.

5. ყოველი ეპილეფსით დაავადებული პირისათვის თანაბრად ხელმისაწვდომობა უნდა იყოს ჯანდაცვის, რეაბილიტაციისა და პროფესიულ პროფესიებში მონაწილეობის საშუალებები, აგრეთვე სოცურსუნგელუფის სამსახური, რათა მან მაქსიმალურა კონტროლი ავტომობილის და



ვადებას და რაც შეიძლება მეტი შესაძლებლობა გაუჩინდეს სამსახურის შოგნისა. 6. ეპილეფსიით დავადებული უნდა სარ-

გებლობდნენ სამუშაოს ძებნეს. შეუწყისია და მუშაობის იგვენ უფლებულებელად ეჭვი სხვა მუშაკებს.

ჩაილაციით დაგადამზღვა უროვის მოწყობის ძირითადი არიციავა

ამ პრინციპების ჩამოყალიბებისას ჩერენ გავითვალისწინეთ 4 ძირითადი სფერო. ესენია:

ჯანმრთელობის დაცვა

ჯანმრთელობის დაცვა

ცნობილია, რომ ეპილეფსური კრუნჩების კარგი კონტროლი, სამუშაოში დახელოვნება, აგრეთვე ეპილეფსიისადმი დადგებითი შეცვება — ის ძირითადი ფაქტორებია, რომლებიც მეტ-ნაკლებად განაპირობებენ დავადებული პიროვნების სამსახურში მოწყობას.

მოსამსახურის ან სამუშაოს დაწყების მსურველის შეფასებისას დამტირავებელმა უნდა იცოდეს ზოგიერთი ძირითადი ფაქტი ეპილეფსიისა და სამუშაოს შესრულებაზე მისი გავლენის შესახებ. ქვევით მოყვანილია ძირითადი გასათვალისწინებელი პუნქტები:

— კრუნჩები შეიძლება გამოვლინდეს სხვადასხვა ფორმით; ზოგს ცხოვრებაში მხოლოდ ერთხელ შეიძლება კრუნჩება დაემართოს. ასეთ შემთხვევაში ეპილეფსიის დიაგნოზი არ დაისმება.

— როდესაც ადამიანს კრუნჩებები პირველად ემართება, მან შეიძლება საუთარი თავისადმი ჩწმენა დაკარგოს და დასჭირდეს ფსიქოლოგიური მხარდაჭერა, ასევე ეპილეფსიის შესახებ ცოდნის მიღება.

— უმეტეს შემთხვევაში განმეორებად კრუნჩებებს შეიძლება კონტროლი გაუწიოს შესაბამისი თერაპიის საშუალებით. ეს, როგორც წესი, არის მუჭრანალიბა ან-ტიეპილებტური წამლებით, რომელთა მიღება საკირა რეგულარულად, ხშირად რამდენიმე წლის განმავლობაში.

— ანტიეპილებტურმა ნოთიერებებმა, თუ სწორად არის დანიშნული, არ უნდა გამოიწვიოს თანმდევი ეფექტები, რაც შესამჩნევად აფერხებს ს სამუშაოს შესრულებას.

— ძალზე იშვიათად მომზდარა ისე, რომ კრუნჩები ადამიანს დამართოდეს

სამუშაოს შესაფერისობა

სამუშაოზე მიღება და საქმის შერჩევა მუშაობისას დახმარება

მუშაობისას, ან ექიმის მიერ გამოწერილ ანტიეპილებტურულ წამლებს გაერჩეულებინოთ სამუშაოს შესრულება.

— ასეთ შემთხვევებში ეპილეპტოლოგ ექიმ-ექსპერტის ხარევა ხშირად აუმჯობესებს კრუნჩებების კონტროლს და ამცირებს თანმდევ მოვლენებს.

— ავადყოფობა, გაცდენა, ან უბედური შემთხვევები სამუშაოზე ეპილეფსიით დავადებულთა შორის არ არის იმაზე ხშირი, ვიდრე სხვა მუშაკებში.

— ეპილეფსიით დავადებული ისევა უზრუნველყოფილი უნდა იყონენ დაზღვევით, როგორც სხვები.

სამუშაოთა დიდი უმრავლესობა შესაფერისა ეპილეფსიით დავადებულთათვის. სამუშაოს სწორი შეიჩინევისათვის უნდა დავეკითხოთ მედიკოსს, ვაგრამ აძავე დროს უნდა გავითვალისწინოთ სამუშაოს მოთხოვნები და კრუნჩებებისა და ეპილეფსიის შესახებ ცნობილი კონტრეტული ფაქტები; არ უნდა მოვექცეოთ დაუსაბუთებელი ზოგადი აკრძალვების რევენბაში.

ისეთ სამუშაოზე, რომელიც ფაზიკური დაზიანების საფრთხეს უქმნის ერთ ან რამდენიმე მუშას, უნდა გადაისინჯოს მუშაობის ორგანიზაცია, რათა პოტენციური რისკი შემცირდეს დასაშეებ ღონებდე, ეპილეფსიით დავადებულთა სამუშაოზე შეზღუდული მიღება გამართლებულია მხოლოდ იმ შემთხვევაში, თუ უსაფრთხოების მიღწევა შეუძლებელია.

როდესაც ეპილეფსიით დავადებულ პირს გააჩინა სათანადო კვალიფირაცია და გამოცდილება, სამუშაოსათვის მისი გარეისიანობა აღიარებულ უნდა იქნას.

ରୁଦ୍ରସାଙ୍ଗ ସମ୍ପଦକ୍ଷେ ମନ୍ତ୍ରପଦିକ୍ଷା ମେଲୁକ୍କେ
ଲିଙ୍ଗରେ ଖାନ୍ଦରିତ୍ୟାଳାରେ ପାଠୀରେ, ଏହି ଉନ୍ନତ
ଶ୍ରେଣୀରେ ପାଠୀରେ ଅନ୍ତର୍ଭାବରେ ମନ୍ତ୍ରପଦିକ୍ଷା;
ଉନ୍ନତ ମନ୍ତ୍ରପଦିକ୍ଷା ପାଠୀରେ ପାଠୀରେ ଶ୍ରେଣୀରେ
ପାଠୀରେ ପାଠୀରେ ପାଠୀରେ ପାଠୀରେ ପାଠୀରେ ପାଠୀରେ

გასაუბრებისას ყურალება უნდა გა-
ვმახსოვროთ ეპილეფსით დაკადებული
პირის შესაძლებლობებზე და არა მის ნამ-
დვილ ან სავარაუდო უურარიბაზე.

ეპილეფსიით დაავადებულთათვის შე-
საფერისი საქმიანობის შერჩევა დამჭირა-

მუშაობისას დახმარება

როდესაც მუშაქს პირველად ემართება
გულყრა, დამჭერავებელი ასეს ნორმალუ-
რად უნდა შევდეს და ვიდრე მუშის ვარ-
გისიანობას განაჩენს გამოუტონდეს, უზ-
რუნველყოს იგი სათანადო სამედიცინო
დახმარებით.

თუ მისალოდნელია კრუნქნევების გა-
მოცლენა მუშაობის პროცესში, დამტკირ-
ვებელი უნდა დაეხმაროს ეპილეფსიით
დაავადებულ პირს, გაუმხილოს მისი
მდგომარეობა თანამშრომლებს.

იმ პირთ, რომლებიც კუნძნებების მოწმენი შეიძლება გახდონ, უნდა მიაწოდოთ ინფორმაცია პირველადი სამედიცინო

ვებელმა უნდა გადაწყვიტოს, პიროვნების ეპილეფსიიდან გამომდინარე პრობლემების გაუთვალისწინებლათ.

ხანდახან იმის გმისარკვევად, თუ რამდენად შესაფერისია პიროვნება ამა თუ იმ სამუშაოსათვის, საჭიროა სამეცნიერო დასკვნა. ამ შემთხვევაში იგი უნდა ემყარებოდეს სამუშაოს სპეციფიკის ცოდნასა და ინდივიდუს ავადმყოფობის დეტალებს.

ნო დახმარების შესახებ.

თუ საციროდ ჩამოლით არამე სპეციალურ შეზღუდვებს, ნათლად უნდა იქნას მითითებული, თუ როგორ აპრებთ ამ შეზღუდვების განხორციელებას, გადა-სინგრას ან გარეული დროით გამომებას.

თუ, მოუტედავად სათანადო სამედიცინო ყურადღებისა, მანიც საჭირო გახდება გვილეულისთვის დაავადებულის სხვა სამედიცინურების გადაყვანა, ღირეულ სტადიშეებზე უნდა უსრულეულყოთ იგი სარეაბილიტაციო სამსახურებით და მისცემ რჩევები მომვალი სამუშაოს შერჩევის თაობაზე.

Известия АН Грузии, серия биологическая
(на грузинском, русском и английском языках)

Корректор Д. Р. Арчадзе

Сдано в набор 15.07.91; Подписано в печать 25.10.91
Формат бумаги 70×108^{1/16}. Бумага № 1. Высокая печать
6,3 усл.-печ. л. 7,23 кр.-отт. 4,3 уч.-изд. л.
Тираж 1000 экз. Заказ 1724. Цена 1 руб.

გვამცემლობა „მეცნიერება“, თბილისი, 380060, კუტუშოვის ქ., 19
Издательство «Мецниереба», Тбилиси, 380060, ул. Кутузова, 19

საქართველოს მეცნიერებათა აკადემიის სტამბა, თბილისი, 380060, კუტუშოვის ქ. 19
Типография АН Грузии, Тбилиси, 380060, ул. Кутузова, 19

620/17

Цена 1 руб.

Индекс 76204
УДК 616.89
ББК 65.33

ISSN - 0321-1665 ИЭВ.АН Грузии, сер. биологическая, 1991, №5, 17, №5, 289-360